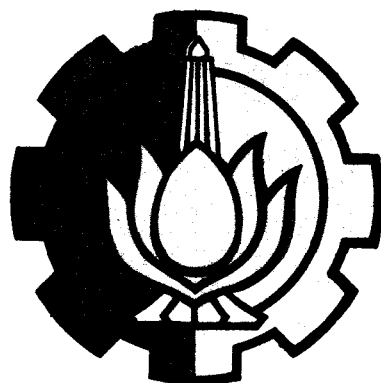


TUGAS AKHIR
TN 1701

5686/ITS/H/93 ✓

**ANALISA LAJU PENDINGINAN
PADA INTERCOOLER TURBOCHARGER**



PSKe
621.402 2
Pur
a-1
1993

Disusun oleh :

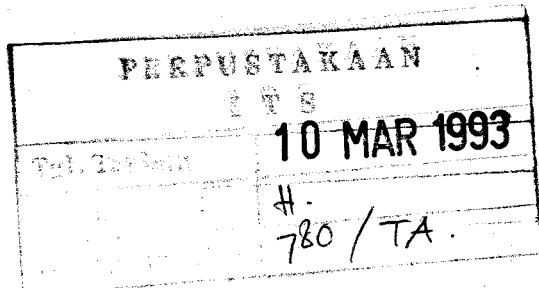
Hadyo Durnomo

4864200107

**JURUSAN TEKNIK PERMESINAN KAPAL
FAKULTAS TEKNOLOGI KELAUTAN
INSTITUT TEKNOLOGI SEPULUH NOPEMBER
SURABAYA
1993**

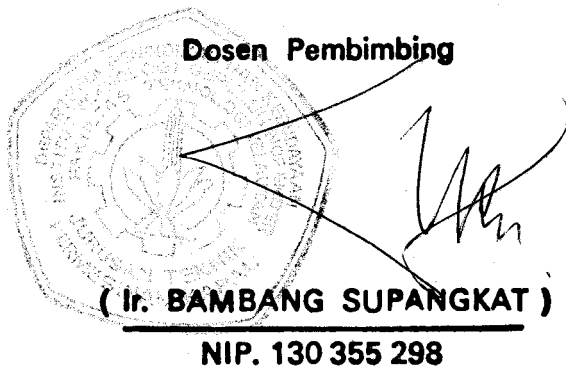
TUGAS AKHIR

TN 1701

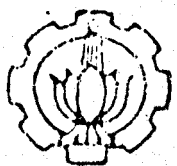


**ANALISA LAJU PENDINGINAN
PADA INTERCOOLER TURBOCHARGER**

Mengetahui / Menyetujui



**JURUSAN TEKNIK PERMESINAN KAPAL
FAKULTAS TEKNOLOGI KELAUTAN
INSTITUT TEKNOLOGI SEPULUH NOPEMBER
SURABAYA
1993**



DEPARTEMEN PENDIDIKAN DAN KEBUDAYAAN
INSTITUT TEKNOLOGI SEPULUH NOPEMBER
FAKULTAS TEKNOLOGI KELAUTAN

Kampus ITS Sekoldo Surabaya 031.700 597254 & 597274 Pos. 261-262 Telex. 34224

TUGAS AKHIR (TN 1701)

Nama : HARYO.. POERWONO..... NRP : 486.420.0107....
Telp. : SARJANA Tahun Kuliah : 1992./.1993....
Tgl. diberikan Tugas: 18-199..... Tgl. diselesaikan Tugas: 6-3-199....

Data-data untuk Tugas :

1. Type Kapal : KAPAL BARANG..... 2. Kecepatan : 14 knat.....
3. Radius Pelayaran : JAKARTA..... IRIAN BARAT
4. Data-data lainnya :

JENIS TUGAS :

A. Perencanaan Kamar Mesin/Sistem Perpipaan :

1. Tugas Wajib:
 1. Sistem pipa kapal (ship board systems)
 - 1.1. Sistem pipa ballast
 - 1.2. Sistem pipa bilge
 - 1.3. Sistem pipa sanitasi
 - 1.4. Sistem pipa kebakaran.
 2. Sistem pipa mesin (propulsion systems)
 - 2.1. Sistem pipa bahan bakar
 - 2.2. Sistem pipa pelumas
 - 2.3. Sistem pipa pendingin
 - 2.4. Sistem pipa udara tekanan tinggi.
 3. Perhitungan daya motor dan gambar tata letak kamar mesin (lay-out).
 - 3.1. Motor induk
 - 3.2. Motor bantuan
 - 3.3. Tata letak kamar mesin (lay-out).
11. Tugas Tambahan (pilih yang dibutuhkan)
 1. Sistem pipa khusus guna kebutuhan tertentu.
 - 1.1.
 2. Gambar Isometric untuk sistem pipa:
 - 2.1. SANITASI AIR LAUT

Karya Tulis (Skripsi) :

" ANALISA LAJU PENDINGINAN PADA INTERCOOLER MOTOR

DIESEL YANG MEMAKAI TURBOCHARGER "

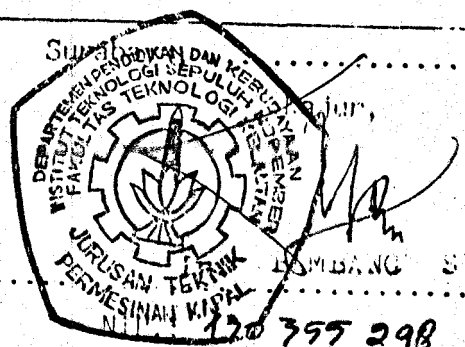
Dosen pembimbing:

F. RAMBAG S.

130 355 298

Mhsnwa,

HARYO PERWONO
NRP. 486 4200107



Karya ini terselesaikan
Atas doa restu dan dorongan
Ayah Bunda terkasih,
Atas bantuan material dan spiritual
al akh. Farid Lahdji, Oho, Budi Prasojo,
Atas harapan yang terkasih dan
keluarga di Ketapang 184
Semoga Allah senantiasa melimpahkan
rahman dan rahimNya atas kita sekalian, Amin
laa kharula walaa quwwata illa billah

ABSTRAKSI

Hasil Reaksi pembakaran bahan bakar tak seluruhnya menjadi kerja effektif motor diesel. Sekitar 40% berupa kerugian panas pada gas buang. Rekayasa teknologi berhasil menciptakan Turbocharge, sebagai upaya memanfaatkan gas buang dalam menaikkan effektivitas kerja motor diesel. Gas buang menggerakkan turbin yang mengkopel kompressor udara isap untuk pembakaran. Guna mengkondisikan udara isap agar berat per volumenya sesuai prasyarat pembakaran, maka pada sistem turbocharge diintegrasikan alat penukar kalor yang disebut intercooler. Unjuk kerja optimum dari intercooler ditentukan secara langsung atas geometris fisis dan karakteristik aliran fluidanya. Penulisan berikut bertujuan menganalisa laju pendinginan intercooler meliputi pemenuhan syarat pressure drop dan perpindahan kalornya atas perubahan velocity dan passing fluidanya.

KATA PENGANTAR

Tiada daya upaya, tak lain hanya karena kekuasaan dan pertolonganNya semata. Dengan segenap puji syukur kehadirat illahi, penguasa bumi dan alam semesta. Demikianlah pada akhirnya saya telah berhasil menyelesaikan Tugas Akhir berupa karya tulis berjudul *Analisa Laju Pendinginan pada Intercooler Turbocharge.*

Penulisan ini dimaksudkan guna memenuhi salah satu prasyarat penempuhan kesarjanaan dalam Jurusan Teknik Permesinan Kapal FTK - ITS.

Banyak hal yang telah membuka mata hati, menambah pengetahuan dan mampu memberi semangat baru selama penulis menyelesaikan penulisan Tugas Akhir ini.

Penulis menyadari kiranya pembahasan, penyusunan dan penulisan karya tulis ini ada kekurangannya sehingga menyulitkan sidang pembaca dalam memakainya. Untuk itu disampaikan permohonan maaf sedalam-dalamnya dan tak lupa koreksi, kritik yang membangun senantiasa penulis harapkan guna kesempurnaan karya tulis ini.

Segala daya dan jerih payah tak terlepas dari bantuan dan kerjasama semua pihak, maka selayaknya bila dengan segenap hati, saya mengucapkan terimakasih kepada :

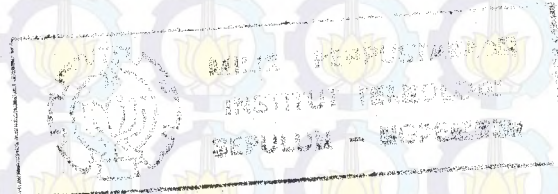
1. Ir. Bambang Supangat, selaku Dosen Pembimbing dan Ketua Jurusan Teknik Permesinan Kapal FTK - ITS.
2. Ir. S. Tondohartono, selaku Dosen Wali.
3. Ir. Andy Pratista, staf Litbang PT. PAL.
4. Yusuf R., Budi N.I., Mukhtasor, Miftakh, Aries, Pipin, santri Ribath Daruttauchid dan ikhwah di Manarul 'Ilmi.
5. Seluruh karyawan/karyawati PT. PAL Indonesia.
6. Seluruh karyawan/karyawati di lingkungan FTK - ITS.

Akhirul kalam, terimakasih atas kesediaan anda untuk meluangkan waktu membuka lembar-lembar karya tulis ini. Semoga Allah melimpahkan manfaatNya.

Surabaya, akhir Februari 1993

Penulis,

Hadyo Poernomo



DAFTAR ISI

BAB I	:	PENDAHULUAN	1
1.1		UMUM	1
1.2		TINJAUAN TENTANG INTERCOOLER	2
1.3		LATAR BELAKANG PERMASALAHAN	3
1.4		TUJUAN	4
1.5		BATASAN MASALAH	4
1.6		METODOLOGI	4
1.7		SISTIMATIKA PENULISAN	5
BAB II	:	TINJAUAN PUSTAKA	6
2.1		TIPE-TIPE DASAR PENUKAR KALOR	6
2.2		PROSES PERPINDAHAN KALOR	6
2.2.1		KONDUKSI	9
2.2.2		KONVEKSI	11
2.2.3		RADIASI	12
2.3		ALIRAN FLUIDA	12
2.3.1		ALIRAN DALAM TABUNG	13
2.3.2		ALIRAN SILANG MELINTAS SILINDER	13
2.3.3		KONFIGURASI LALUAN ALIRAN	15
2.4		HEAT BALANCE PADA PENUKAR KALOR	16
2.5		KOEFISIEN PERPINDAHAN KALOR MENYELURUH	17
2.5.1		KOEFISIEN FILM PADA SISI DALAM TABUNG	17
2.5.2		KOEFISIEN FILM PADA SISI LUAR TABUNG	18
2.6		BEDA SUHU RATA-RATA LOG (LMTD)	20
2.7		EFFEKTIFITAS PENUKAR KALOR	22

2.8	PENURUNAN TEKANAN	23
2.9	FAKTOR PENGOTORAN	25
BAB III	: ESTIMASI PERENCANAAN	26
3.1	PEMILIHAN TIPE PENUKAR KALOR	26
3.2	DATA PERENCANAAN	27
3.3	FLOWCHART PERHITUNGAN MATEMATIS	27
3.3.1	MENCARI LUASAN YANG DILALUI ALIRAN	28
3.3.2	MENGHITUNG DIAMETER EQUIVALEN	28
3.3.3	REYNOLD NUMBER DAN NUSSELT NUMBER	28
3.3.4	PERHITUNGAN KOEFISIEN KONVEKSI	30
3.3.5	PERHITUNGAN KOEFISIEN MENYELURUH	31
3.3.6	PENDEKATAN DALAM PENENTUAN PARAMETER TAK TERKETAHUI	31
3.4	MENENTUKAN HARGA PRESSURE DROP	32
BAB IV	: ANALISA HASIL ITERASI	33
4.1	KONDISI IDEAL PERENCANAAN	33
4.2	ANALISA HASIL ITERASI	33
BAB V	: DISKUSI DAN KESIMPULAN	35
5.1	DISKUSI	35
5.2	KESIMPULAN	37
BAB VI	: PENUTUP	39
6.1	SARAN	39
6.2	PENUTUP	39

BAB I

PENDAHULUAN

1.1. Umum

Hasil reaksi pembakaran bahan bakar dan udara pada motor Diesel tidaklah sepenuhnya menjadi kerja efektif motor. Sebagian merupakan kerugian-kerugian , yaitu kerugian mekanis, kerugian pendinginan dan kerugian pada gas buang , sebagaimana terlukis dalam ilustrasi dibawah ini mengenai " neraca kalor " sebuah motor diesel pada daya maksimumnya . . . neraca kalor , dalam %

- kerja efektif	30 - 45
- kerugian mekanis	11 - 4
- kerugian pendinginan	25 - 11
- kerugian gas buang	34 - 40

(Wiranto Arismunandar & Koichi Tsuda, Motor Diesel

Putaran Tinggi,1983)

Terlihat diatas , ternyata gas buang yang bertemperatur antara 300°C 600°C merupakan kerugian pembuangan yang cukup besar . Oleh karena itu berkat kemajuan teknologi , ada upaya-upaya para ahli untuk memperkecil kerugian tersebut sekaligus memanfaatkannya untuk menaikkan efektifitas motor diesel . Salah satu upaya untuk mengurangi kerugian buangan adalah dengan memasang turbo charge pada saluran buangan . Turbo charge terdiri atas dua komponen yaitu turbin dan kompresor (blower) yang terintegrasi sebagai kesatuan kerja . Dalam hal ini gas buang dimanfaatkan untuk memutar turbin gas yang sekaligus turbin akan menggerakkan kompresor.

Kompressor tersebut memompa udara luar masuk kedalam silinder sehingga menaikkan tekanan dan jumlah udara yang dimasukkan kedalam silinder . Dengan demikian , maka jumlah bahan bakar yang dimasukkan kedalam silinder dapat diperbanyak yang akhirnya daya mesin dapat diperbesar .

Dengan turbo charge tersebut , kira-kira 8 \times 10 % dari jumlah kalor pembakaran bahan bakar dapat diselamatkan .

(Wiranto Arismunandar&Koichi Tsuda,Motor Diesel Putaran Tinggi , 1989)

Konsekuensi logis atas penggunaan turbo charge yaitu akan menaikkan temperatur udara yang dihisap untuk pembakaran . Kenaikan temperatur udara akan menurunkan nilai berat per volume udara segar pada kondisi isap . Untuk mengatasi hal tersebut , maka pada motor-motor diesel yang memakai fasilitas turbo charge dilengkapi dengan alat pendingin udara (Heat Exchanger) yang disebut intercooler .

1.2. Tinjauan Tentang Intercooler

Intercooler adalah fasilitas penukar kalor (heat exchanger) . Alat penukar kalor ini tergolong dalam tipe penukar kalor recuperatif , yaitu memindahkan kalor dari fluida yang panas ke fluida yang lebih dingin secara langsung melalui dinding pemisah . Dinding pemisah merupakan media perantara untuk memindahkan kalor langsung secara konduksi . Dalam penukar kalor recuperatif ini tidak terjadi percampuran fluida , karena kedua fluida mengalir melalui ruangan terpisah . Beda halnya dengan tipe regeneratif , fluida yang bersuhu tinggi terlebih dahulu mengisi ruangan

penukar kalor dan selanjutnya disusul fluida yang lebih dingin , demikian seterusnya secara bergantian . Kemungkinan fluida akan bercampur dalam presentasi yang kecil akan terjadi . Secara fisik dinding-dinding penukar kalor akan menerima dan melepaskan panas secara bergantian .

Pemakaian penukar tipe ini , amatlah luas penggunaannya terutama di industri-industri kimia , power plant dengan generator sebagai sumber utamanya , dan lain-lain .

Intercooler digunakan sebagai media penukar kalor untuk fluida cair ke gas , gas ke gas . Khusus untuk penggunaannya di motor diesel yang menggunakan fasilitas turbo charge , intercooler dipasang guna mengkondisikan udara isap agar memenuhi persyaratan pembakaran .

1.3. Latar Belakang Permasalahan

Penggunaan turbo charge akan menaikkan temperatur udara isap sesaat setelah melewati kompresor , kondisi ini akan menurunkan nilai berat per volume udara segar yang terisap .

Untuk mencapai target pemenuhan syarat tentang kebutuhan udara segar untuk proses pembakaran , maka keberadaan intercooler menjadi amatlah penting atas setiap penggunaan turbo charge . Yang selanjutnya , seperti diketahui turbo charge mampu meningkatkan efisiensi pada motor diesel .

Melihat arti penting intercooler pada proses berikutnya yaitu pembakaran melalui pengkondisian udara isapnya , maka konsekuensinya adalah terhadap unjuk kerja dari intercooler tersebut . Hal mendasar yang berkait dengan unjuk kerja

intercooler adalah meliputi geometris fisik penukar kalor , sifat-sifat aliran fluidanya dan karakteristik perpindahan kalornya .

1.4. Tujuan

Penulisan karya ilmiah berikut ini adalah dimaksudkan untuk :

- mendapatkan karakteristik geometri dari intercooler
- menganalisa sifat-sifat aliran fluida (velocity , passing) dan kaitannya dengan perpindahan kalornya dan syarat pressure drop .

1.5. Batasan Masalah

1. Koefisien perpindahan panas menyeluruh adalah konstan sepanjang tube .
2. Flow rate kedua fluida konstan (steady state).
3. Selama proses perpindahan panas berlangsung , panas spesifik kedua fluida konstan .
4. Kehilangan panas dari sistem sekeliling diabaikan .
5. Temperatur fluida diluar tabung merupakan temperatur isothermal rata-rata pada penampang melintang .

1.6. Metodologi

Metodologi yang digunakan untuk penulisan ini meliputi :

- Studi pustaka , berupa pemahaman terhadap prinsip - prinsip dasar untuk perhitungan kalor dan penurunan tekanan .
- konfirmasi data lapangan guna mendapatkan kondisi batas yang memenuhi syarat .

1.7. Sistimatika Penulisan

Penulisan dalam tugas akhir ini dengan sistimatika sebagai berikut :

Bab I Pendahuluan

Mengulas latar belakang masalah , tujuan penulisan , batasan masalah , serta sistimatika dari penulisan .

Bab II Tinjauan Pustaka

Menguraikan berbagai teori-teori dasar yang menunjang pembahasan permasalahan .

Bab III Perhitungan Geometri Fisik Intercooler

Merupakan perhitungan manual untuk mendapatkan gambaran dasar .

Bab IV Komputasi Unjuk Kerja Intercooler

Suatu perencanaan untuk mendapatkan gambaran yang lebih luas terhadap permasalahan yang dibahas dalam jangkauan batasan perhitungan yang lebih lebar dengan metoda iterasi .

Bab V Kesimpulan

Menampilkan analisa baik dengan perhitungan manual sebagai acuan dasar maupun perhitungan komputasi untuk mencapai kondisi yang ideal . Menyajikan sejumlah kesimpulan yang dapat diperoleh dari semua alur kegiatan yang telah dilaksanakan .

Bab VI Penutup

Lampiran : memberikan data - data pendukung atau penunjang terhadap analisa - analisanya .

BAB II

TINJAUAN PUSTAKA

2.1. Tipe-tipe Dasar Penukar Kalor

Beberapa tipe alat penukar panas berdasarkan :

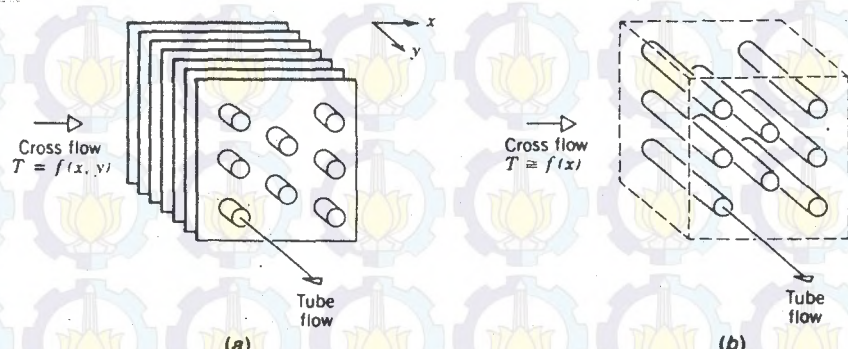
A. Arah aliran yang melewatkinya

- a. cross flow
- b. parallel flow
- c. counter flow

B. Konstruksi dari penukar panas :

- a. shell and tube
- b. concentric tube
- c. compack heat exchanger

Aliran fluida dikatakan cross flow jika bergerak ke arah aliran melintang atau dengan sudut tegak lurus satu sama lainnya melalui alat penukar panas tersebut . Aliran fluida cross flow dibedakan atas dua macam yaitu kedua fluida tidak bercampur (both fluid unmixed) dan salah satu dari kedua fluida bercampur (one fluid mixed , and other unmixed) .

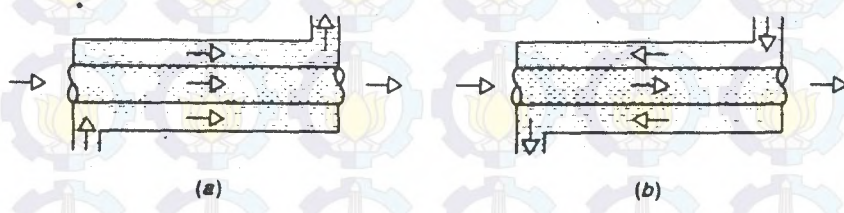


Gambar 2.1. Cross Flow Heat Exchanger

- a. Kedua fluida tak bercampur
- b. Salah satu fluida bercampur sedang lain tidak

Konfigurasi ini biasanya digunakan dalam pemakaian perpindahan kalor fluida cair ke gas atau sebaliknya . Gas dipaksakan mengalir diatas susunan pipa .

Jika aliran fluida panas dan dingin mengalir dalam arah yang sama maka dikatakan tipe alirannya parallel flow (aliran sejajar) , sedang bila kedua fluida mengalir pada arah yang berlawanan disebut counter flow (aliran lawan arah) .



Gambar 2.2.

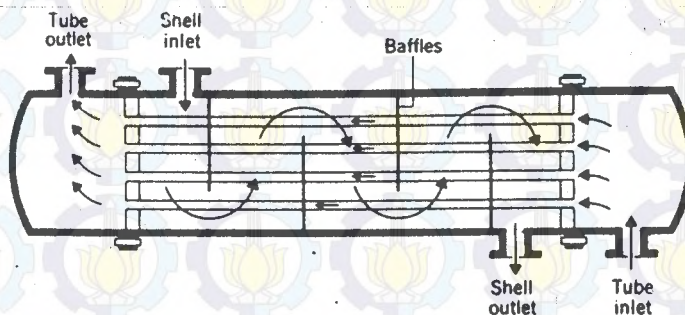
a. Paralel flow

b. Counter flow

Pada shell dan tube , konfigurasinya terdiri atas pipa-pipa bulat yang ditempatkan didalam silinder shell . Ada beberapa bentuk spesifikasi tergantung dari jumlah pipa atau jumlah shell yang dilalui . Cross bufle biasanya ditempatkan dalam alat penukar kalor tersebut untuk menimbulkan turbulensi pada fluida dalam shell , dan untuk mendapatkan komponen aliran melintang (cross flow) pada kecepatan aliran fluida yang relatif terhadap pipa-pipa .

Gabungan dari efek ini adalah menghasilkan koefisien perpindahan panas lebih tinggi untuk tube terluar . Perpindahan panas keseluruhan dapat juga dinaikkan dengan menggunakan laluan pipa (passing) dan shell yang berulang .

Tipe shell dan tube ini umum digunakan dalam proses - proses industri kimia untuk pertukaran kalor dari fluida - fluida cair ke gas , cair ke cair .



Gambar 2.3. Shell dan tube heat exchanger

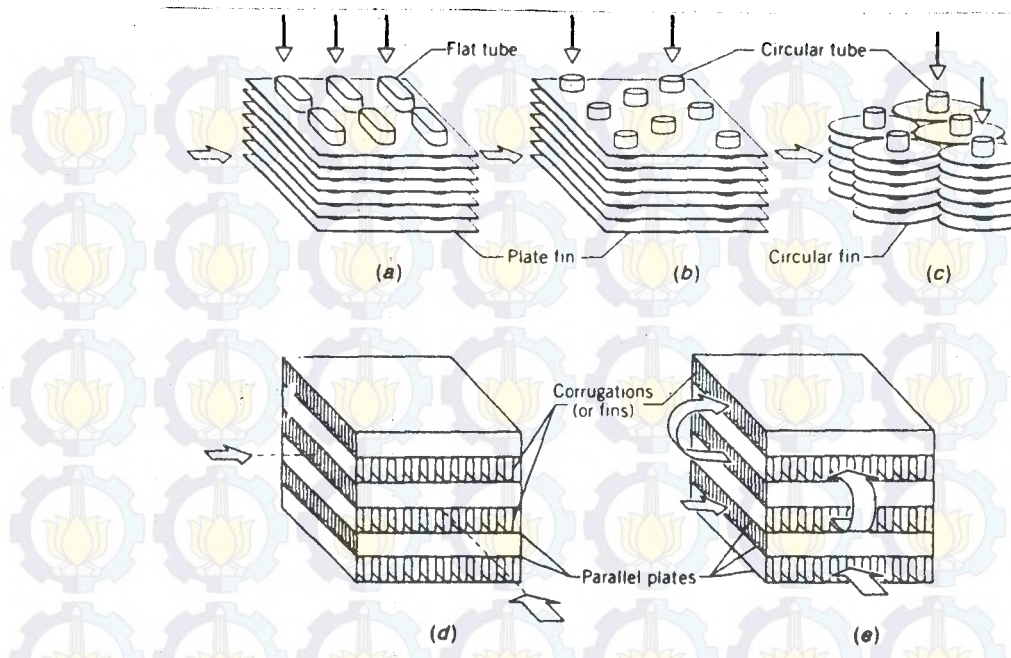
Keuntungan dari jenis ini adalah dihasilkannya koefisien perpindahan panas yang tinggi dan teknologi pembuatannya pun tidak menyulitkan . Akibat dari adanya beberapa laluan kemungkinan penurunan tekanan adalah besar sehingga memerlukan blower isap yang besar .

Tipe yang lain adalah, alat penukar kalor jenis compack . Kekhususan alat ini adalah memiliki luas perpindahan kalor yang besar persatuan volumenya . Macam alat penukar kalor jenis compack adalah :

- Finne tube
- Plat fin cores

Pemasangan finne atau sirip digunakan untuk sisi - sisi yang koefisien perpindahan panasnya kecil . Pemakaian tipe ini umumnya untuk pertukaran kalor antara fluida-fluida gas ke gas . Penukar kalor ini biasanya mempunyai luas permukaan lebih dari 650 m^2 per meter kubik volumenya . Ukuran lubang laluannya amat kecil ($D_h \leq 5 \text{ mm}$) dan aliran fluidanya adalah laminar .

(incopera, Frank P & Devitt, David P, Fundamentals of Heat and Mass Transfer, 1981).



Gambar 2.4.

Compack Heat Exchanger Cores

2.2. Proses Perpindahan Kalor

Pada prinsipnya perpindahan panas merupakan perpindahan energi yang diakibatkan oleh karena adanya beda temperatur diantara dua buah benda. Secara umum dikenal tiga macam bentuk perpindahan panas yaitu :

- Konduksi
- Konveksi
- Radiasi

2.2.1. Konduksi

Bila pada suatu benda terdapat gradien suhu, maka secara alamiah akan terjadi perpindahan energi dari bagian bersuhu tinggi ke bagian bersuhu rendah, maka dikatakan bahwa perpindahan energinya secara konduksi .

(Holman JP , Perpindahan Kalor , Penerbit Airlangga)

Tampilan matematis dari persamaan laju perpindahan kalornya ,

yaitu :

$$q = -k A \frac{\partial T}{\partial x} \quad \dots \dots \dots \text{C 2.1 C}$$

dimana :

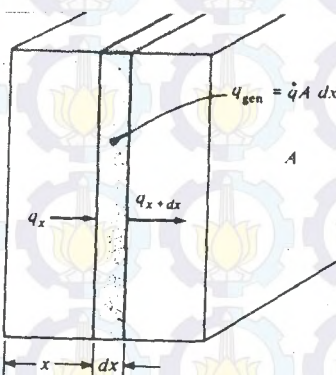
$$\begin{aligned} q &= \text{laju perpindahan kalor} (\text{W/m}^3) \\ \frac{\partial T}{\partial x} &= \text{gradien suhu ke arah perpindahan kalor} \end{aligned}$$

$$k = \text{konstanta hantaran termal} (\text{W/m}^\circ\text{C})$$

$-$ = tanda negatif sebagai konsekuensi hukum ke II Thermodinamika , bahwa kalor mengalir ke suhu yang rendah

$$A = \text{luas penampang} (\text{m}^2)$$

Ekspresi lainnya , perpindahan kalor konduksi satu dimensi sebagaimana berikut ini :



Gambar 2.5. Konduksi Kalor Satu Dimensi

Persamaan laju perpindahan kalornya :

$$q = U A (T_{dp} - T_{dd}) \quad \dots \dots \dots \text{C 2.2 C}$$

dimana :

$$U = \text{konduktan perpindahan kalor} (\text{W/m}^2 \circ\text{C})$$

$$= k/l , \text{ konstanta hantaran thermal per satuan panjang}$$

2.2.2. Konveksi

Perpindahan secara konveksi terjadi karena adanya aliran fluida relatif terhadap suatu benda . Apabila benda padat dapat ditempatkan pada suatu aliran fluida yang mempunyai beda temperatur lebih rendah maka energi akan dibawa atau dikonversikan oleh fluida . Besarnya perpindahan panas secara konveksi adalah :

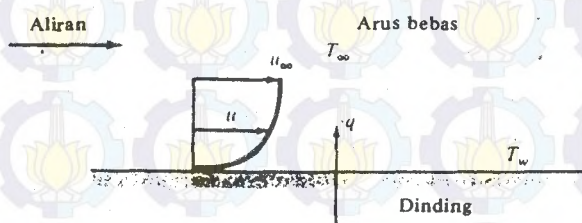
dimana :

h = konduktans film + koef. perpindahan kalor konveksi +

$T_w - T_\infty$ = beda suhu menyeluruh antara dinding dan fluida

A = luas permukaan dinding

Ekspresi fisis dari perpindahan kalor secara konveksi dapat diperhatikan dalam ilustrasi berikut :



Gambar 2.6.

Perpindahan kalor konveksi suatu plat

Pada proses perpindahan kalor secara konveksi , karakteristik aliran fluida akan mempengaruhi laju perpindahan kalornya . Untuk aliran - aliran fluida yang semakin turbulen akan memperlebar laju perpindahan kalornya .

2.2.3. Radiasi

Radiasi adalah suatu proses perpindahan kalor yang terjadi secara pancaran sinar panas atau radiasi elektromagnetik. Penyinaran ideal adalah pancaran energi benda hitam pada temperatur absolut T , dengan laju yang sebanding dengan pangkat empat dari temperatur absolut, dengan persamaan matematis :

$$q_{\text{pancaran}} = \sigma A T^4 \quad \dots \dots \dots \quad (2.4)$$

dimana :

$$\sigma = \text{konstanta Boltzmann} = 5.669 \cdot 10^{-8} \text{ W/m}^2 \text{ K}^4$$

Besarnya laju perpindahan kalor secara radiasi yaitu :

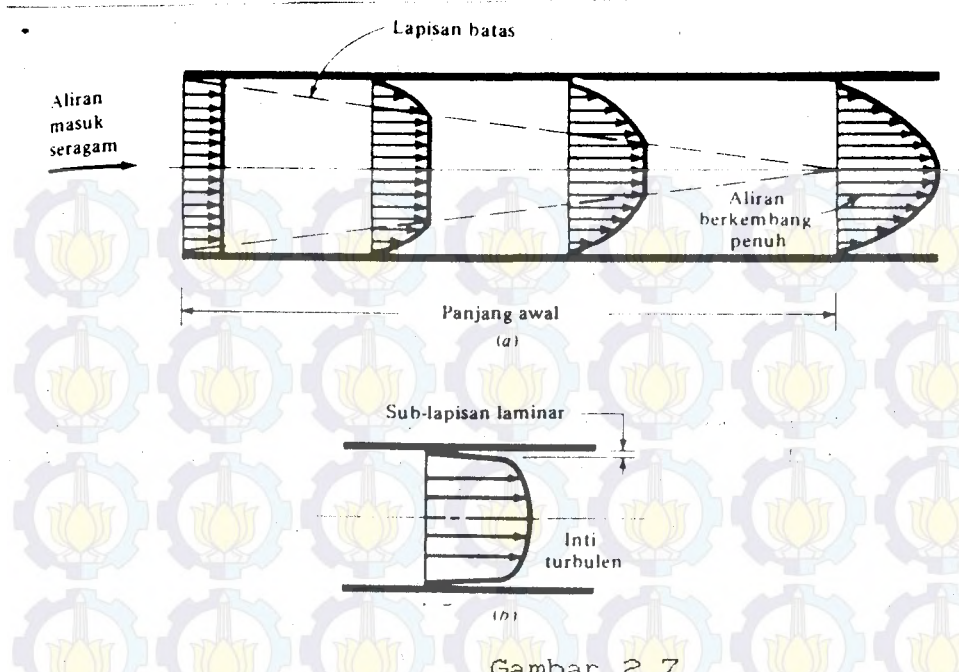
$$q = F_{1 \sim 2} A_1 (T_1^4 - T_2^4) \quad \dots \dots \dots \quad (2.5)$$

dimana :

$$F_{1 \sim 2} = \text{faktor bentuk permukaan antara benda 1 dan benda 2}$$

2.3. Aliran Fluida

Pengertian aliran fluida yang dimaksud adalah meliputi aliran fluida didalam tabung dan juga aliran fluida luar yang melintasi tabung. Hal mendasar yang menyangkut aliran fluida ialah kecepatan fluida itu sendiri. Perubahan kecepatan fluida akibat viskositas menampilkan dua tipe aliran yaitu laminar dan turbulen. Berikut ini merupakan tampilan profil kecepatan pada aliran didalam tabung.



13

Profil kecepatan untuk aliran laminar dan aliran turbulen

Akibat pengaruh viskositas dari fluida maka akan terbentuk daerah aliran ditepi yang lazim disebut lapisan batas (Boundary layer). Apabila lapisan batas ini memenuhi seluruh tabung, maka dikatakan aliran telah berkembang penuh. Profil kecepatan yang berbentuk parabola menunjukkan sifat aliran yang laminer. Bila lebih tumpul profilnya menunjukkan sifat yang turbulen. Secara matematis untuk menunjukkan tipe alirannya digunakan formulasi angka Reynolds

Pada kondisi diatas aliran dikatakan laminer dengan jangkauan transisinya sebesar $2000 < R < 4000$.

(Holman JP , Perpindahan Kalor , 1988 , Penerbit Airlangga)

2.3.1. Aliran Dalam Tabung

Sebagaimana telah diungkapkan sebelumnya , perpindahan kalor secara konveksi didalam tabung (pers . 2.3) dimana T_w

2.3.1. Aliran Dalam Tabung

Sebagaimana telah diungkapkan sebelumnya , perpindahan kalor secara konveksi didalam tabung (pers . 2.3) dimana T_w adalah suhu dinding dan T_∞ adalah suhu limbah (fluida) , maka setelah mengambil suhu dari fluida yang energinya dirata-ratakan terhadap seluruh penampang tabung dapat diekspresikan profil suhu yang terbentuk dengan angka Nusselt :

Kaitannya dengan angka Reynold dan Prantdal, pada aliran turbulen berkembang penuh :

$$Nud = 0,023 \cdot Red^{0,8} \cdot Pr^n$$

Persamaan diatas sifat-sifat ditentukan atas suhu limbah, nilai eksponennya :

$n = 0,4$ untuk pemanasan

$n = 0,3$ untuk pendinginan

dengan angka Prandtl-nya antara 0.6 - 100

2.3.2. Aliran Silang Melintas Silinder

Saat suatu aliran bergerak sepanjang bagian depan silinder, maka dibagian belakang akan terjadi perubahan tekanan yang hal ini akan menyebabkan bertambahnya kecepatan aliran dibagian depan silinder dan berkurang dibagian belakang. Kondisi ini mengakibatkan terpisahnya aliran, dimana akan terjadi turbulensi di bagian belakang silinder. Knudsen dan Katz telah menemukan formulasi untuk kondisi seperti diatas guna menggambarkan secara matematis koefisien

kalor rata-ratanya :

$$\frac{hd}{kf} = C \left(\frac{Un \cdot d}{rf} \right) Pr^{1/2} \quad (2.8)$$

dimana :

Un = kecepatan fluida

rf = viscositas kinematis kaudisi limbak

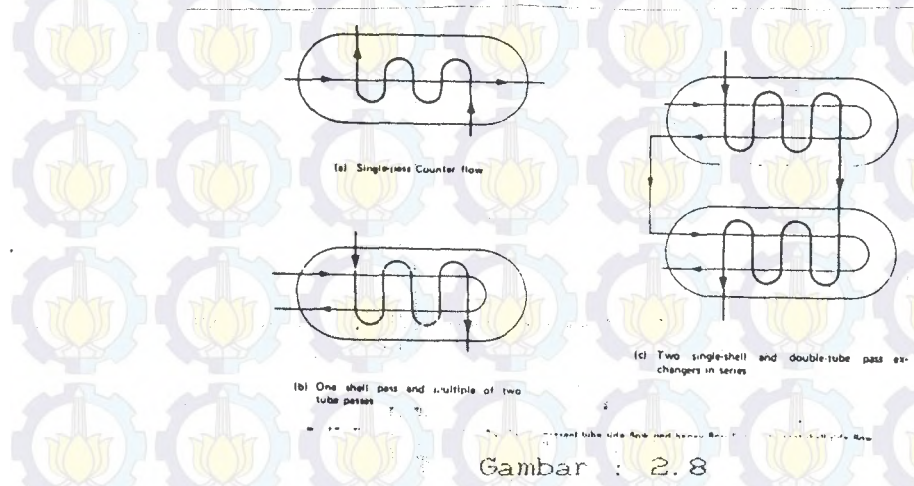
C dan n = konstanta yang dapat diperoleh dari tabel ini

Tabel 2.1 Konstanta untuk formulasi

Re_{dL}	C	n
0,4-4	0,989	0,330
4-40	0,911	0,385
40-4000	0,683	0,466
4000-40.000	0,193	0,618
40.000-400.000	0,0266	0,807

2.3.3. Konfigurasi Laluan Aliran

Karena harus dipenuhinya prasyarat dimensi alat penukar kalor menyangkut berat, biaya pembuatan dan volume ruang yang yang harus ditempatinya mengakibatkan orientasi perencanaan terbatas luasan permukaan pertukaran kalor. Untuk tetap mencapai laju perpindahan panas yang tinggi maka ditempuh upaya membuat konfigurasi laluan aliran (flow passing). Berbagai konfigurasi flow passing dapat dilihat berikut ini,

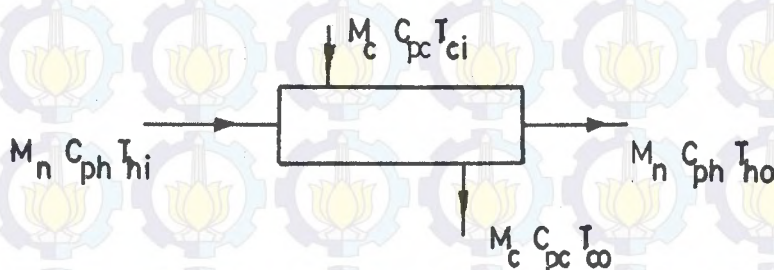


Gambar : 2.8

Konfigurasi Flow Passing

2.4. Heat Balance pada Penukar Kalor

Terjadinya proses pemanasan dan pendinginan fluida didalam heat exchanger diakibatkan adanya perpindahan energi panas dari satu fluida ke fluida lainnya, dimana panas yang diserap sama dengan panas yang dilepaskan.



Gambar : 2.9

Balance Energi pada Heat Exchanger

Ilustrasi persamaan matematis untuk heat balance pada heat exchanger, yaitu :

$$Q_h = Q_c \\ M_h * C_{ph} * (T_{hi} - T_{lo}) = M_c * C_{pc} * (T_{co} - T_{ci}) \quad (2.9)$$

dimana :

Q_h = laju aliran panas dari fluida panas (Kcal /jam)

Q_c = laju aliran panas dari fluida dingin (Kcal /jam)

M_h = laju aliran massa fluida panas (kg/jam)

M_c = laju aliran massa fluida dingin (kg/jam)

T_{hi} = temperatur masuk fluida panas ($^{\circ}\text{C}$)

T_{lo} = temperatur keluar fluida panas ($^{\circ}\text{C}$)

T_{ci} = temperatur masuk fluida dingin ($^{\circ}\text{C}$)

T_{co} = temperatur keluar fluida dingin ($^{\circ}\text{C}$)

C_{ph} = panas spesifik fluida panas (Kcal /kg $^{\circ}\text{C}$)

C_{pc} = panas spesifik fluida dingin (Kcal /kg $^{\circ}\text{C}$)

2.5. Koefisien Perpindahan Kalor Menyeluruh

Laju aliran massa fluida dan luas permukaan perpindahan kalor akan mempengaruhi koefisien perpindahan kalor secara keseluruhan pada kedua fluida. Untuk luas permukaan perpindahan kalor yang diketahui maka besarnya koefisien perpindahan kalor menyeluruh dapat diperoleh dari :

$$U = (Q/A) * dT \quad (2.10)$$

dimana :

Q = laju aliran panas (Kcal / jam)

A = luas permukaan perpindahan panas (m^2)

dT = beda temperatur sebenarnya ($^{\circ}\text{C}$)

Bila luas permukaan perpindahan panas tidak diketahui maka untuk mencari harga koefisien perpan menyeluruh (U) dapat dicari dengan persamaan :

$$U = \frac{(h_{io} * h_o)}{(h_{io} + h_o)} \quad (2.11)$$

dimana :

h_{io} = koefisien film pada sisi tabung yang berhubungan langsung dengan luas permukaan luar (Kcal / jam. $m^{\circ}\text{C}$)

h_o = koefisien film pada sisi luar tabung (Kcal / jam. $m^{\circ}\text{C}$)

2.5.1. Koefisien Film pada Sisi Dalam Tabung

Untuk aliran laminer :

$$h_i = 1.86 \frac{k}{D_t} \left[\frac{2 \cdot D_t \cdot G}{L} \cdot \frac{C_p \cdot \mu}{k} \cdot \frac{D_t}{L} \right]^{0.33} \left[\frac{\mu}{\mu_m} \right]^{0.14}$$

Untuk aliran turbulen :

$$h_i = 0.027 \frac{k}{D_i} \left[\frac{D_i G}{\mu} \right]^{0.8} \left[\frac{C_p \mu}{k} \right] \left[\frac{D_i}{L} \right]^{0.33} \left[\frac{\mu}{\mu_m} \right]^{0.14} \quad \dots \dots \dots (2.13)$$

dimana :

C_p = panas spesifik fluida pada temperatur rata-rata
(Kkal/kg. $^{\circ}\text{C}$)

D_i = diameter dalam tabung (m)

G = laju aliran massa tiap satuan luas (Kkal/jam m^2)

k = konduktifitas thermal fluida pada temperatur rata-rata (Kkal/kg $\text{m} ^{\circ}\text{C}$)

L = panjang tabung (m)

μ = viskositas dinamik pada temperatur rata - rata
(kg/m jam)

μ_m = viskositas dinamik pada temperatur dinding tabung
(kg/m jam).

Untuk hubungan koefisien sisi dalam tabung terhadap permukaan luar sebagai berikut :

$$h_{ix} = h_{ix} (D_i / D_o) \dots \dots \dots (2.14)$$

dimana :

D_o = diameter luar tabung (m)

2.5.2. Koefisien Film Pada Sisi Luar Tabung

Koefisien film sisi luar tabung ditentukan dengan persamaan berikut :

$$h_o = 0.36 (k / D_o)^{0.5} (D_o G_s / \mu)^{0.55} (C_p \mu / k)^{0.33} \quad \dots \dots \dots (2.15)$$

dimana :

C_p = panas spesifik fluida diluar tabung (kkal/kg°C)

D_e = diameter ekivalen (m)

G_s = laju aliran massa tiap satuan luas (kkal/jam m²)

k = konduktifitas thermal fluida pada luar tabung

(kkal/kg m °C)

$$D_e = \frac{4 (P_t^2 - \pi D_o^2 / 4)}{\pi D_o} \quad \dots \dots \dots \quad (2.16)$$

- Untuk tabung-tabung yang tersusun dalam satu garis (square pitch)

$$D_e = \frac{4 (0.43 P_t^2 - 0.5 D_o^2 / 4)}{\pi 0.5 D_o} \quad \dots \dots \dots \quad (2.17)$$

- Untuk tabung-tabung yang tersusun segitiga (triangular pitch)

Besar laju aliran massa dalam selongsong

$$G_s = W/a_s \quad \dots \dots \dots \quad (2.18)$$

$$a_s = \frac{ID C' B}{P_t} \times 1/n \quad \dots \dots \dots \quad (2.19)$$

dimana :

a_s = luas permukaan silang (cross flow) area dalam selongsong (m²)

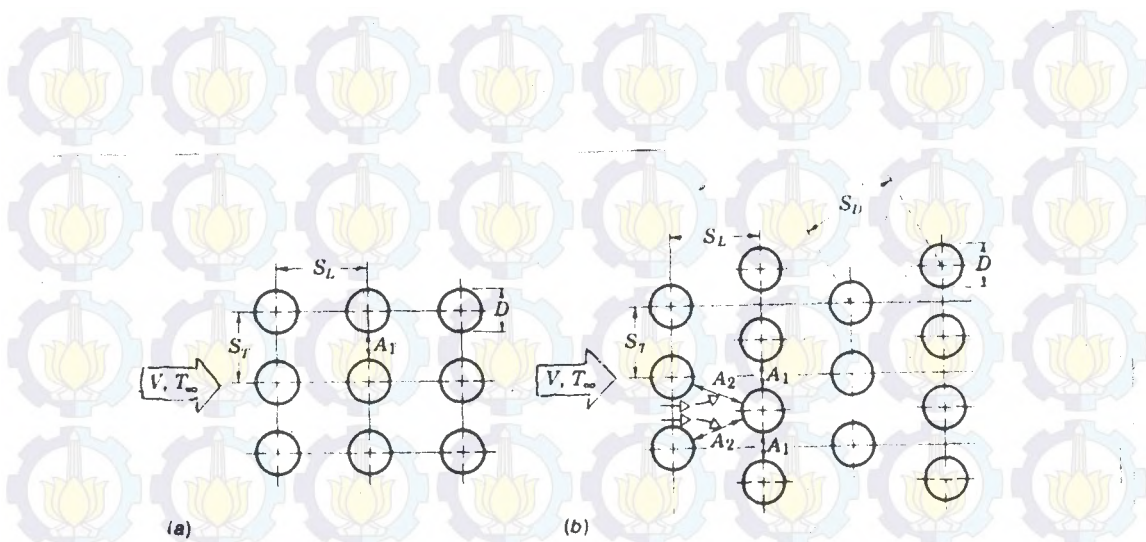
ID = diameter shell (m)

C' = jarak antar dua tabung dari sisi luarnya (m)

P_t = tube pitch (jarak dua tabung dari pusatnya)

B = jarak baffles (m)

n = jumlah passes



Gambar 2.10. Untian/susunan tabung-tabung

a. square pitch

b. triangular pitch

Besarnya temperatur dinding untuk daerah yang dilalui fluida panas yaitu :

$$T_w = t_c + \frac{h_{io}}{h_{io} + h_o} (T_c - t_c) \dots \dots \dots (2.20)$$

- untuk fluida panas yang mengalir dalam tabung

$$T_w = t_c + \frac{h_o}{h_{io} + h_o} (T_c - t_c) \dots \dots \dots (2.21)$$

dimana :

T_w = temperatur dinding tabung ($^{\circ}\text{C}$)

t_c = temperatur calorific fluida panas ($^{\circ}\text{C}$)

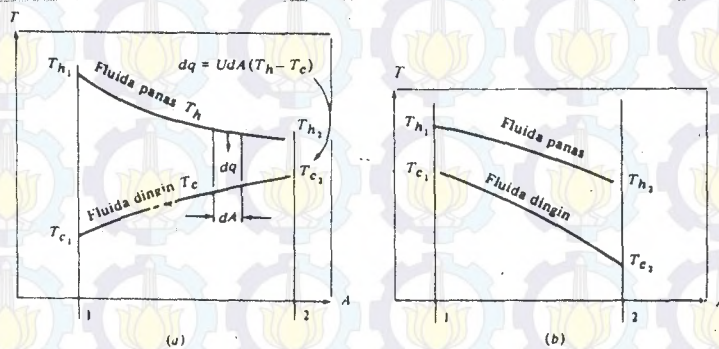
t_w = temperatur calorific fluida dingin ($^{\circ}\text{C}$)

2.6. Beda Suhu Rata-rata Log (LMTD)

LMTD adalah beda suhu pada satu ujung penukar kalor dikurangi beda suhu pada ujung yang lainnya dibagi dengan

logaritma ilmiah daripada perbandingan kedua beda suhu tersebut dan persamaannya :

$$\Delta T_m = \frac{(T_{h2} - T_{c2}) - (T_{h1} - T_{c1})}{\ln (T_{h2} - T_{c2}) / (T_{h1} - T_{c1})} \quad \dots \dots (2.22)$$



Gambar 2.11.

Profil suhu untuk aliran sejaajar dan aliran berlawanan arah dalam penukar kalor concentrik

Penggambaran perpindahan kalor totalnya dengan beda suhu rata-ratanya antara fluida panas dan dingin adalah :

dimana :

U = koef. perpindahan kalor menyeluruh

A = luas permukaan

ΔT_m = beda suhu rata-rata

Persamaan untuk alat penukar kalor tipe yang lain adalah :

$$q = U A F \Delta T_m$$

dimana :

F = faktor koreksi untuk beda suhu rata-rata , yang harganya dapat diperoleh dari Grafik Faktor Koreksi pada lembar lampiran

2.7. Efektifitas Penukar Kalor

Apabila ternyata suhu masuk atau suhu keluar yang harus dicari maka pemakaian formulasi LMTD akan menyulitkan karena harus menempuh iterasi . Untuk kasus yang demikian digunakan metode efektifitas penukar kalor yang secara umum digambarkan :

$$\epsilon = \frac{\Delta T \text{ (fluida min)}}{\text{Beda suhu max dalam penukar kalor}} \dots \dots \dots (2.24)$$

Efektifitas untuk penukar kalor aliran sejajar , dengan fluida panas merupakan fluida minimum , maka formulasinya :

$$\epsilon = \frac{1 - \exp (-UA/C_{min}) (1 + C_{min}/C_{max})}{1 + C_{min}/C_{max}} \dots \dots \dots (2.25)$$

dimana :

C_{max} = nilai C untuk laju kapasitas

C_{min} = nilai C untuk fluida panas

Untuk penukar kalor aliran berlawan arah , efektifitas digambarkan dengan formulasi berikut :

$$\epsilon = \frac{1 - \exp (-UA/C_{min}) (1 - C_{min}/C_{max})}{1 - (C_{min}/C_{max}) \exp [(-UA/C_{min})(1 - C_{min}/C_{max})]} \dots \dots \dots (2.26)$$

dimana :

UA/C_{min} = disebut sebagai NTU , jumlah satuan perpindahan

Tipe - tipe aliran yang lain , efektifitas penukar kalornya dapat dilihat pada gambar lampiran .



2.8. Penurunan Tekanan (Pressure Drop)

Model aliran fluida , baik yang didalam tabung atau diluarinya , akan mengalami penurunan tekanan akibat adanya flow passing , baffle , tipe aliran dan daerah turn arround . Penurunan tekanan pada masing-masing fluida dikelompokkan atas dua macam , yaitu penurunan tekanan pada aliran didalam tabung dan penurunan tekanan pada aliran diluarinya .

A. Penurunan tekanan pada aliran didalam tabung (tube)
dibagi atas empat bagian yaitu :

- ΔP_{n_in} , penurunan tekanan dibagian inlet dan outlet

$$\Delta P_{n_in} = [K_a + (S_n/S_o)^2 - 1] \frac{P}{2} - \frac{V_n^2}{g_c} \dots \dots \dots (2.27)$$

dimana $K_a = (1 - S_n/S_o)^2$, S_n dan S_o luasan pada daerah nozel dan dibawahnya .

$$\Delta P_{n_out} = [1 - (S_n/S_u)^2 + \lambda K_c] \frac{P}{2} - \frac{V_n^2}{g_c} \dots \dots \dots (2.28)$$

dimana S_u = luasan sebelum nozel

λ , K_c didapat dari lampiran

- ΔP_d , penurunan tekanan akibat keadaan masuk dan keluar

$$\Delta P_d = (k_1 + k_2) P/2 - \frac{V^2}{g_c} \dots \dots \dots (2.29)$$

dimana :

k_1 , k_2 = koef. yang tergantung geometri aliran

P = kerapatan fluida rata-rata dalam aliran

V = kecepatan fluida rata-rata

- ΔP_u , penurunan tekanan dalam pipa

$$\Delta P_u = f \frac{L}{D} \frac{P}{2} - \frac{V^2}{g_c} \dots \dots \dots (2.30)$$

dimana :

f = faktor gesekan

V = kecepatan fluida rata-rata

L = panjang pipa

D = diameter pipa

- ΔP_r , penurunan tekanan didaerah turn arround .

$$\Delta P_r = (k_1 + k_2) \frac{P}{2} \frac{V^2}{g_c} \dots \dots \dots (2.31)$$

dimana : V = kecepatan fluida didaerah turn arround

Sehingga total penurunan tekanan pada aliran didalam tabung

adalah : $\Delta P_t = \Delta P_n + \Delta P_d + \Delta P_u + \Delta P_r$

B. Penurunan tekanan didaerah aliran silang ,

- ΔP_c , penurunan tekanan didaerah aliran silang,

$$\Delta P_c = \Delta P_{bi} (N_b - 1) (R_b) (R_l) \dots \dots \dots (2.32)$$

- ΔP_w , penurunan tekanan didaerah bukaan baffle , untuk aliran turbulen $Re_l > 100$.

$$\Delta P_w = N_b [(2 + 0.6 N_{tw}) (m_w)^{3/2} \rho^{10^{-3}} R_l] \dots \dots \dots (2.33)$$

$$\text{dimana } m_w = \frac{M_s}{(S_m S_w)^{1/2}} 10^6 \text{ kg/m}^2 \text{ s}$$

Untuk aliran laminer , $Re \leq 100$

$$\Delta P_w = N_b \left[26 \frac{(m_w) \mu_s}{\rho_s} \left[\frac{N_{tw}}{L_{tp} - D_t} + \frac{L_{bc}}{(D_w)^2} \right] + \left[2 \frac{m_w}{2 \rho_s} \right] \right] \times R_l 10^{-3} \dots \dots \dots (2.34)$$

- ΔP_e , penurunan didaerah inlet dan outlet

$$\Delta P_e = \Delta P_{bi} (1 + N_{tw}/N_{tc}) R_b R_s \dots \dots \dots (2.35)$$

Sehingga total penurunan tekanan aliran diluar tabung ,

$$\Delta P_h = \Delta P_c + \Delta P_w + \Delta P_e$$

2.9. Faktor Pengotoran

Kemampuan heat exchanger , pada selang waktu tertentu akan mengalami penurunan . Hal ini diakibatkan adanya lapisan endapan , korosi dan lain-lain . Pengaruh menyeluruh dari hal tersebut dikenal sebagai Fouling factor , yang ditunjukkan dengan :

$$R_d = \frac{U_c \times U_d}{U_c + U_d} \quad \dots \dots \dots \quad (2.36)$$

Beberapa nilai R_d dapat dilihat pada daftar berikut :

Tabel 2.2

Daftar Faktor pengotoran

Fluid	R_d
Seawater and distilled water	0.0005–0.001
Engine oil	0.001
Alcohol vapors	0.0005
Steam (oil free)	0.0005
Refrigerant vapors	0.002
Refrigerant liquids	0.001
Air	0.002
Diesel engine exhaust	0.01
Organic vapors	0.0005

BAB III

ESTIMASI PERENCANAAN

3.1. Pemilihan Penukar Kalor

Dalam perencanaan ini dipilih penukar kalor tipe shell and tube. Fluida dingin mengalir di dalam tube sedangkan fluida panas mengalir pada shell. Selanjutnya ditentukan geometri shell and tubenya, yaitu : (dari tabel a).

Tube Dimensi :

Jenis BWG - 10

Diameter dalam (IDt) = 0,48"

Diameter luar (ODt) = 0,75"

Panjang pipa (L) = 2,78 ft

Dipilih konfigurasi tube dalam shell untuk penukar ini adalah : "Triangular pitch", dengan

Shell Dimensi :

(dari tabel b)

Diameter dalam shell (Ds) = 29"

Baffle spacing (B) = 5"

Tube pitch (St) = 0,9375"

Jarak antara tube (C') = 0,125"

3.2 Data Untuk Perancangan

Asumsi

- Koefisien perpindahan panas menyeluruh adalah konstan sepanjang tube.
- Flowrate kedua fluida konstan selama proses berlangsung.
- Panas spesifik kedua fluida konstan selama proses berlangsung.
- Kehilangan panas dari sistem ke sekeliling diabaikan.

Data fluida

- fluida panas : udara dengan T masuk (T_{in}) = 80°C
 T keluar (T_{out}) = 32°C , mass flow (\dot{m}_h) = $6,4 \text{ kg/s}$.
- Fluida dingin: Air, dengan T masuk (T_{in}) = 30°C
- Data-data yang diestimasikan dengan iterasi, adalah mass flow air, (\dot{m}_c); suhu keluar air (T_{out}).

3.3 Flow Chart Perhitungan Matematis Untuk Heat exchangers Tipe Shell And Tube, Dan Contoh Prosedur Pemasukan Data.

Perfomansi hitungan untuk tube and shell, maka guna untuk memindahkan penulisan, untuk pembahasan selanjutnya tubscrits; t = tube, S = shell.

3.3.1 Mencari Luasan Yang Dilalui Aliran

a. Di dalam tube (At)

$$At = \frac{\pi}{4} \cdot (IDt)^2 \cdot N_p$$

$$At = 1.5 \cdot 10^{-3} \text{ m}^2$$

b. Didalam shell (As)

$$As = D_s \cdot C \cdot B / St$$

$$As = 0,497 \text{ m}^2$$

3.3.2 Menghitung Diameter Equivalent (De), Untuk "Squarepitch".

$$De = 4 [St - \frac{\pi(ODt)}{4}] \cdot 1/\pi(ODt)$$

$$De = 0,0239 \text{ m}$$

3.3.3 Menentukan Reunolds Number Dan Nu Numbers

Sebelumnya, ditentukan terlebih dahulu properties untuk masing-masing fluida, yaitu :

a. Air pada 303° K

$$C_p = 4,176 \cdot 10^3 \text{ J/Kg.K}$$

$$\rho = 995,3 \text{ kg/m}^3$$

$$\mu = 8,03 \cdot 10^{-4} \text{ Kg/m.s}$$

$$K_s = 0,619 \text{ W/m.}^\circ\text{C}$$

$$Pr_e = 5,41$$

$$\Omega_s = 0,832 \cdot 10^{-6} \text{ m}^2/\text{s}$$

Sehingga penentuan bilangan reinold bagi aliran dalam tube adalah :

$$Re_t = \frac{mt \cdot IDt}{\rho t \cdot At \cdot vt} = \frac{\Omega_t \cdot IDt}{vt}$$

Diasumsikan, U_t kecepatan air = 0,3 m/s

$Ret = 4399$, Turbulen !

Sedangkan untuk sisi shell
 $ms \cdot Dee \quad Vs \cdot De$
 $Res = \frac{\rho_s \cdot As \cdot vs}{\mu_s} = \frac{---}{---}$

Dengan terlebih dahulu menentukan properties udara pada suhu, $T = 329^\circ K$, yaitu :

$$\rho = 1,0733 \text{ kg/m}^3$$

$$Cp = 1,00762 \cdot 10^3 \text{ J/kg} \cdot {}^\circ\text{C}$$

$$\mu = 1,978 \cdot 10^{-5} \text{ kg/m.s}$$

$$k = 0,0284 \text{ W/m} \cdot {}^\circ\text{C}$$

$$Pr = 0,701$$

$$U = 18,63 \cdot 10^{-6} \text{ m}^2/\text{s}$$

$$\text{maka } Res = 10186,2$$

Angka Nusselt

- Tube side :

Laminar flow, $Ret < 2200$

$$Nu_t = \frac{hi \cdot IDt}{kt} = 1,86 \left[\frac{IDt \cdot Ret \cdot Pr}{L} \right]^{0,6}$$

Syarat, $0,48 < Pr = U/\alpha < 16700$

μ adalah ditentukan pada perubahan temperatur yang moderat.

- Turbulent flow, $Ret > 10000$

$$- Nut = \frac{hi \cdot IDt}{kt} = 0,023 Ret^{0,8} Pr^n$$

Bila proses pemanasan , $n = 0,4$; dan proses pendinginan $n = 0,3$. Syarat $0,7 < Pr = \bar{U}/\alpha < 160$; $L/D > 60$

- Shell side :

$$Nus = \frac{ho \cdot De}{ks} = 0,36 Res^{0,55} Pr^{0,33}$$

Syarat, $2 \cdot 10^3 < Res = Vs Ds/\bar{U}s < 1 \cdot 10^6$; $Pr = \bar{U}/\alpha > 0$

Dari harga-harga Raynolds Number pada pembahasan diatas, diperoleh $Nut = 0,3176$; $Nus = 10186,2$

3.3.4. Perhitungan Koefisien Konfeksi

$$hi = \frac{Nut \cdot kt}{IDt}$$

$$hi = 16,084$$

$$hio = \frac{hi \cdot IDt}{ODt}$$

$$hio = 10,273$$

$$ho = \frac{Nus \cdot ks}{De} = 12103,87$$

3.3.5. Perhitungan Koefisien Menyeluruh Penukar Kalor

$$1/U_o = 1/h_{oi} + 1/h_o$$

$$1/U_o = 0,0974$$

3.3.6. Pendekatan Dalam Penentuan Parameter Tak terketahui Dalam Perencanaan Intrcooler

Tak jarang dalam usaha mengetahui perpindahan kalor dari suatu penukar kalor beberapa faktor tak terketahui, misal, suhu keluar fluida dingin/ panas , mass flow dan lain-lain. berikut ini akan ditampilkan metoda iterasi untuk mengetahuinya, seperti berikut ini .

- Menentukan outlet temperatur (C) = fluida dingin, (h) = fluida panas, maka dengan menggunakan grafik

$$s=t_2 - t_1/T_1 - t_1 \text{ dan hitung } U_o \cdot A_o / m_c \cdot C_p c$$

$$\text{dimana } A_o = N_t \pi (ODt) L ; R = \dot{m} C_p c / m_h C_p h$$

$$\text{sehingga } t_2 = S [T_1 - t_1] + t_1$$

$$T_2 = T_1 - R [t_2 - t_1]$$

- Menentukan head balance

$$LMTD = \frac{[T_1 - t_2] - [T_2 - t_1]}{\ln [(T_1 - t_2)/(T_2 - t_1)]}$$

maka tentukan faktor Ft, dari grafik figur....

$$\text{sehingga } Q = \dot{m} C_p h [T_1 - T_2] = U_o \cdot A_o \cdot Ft \cdot LMTD$$

- Luasan pada perpindahan panas

$$1/U = 1/U_o + R_{di} + R_{do}$$

$$\text{sehingga } A_o = Q / U \cdot Ft \cdot LMTD$$

$$L = A_o / [N_t \pi \cdot (ODt)]$$

3.4. Penentuan Pressure Drop

3.4.1. Faktor gesek

Ret , ϵ/IDt , or smooth-wall tubing

Res , sehingga didapat $f_s = \exp [0,576 - 0,19 \ln Res]$

3.5 Kecepatan Aliran

- Didalam tube, V_t

- Di dalam shell, V_s

3.6 Menentukan Harga Pressure Drop

Untuk sisi tube ;

$$\Delta P_t = \frac{P_t \cdot V_t}{2g_c} \left[\frac{f_t \cdot L \cdot N_p}{IDt} + 4 N_p \right]$$

Untuk sisi shell ;

$$\Delta P_s = \frac{\rho_s \cdot V_s^2 \cdot D_s}{2g_c D_e} f_s [N_b + 1]$$

BAB IV ANALISA HASIL

Bab ini membahas analisa hasil iterasi dengan kondisi batas sebagaimana telah ditetapkan pada pembahasan-pembahasan sebelumnya. Kesalahan penglihatan sebagaimana umumnya dalam pembahasan dalam grafik atau tabel sedikit banyak akan berpengaruh terhadap hasil yang diberikan.

Sebagaimana telah diuraikan terdahulu, perjalanan perhitungan secara matematis sebagian besar menggunakan kecermatan dalam menentukan suatu nilai dari grafik atau tabel.

4.1. Kondisi Ideal Perencanaan

Unjuk kerja penukar kalor hasil dari suatu perencanaan dapat ditinjau kembali kemampuannya berdasarkan prasyarat design. Pada umumnya, beberapa literatur / Industri pembuat HE, menetapkan syarat-syarat design dan perancangan sistem yang menggunakan penukar kalor sebagai salah satu komponennya. Syaratdesign itu meliputi : pressure drop; efektifitas; dan analisa fouling factor.

Yaitu : Kondisi Ideal

$\Delta p_{\text{max}} = 0,5 \text{ bar}$ (dari data mesin mitsubishi)

$R_d > 0,001$

$Q_{\text{req}} \leq Q_{\text{actual}}$

(HandBook Heat Exchanger Design, Bab 3.3.4.1)

Daftar untuk Cooler dengan 1 Shell Pass dan 2 Tube Pass

No	Vt (m/det)	Uc (Btu/ft ² .F)	Pres. Drop Shell (bar)	Pres. Drop Tabung (bar)	Faktor Kotor(Rd)
1	0,02595	61	0,026135	0,000173	0,009
2	0,03014	62,84	0,026135	0,000179	0,005998
3	0,030977	62,84	0,026135	0,000184	0,005406
4	0,042028	68,164	0,026135	0,00018	0,000234

Daftar untuk Cooler dengan 2 Shell Pass dan 4 Tube Pass

No	Vt (m/det)	Uc (Btu/ft ² .F)	Pres. Drop Shell (bar)	Pres. Drop Tabung (bar)	Faktor Kotor(Rd)
1	0,0578	79,48	0,1045	0,000563	0,00968
2	0,0629	81,418	0,1045	0,000619	0,006179
3	0,068	83,3	0,1045	0,000678	0,006926
4	0,13446	117,45	0,1045	0,001713	0,001069

Daftar untuk Cooler dengan 4 Shell Pass dan 8 Tube Pass

No	Vt (m/det)	Uc (Btu/ft ² .F)	Pres. Drop Shell (bar)	Pres. Drop Tabung (bar)	Faktor Kotor(Rd)
1	0,1251	98,07423	0,41816	0,00316	0,01039
2	0,1361	104,316	0,1045	0,003342	0,009337
3	0,1472	110,158	0,1045	0,00383	0,008427
4	0,3975	183,18	0,1045	0,01975	0,00102

BAB V

DISKUSI DAN KESIMPULAN

5.1 Diskusi

Peralatan perpindahan panas (penukar kalor) berfungsi untuk memindahkan panas dari suatu fluida yang lebih panas ke fluida yang lebih dingin. Secara umum persamaan perpindahannya adalah :

$$q = U A \Delta T_m$$

$$q = \text{Jumlah panas (kkal/g)}$$

$$U = \text{Koefisien perpindahan panas (kkal/m}^2 \text{ } {}^\circ\text{K})$$

$$\Delta T_m = \text{Beda temperatur rata-rata}$$

Dari rumusan umum diatas, maka didalam perencanaan penukar kalor perlu diperhatikan parameter yang berpengaruh terhadap jumlah panas yang dipindahkan dalam hal ini adalah :

- Koefisien perpindahan panas menyeluruh (U), kaitannya adalah dengan kecepatan aliran fluidanya koefisien perpindahan panas menyeluruh akan meningkat bila aliran fluida kecepatannya dinaikkan. Perubahan kecepatan aliran berpengaruh terhadap angka Reynold dan Prantdl. Sedangkan Re dan Pr adalah fungsi dari perpindahan panas.

$h \longrightarrow f(Re, Pr)$
 $Re, Pr \longrightarrow f(V) \longrightarrow$ Aliran makin
 turbulen, akan tetapi kenaikan kecepatan harus
 dibatasi dengan prasyarat ΔP (Pressure Drop),
 karena kenaikan kecepatan juga berpengaruh
 terhadap kenaikan pressure drop.

$\Delta P \longrightarrow f(V)$.

Agar aliran lebih turbulen pada kecepatan yang tetap, maka dalam penukar kalor dipasang Battle.

- Luas permukaan perpindahan kalor
 Seperti dijelaskan diatas, koefisien
 perpindahan menyeluruh berpengaruh terhadap
 naiknya unjuk kerja penukar kalor, selain itu
 faktor lain yang juga termasuk menentukan
 adalah luasan penukar kalor menyeluruh.

$q \longrightarrow f(A)$

Bila $A \longrightarrow$ naik, maka $q \longrightarrow$ naik
 Akan tetapi biasanya penukar kalor diinginkan
 dengan dimensi yang relatif kecil hal ini
 mengingat pemakaian ruangan atau penempatan.

Disamping itu meningkatnya luasan akan semakin
 menambah berat alat dan meningkatkan biaya
 pembuatan. Upaya untuk tetap mendapatkan unjuk
 kerja alat yang tinggi dengan tetap
 mempertahankan luasan penukar kalor adalah
 dengan menambah jumlah tube dan jumlah flow

passing seperti terlihat :

$$At = Nt \cdot n \cdot (Dt^2) / 4Np$$

dimana Nt = jumlah tabung

Np = jumlah passis

- Beda emperatur rata-rata

Untuk tujuan memperbesar jumlah panas yang akan dipindahkan tentunya bisa dicapai dengan meningkatkan beda temperatur sebesar mungkin.

Tetapi hal ini dibatasi oleh adanya fungsi dari peralatan perpindahan panas yang dirancang selain juga cara dialirkan kedua fluida (paralel flow, counter flow, ataupun cross flow). Pertimbangan-pertimbangan di atas gunanya meningkatkan efisiensi penukar kalor.

5.2 Kesimpulan

Pertama mengingat akan kebutuhan udara pembakaran pada motor diesel yang memiliki prasyarat terbatas tentang tekanan dan suhunya, maka pengkondisian udara isap atau pembakaran melalui intercooler juga terbatas sampai pada kondisi itu. Artinya laju perpindahan kalor harus disesuaikan hingga udara mencapai kondisi sesuai syarat untuk pembakaran.

Kedua, seluruh analisa pada penulisan karya ilmiah ini didasarkan atas syarat kondisi sebagaimana telah diestimasikan semula. Akhirnya berdasarkan berbagai iterasi yang telah penulis cobakan hal ini ditempuh

karena terbatasnya data-data tentang dimensi intercooler yang amat dibutuhkan maka dari pembsahasan analisa dapat disimpulkan :

1. Karakteristik Geometri

Tipe penukar kalor shell dan tube, diambil triangular :

Shell Diameter : 28"

Jarak Buffle : 5"

Jarak antar Tube : 0,125"

Pitch : 0,9375"

Outer Tube Diameter : 0,75"

Jumlah Passes Tabung : 4

Jumlah Passes Shell : 2

*Analisa mat
Dr 8d.*

2. Perubahan Kecepatan

V naik $\rightarrow U$ naik

V naik $\rightarrow \Delta P$ naik

3. Perubahan Passes

Jumlah Passes tabung naik $\rightarrow \Delta P$ tabung naik

BAB VI PENUTUP

6.1. SARAN

Kepada para pembaca yang tertarik terhadap pembahasan permasalahan ini, ada baiknya permasalahan dianalisa dengan tipe penukar panas yang lain. Adalah sangat penting, mengingat pengalaman penulis. Untuk terlebih dahulu mengumpulkan data-data penunjang yang lebih komplit.

6.2. Penutup

Sadar akan keterbatasan dan pula mengingat kurangnya data-data penunjang, penulis merasa penulisan tentang analisa laju pendinginan Inter Cooler ini, amatlah jauh dari kesempurnaan, maka kepada Allah SWT lah kembali segala urusan.

DAFTAR PUSTAKA

1. Holman, J.P., Perpindahan kalor, Peenerbit Erlangga, 1984.
2. Janna, S.William, Engineering Heat Transfer, PWS Publishers, 1986.
3. Kern, D.Q, Process Heat Transfer, Mc Graw-Hill Inf. Book Company.
4. Arismunandar, Wiranto dan Koichi Tsuda, Motor Diesel Putaran Tinggi, 1983

Tugas Akhir, Hadyo Furnomo 1993
Perubahan pasang temperatur keluar fluida pendingin dan kecepatan

fluida pendingin.

tabung

Hot fluid	176	Cold fluid	86 F
$T_1 =$	176	$t_1 =$	86 F
$T_2 =$	89,6	$t_2 =$	154,1438 F
$W =$	50688	$W =$	15500 Lbs/hr
$C =$	0,2405	$C =$	0,9975 Btu/(lbs.F)
$S =$	0,06578	$S =$	1,024 Btu/(ft.F)
$k =$	0,01647	$k =$	0,354 Btu/(ft.F)
$U =$	0,025954	$U =$	M/sec

$$1. \text{ heat balance } Q \\ \text{hot fluid, } Q = W \cdot \Delta T \quad C \\ t_2 - t_1 = 68,14380 \quad T_2 - t_1 = 31,6 \text{ (b)} \\ \ln d = 1,8 \quad a-b = 18,25619 \text{ (c)} \\ \frac{a}{b} = 6,071165 \text{ (d)}$$

2. true temp. difference

$$3. \text{ caloric temperature } T_c \text{ dan } t_c \\ T_c = T_2 + \frac{Q}{C} \cdot (t_1 - T_2) \\ t_c = t_1 + \frac{Q}{C} \cdot (t_2 - t_1) \\ = 120,0719 F$$

Hot fluid, shell side
Jumlah passes = 1

Cold fluid, tube side

$$4. \text{ flow area, } A_0 \\ C = 0,125 \text{ inch} \\ B = 5 \text{ inch} \\ A_0 = 0,9375 \text{ inch}^2 \\ A_0 = 10,08 \text{ in}^2 \text{ (1940 ft}^2\text{)}$$

$$4. \text{ flow area, } A_1 \\ JML tabung (e) = \\ \text{flow area/tubung (f)} = \\ \frac{A_1}{2} = 0,334 \text{ inch}^2 \\ A_1 = \pi R^2 / 4 (44,9) \\ A_1 = 0,836159 \text{ ft}^2$$

$$5. \text{ Kecepatan alir massa} \\ \dot{m} = W / A_0 \\ = 37,538 \cdot 2 \text{ lb/chr.ft}$$

$$5. \text{ Kecepatan alir massa} \\ \dot{m} = W / A_1 \\ = 18537,12 \text{ lb/chr.ft}$$

6. bilangan reynold

equivalen diameter dari

shell Od

$$ODt = 0,75 \text{ inch}$$

$$IDt = 0,652 \text{ inch}$$

$$De = 4H(GT2-3,14kODt^2/4)$$

$$>/(3,14kODt^2)$$

$$= 0,061902 \text{ ft}$$

dapatkan u pada Tc

$$Cp = 0,02$$

$$U = 2,42 \text{ m/cp}$$

$$Re = 482865,6$$

7. dapatkan jh dari fig.28

$$jh = 450$$

8. pada Tc

dapatkan c dan k

$$C = 0,45$$

$$k = 0,104$$

hitung $(C \cdot U / k)^{0,33}$

$$= 0,596950$$

9. dapatkan ho/thetas

$$ho/\thetaetas = (jh/k) \cdot 0,333/0$$

10. suhu tube-Hall, th

$$th = (ho/\thetaetas) + (ho/\thetaetas) \cdot K(CTe-teC)$$

$$= 121,0580 \text{ F}$$

11. dapatkan uh

$$uh = 1,185$$

thetas = $(jh/uh)^{0,14}$

$$= 0,639083$$

12. koreksi koefisien, hc

$$ho = (ho/\thetaetas) \cdot \thetaetas$$

$$= 286,9260$$

13. koefisien total bersih

$$hc = hi/ohm/(chi+ho)$$

$$= 61,00817$$

6. bilangan reynold

dapatkan D dari tabel 10, ft

$$D = 0,054335 \text{ ft}$$

dapatkan u pada tc

$$Cp = 0,8$$

$$U = 2,42 \text{ m/cp}$$

$$Re = 1,936$$

$$Re = DhGo/U$$

$$= 520,2396$$

7. dapatkan jh dari fig.24

$$jh = 5,2$$

8. pada Tc

dapatkan c dan k

$$C = 1$$

$$k = 0,33$$

hitung $(C \cdot U / k)^{0,33}$

$$= 1,732954$$

9. thetat = $(jh/k) \cdot 0,333/0$

$$= 56,96116$$

10. thetat = $\frac{1}{hi/\thetaetas - (hi/\thetaetas) \cdot K(10/OD)}$

$$= 49,51823$$

14. tentukan koefisien ktr

$\lambda = 0$

, dari tbl 10 appendix

$L = 2,78$

$ft = 0,834834 m$

$R = 4,91m$

$ft = 1,597$

$U_d = Q/(R \cdot D_t)$

$= 39,2956$

15. faktor diri Rd
 $R_d = (U_{C2}-U_d)/U_{C2}$

= 0,009054 diouat tetap diatas 0.001

pressure drop

1. untuk $R_e = 482865,6$
dari fig.29 didapat harga

koef. gesek

$f = 0,0009$

2. jumlah crosses N+1
 $N+1 = 124L/B$
 $= 6,672$

3. $D_{press-shell}$

$D_p = f H g (2 \pi D_b (N+1))^2 /$

$(\rho g)^2$

$\times h^2 \pi s^2$

$= 0,384189$

psi

4. $D_{p, total}$
 $D_p = 0,026135$ bar

1. untuk $R_e = 520,2396$
dari fig.26 didapat harga

koef. gesek

$f = 0,00096$

2. $D_{press-tab} = f H g (2 \pi D_b (N+1))^2 /$
 $(\rho g)^2$

$D_p = 0,000988$

3. $D_{press,R} = 4 \pi M \mu (2 \pi D_b)^2 /$
 $(\rho g)^2$

$M = 0,001562$

psi

4. total $D_{press-tabung}$
 $= 0,002550$ psi
 $= 0,000173$ bar

$$\begin{array}{ll}
 \text{shell} & \text{tabung} \\
 \text{Hot fluid} & \text{Cold fluid} \\
 t_1 = & 176 & t_1 = & 86^\circ\text{F} \\
 t_2 = & 89.6 & t_2 = & 143.0934^\circ\text{F} \\
 M = & 50688 & M = & 18500 \text{ Lbs/hr} \\
 C = & 0.2406 & C = & 0.9976 \text{ Btu}/(\text{lb}\cdot^\circ\text{F}) \\
 s = & 0.06678 & s = & 1.024 \\
 k = & 0.01647 & k = & 0.354 \text{ Btu}/(\text{ft}\cdot^\circ\text{F}) \\
 U = & 0.030977 \text{ W/sec} & U = & 0.030977 \text{ W/sec}
 \end{array}$$

$$\begin{array}{ll}
 t_1-t_2 = & 86.4 & t_1-t_2 = & 32.90654 \quad (\text{a}) \\
 t_2-t_1 = & 57.09345 & t_2-t_1 = & 5.6 \quad (\text{b}) \\
 \ln d = & 2.208 & \frac{a-b}{a+b} = & 29.30654 \quad (\text{c}) \\
 & | \quad a/b & & = 9.140705 \quad (\text{d}) \\
 & & & \frac{a-b}{a+b} = 57.09345 \text{ Lbs/hr}
 \end{array}$$

$$\begin{array}{ll}
 1. \text{ heat balance } q & \\
 \text{Hot fluid, } q = M \cdot \Delta T, \text{ C} & \\
 \text{cold fluid, } q = q = M \cdot \Delta T, \text{ C} & \\
 q = 57.09345 \text{ Lbs/hr} &
 \end{array}$$

$$2. \text{ true temp. difference}$$

$$\begin{array}{ll}
 R = 1.1513508 & \\
 S = 0.634371 & \\
 LMTD = \frac{R}{C/(In d)} & \\
 = 15.27289^\circ\text{F} & \\
 F_t = 0.4 \quad \text{lihat fig. 18} & \\
 D_t = LMTD \cdot H/F_t & \\
 = 5.309156 \text{ F} &
 \end{array}$$

$$\begin{array}{ll}
 3. \text{ calorific temperature } T_c \text{ dan } t_c & \\
 F_c = 0.5 \quad \text{lihat fig. 17} & \\
 T_c = t_2 + F_c \cdot (t_1 - t_2) & \\
 t_c = 132.6^\circ\text{F} & \\
 t_c = t_1 + F_c \cdot (t_2 - t_1) & \\
 t_c = 114.5467^\circ\text{F} &
 \end{array}$$

$$\begin{array}{ll}
 \text{Hot fluid, shell side} & \text{Cold fluid, tube side} \\
 \text{jumlah passes} = 1 &
 \end{array}$$

$$\begin{array}{ll}
 4. \text{ Flow area, } A_0 & 4. \text{ Flow area, } A_{11} \\
 \text{ID} = 2.9 \text{ inch} & \text{Jml tabung } (\ell) = 721 \\
 C_s = 0.125 \text{ inch} & \text{flow area/tabung } (c) = 0.334 \text{ inch}^2 \\
 B = 1.25 \text{ inch} & \\
 P_t = 0.9375 \text{ inch} & \\
 A_0 = ID \cdot C_s \cdot B \cdot P_t & \\
 A_0 = 10.4829 \text{ ft}^2 & \\
 A_{11} = 0.836159 \text{ ft}^2 &
 \end{array}$$

$$\begin{array}{ll}
 5. \text{ Kecepatan alir massa} & 5. \text{ Kecepatan alir massa} \\
 G_0 = M / A_0 & G_1 = M / A_{11} \\
 = 577538.2 \text{ lb/Chm} \cdot \text{sec} & = 22124.95 \text{ lb/Chm} \cdot \text{ft}^2
 \end{array}$$

6. bilangan reynold

equivalen diameter dari shell Do

$$D_{eq} = 0.75 \text{ inch}$$

$$D_{eq} = 0.652 \text{ inch}$$

$$D_{eq} = 4H(Dt-3,14)Dt^2/4$$

$$= 0,061902 \text{ ft}$$

dapatkan u pada TC

$$C_p = 0,02$$

$$U = 2,42 \text{ N/Cp}$$

$$= 0,0484$$

$$Re = D_{eq}/U$$

$$= 482665,6$$

7. dapatkan jh dari fig.28

$$j_h = 450$$

8. pada TC dapatkan c dan k

$$C = 0,45$$

$$k = 0,104$$

$$\text{hitung } (C \cdot U)^{1/0,33}$$

$$= 0,556950$$

9. dapatkan ho/thetas

$$h_o = j_h k / C$$

$$= 448,9647$$

10. suhu tube Wall, tu
(ho/thetas * (jh/k) * (ho/thetas))
K(TC-TC)

$$= 115,5869 \text{ F}$$

11. dapatkan uh
uh = 1,185

$$thetas = (curuh)^{-0,14}$$

$$= 0,639083$$

12. koreksi koefisien, hc
ho = (hc * thetas) * thetas

$$= 286,9260$$

13. koefisien total bersih

$$UC = h_{ho} / (h_{io} + h_{ho})$$

$$= 52,84073$$

6. bilangan reynold

dapatkan D dari tabel 10, ft

$$D = 0,054333 \text{ ft}$$

dapatkan u pada tc

$$C_p = 0,8$$

$$U = 2,42 \text{ N/Cp}$$

$$= 1,936$$

$$Re = Dh/U$$

$$= 620,9311$$

7. dapatkan jh dari fig.24

$$j_h = 5,4$$

8. pada TC dapatkan c dan k

$$C = 1$$

$$k = 0,33$$

$$\text{hitung } (C \cdot U)^{1/0,33}$$

$$= 1,792954$$

9. thetat = $\frac{1}{h_o \cdot thetat} = \frac{j_h k}{h_o \cdot C} = \frac{448,9647}{51,42278}$

$$= 59,15197$$

10. thetat = $\frac{1}{h_o \cdot thetat} = \frac{\chi_o / thetat}{(h_o / thetat) \cdot K(D / 00)}$

$$= 51,42278$$

11. dapatkan uh

$$uh = 1,1185$$

$$thetas = (curuh)^{-0,14}$$

$$= 0,639083$$

12. koreksi koefisien, hc
hio = (hc * thetas) * thetas

$$= 80,46329$$

14. tentukan koefisien ktr

$\lambda = 0,1953$

(adalah luas permukaan luar
, dari tbl 10 appEND)

$L = 2,78$

$ft = 0,834834 m$

$A = \pi \cdot R^2 \cdot L$

$= 393,4537$

$U_d = Q/(A \cdot D_t)$

$= 46,90593$

15. Faktor dirt R_d

$R_d = (U_c - U_d) / (U_d \cdot U_c)$

$= 0,005406$

dibuat tetap diatas 0.001

pressure drop

$$1. \text{ untuk } Re = 482865,6 \\ \text{ dari fig.29 didapat harga} \\ \text{koef. gesek } f = 0,0009$$

$$2. \text{jumlah crosses } N+1 \\ J_M b_fis = 12 \cdot L/B \\ = 6,672$$

$$2. \text{Dpress.tab.} = f \cdot g \cdot t \cdot 2 \cdot L \cdot \rho / \\ (S,22 \cdot 10^{-10} \cdot D^5 \cdot \text{diameter}) \\ D_p = 0,001143 \text{ psi}$$

$$3. \text{Dpress.shell} \\ D_p = f \cdot g \cdot t \cdot 2 \cdot L \cdot \rho / \\ (S,22 \cdot 10^{-10} \cdot D^5 \cdot \text{diameter}) \\ = 0,384189 \text{ psi}$$

$$D_p = 0,026135 \text{ bar}$$

$$4. \text{total Dpress. tabung} \\ = 0,002706 \text{ psi} \\ = 0,000184 \text{ bar}$$

shell	tabung	Cold fluid
Hot fluid		
$T_1 = 176$	$t_1 = 86$ F	
$T_2 = 89,6$	$t_2 = 144,6793$ F	
$H = 50686$	$H = 16000$ Lbs/hr	
$C = 0,2406$	$C = 0,9976$ BTU/(Lbs.F)	
$s = 0,05678$	$s = 1,024$	
$K = 0,01647$	$K = 0,354$ BTU/(ft.F)	
$U = 0,030140$ W/sec		

$T_1-T_2 = 86,4$	$T_1-t_2 = 31,32061$ (a)
$T_2-t_1 = 58,67938$	$T_2-t_1 = 3,6$ (b)
$T_1-t_1 = 90$	$= 27,72061$ (c)
$\ln d = 2,16$	$= 6,700170$ (d)

$$1. \text{ heat balance, } Q = H \cdot DT = C \cdot Q = H \cdot DT = C \cdot$$

$$R = 1,472407$$

$$S = 0,65193$$

$$LHTD = C \cdot \ln d$$

$$= 12,83361 \text{ F}$$

$$F_t = 0,4 \text{ lihat fig. 18}$$

$$DT = LHTD \cdot \frac{H}{F_t}$$

$$= 58,67938 \text{ Lbs/hr}$$

$$= 5,133446 \text{ F}$$

3. caloric temperatur T_c dan t_c

$$F_c = 0,5 \text{ lihat fig. 17}$$

$$T_c = t_2 + F_c \cdot (t_1 - T_2)$$

$$t_c = t_1 + F_c \cdot (t_2 - t_1)$$

$$= 132,6 \text{ F}$$

$$= 115,3396 \text{ F}$$

Hot fluid, shell side
Jumlah passes = 1

Cold fluid, tube side

$$4. \text{ Flow area, } a_0$$

$$ID = 1,29 \text{ inch}$$

$$C = 0,125 \text{ inch}$$

$$B = 0,5 \text{ inch}$$

$$Pt = 0,9375 \text{ inch}$$

$$a_0 = 10 \cdot C \cdot B \cdot (144 \cdot Pt \cdot P)$$

$$= 0,134259 \text{ ft}^2$$

$$5. \text{ Kecepatan alir Hassa}$$

$$G_0 = H / a_0$$

$$= 377538,2 \text{ lb/chr.ft}$$

$$5. \text{ Kecepatan alir Hassa}$$

$$G_1 = H / a_1$$

$$= 21526,98 \text{ lb/chr.ft}^2$$

6. bilangan reynold

equivalen diameter dari

shell Do

IDE = 0,75 inch

IDe = 0,652 inch

D_e = 4K(CPt₂-3,14)D_et₂/4

>/C3 14xD_e)

= 0,061902 ft

dapatkan u pada Tc

CP = 0,02

U = 2,42 N CP

Re = D_eH_o/U

= 482855,6

7. dapatkan jh dari fig.28

Jh = 450

8. pada Tc dapatkan c dan k

C = 0,45

K = 0,104

hitung (c.u/k) = 0,33

= 0,596950

9. dapatkan ho/thetaes

ho/thetaes <JHK> = 0,333/0

H<CHu/k> = 0,333/0

= 448,9647

10. sumu tube-wall,tu

tu = ter <(ho/thetaes)+(ho/thetaes)>

H<TC-tc>

= 116,3727 F

11. dapatkan uh

uh = 1,185

thetaes = (c.u/k)^0,14

= 0,639083

12. koreksi koefisien, hc

hc = (ho/thetaes)/thetaes

= 286,9260

13. koefisien total bersih

U_c = ho/ho/(ho/thetaes)

= 62,84073

6. bilangan reynold

dapatkan D dari tabel 10, ft

D = 0,054333 ft

dapatkan u pada tc

CP = 0,02

U = 2,42 N CP

Re = D_eH_o/U

= 604,1492

7. dapatkan jh dari fig.24

Jh = 5,4

8. pada Tc dapatkan c dan k

C = 0,45

K = 0,104

hitung (c.u/k) = 0,33

= 1,732954

9. thetaes =

h1/thetaes = <JHK> = 1

H<CHu/k> = 0,333/0

= 59,15197

10. thetaes = (ho/thetaes)/(ID/00)

thetaes = 51,42278

11. dapatkan uh

uh = 1,185

thetaes = (c.u/k)^0,14

= 0,639083

12. koreksi koefisien, hc

hc = (ho/thetaes)/thetaes

= 80,46329

14. tentukan koefisien ktr

$A = 0,1963$

<adalah luas permukaan luar

,dari tble 10 appendix>

$L = 2,78 \text{ ft} = 0,834834 \text{ m}$

$A = A \cdot L \cdot H \cdot W \cdot T = 0,834834 \cdot 0,393 \cdot 45,97$

$U_d = Q / (A \cdot D \cdot T)$

$= 45,63620$

15. Faktor dirrt R_d

$$R_d = (U_d - U_c) / (U_d + U_c)$$

= 0,00598 dibuat tetap diatas 0,001

pressure drop

1. untuk $Re = 482665,6$
dari fig.29 didapat harga
koef. gesek $f = 0,0009$

1. untuk $Re = 604,1492$
dari fig.26 didapat harga
koef. gesek $f = 0,00078$

2. jumlah crosses $N+1$
 $J_M b_f l_S = N+1 = 12 \cdot 1,8$
 $= 6,572$

2. Dpress.tab. = $f \cdot g \cdot t^2 \cdot L \cdot h / (S \cdot 2210^{-10} \cdot 1000 \text{ newton/m}^2)$

$$D_p = 0,001082 \text{ psi}$$

3. DPress-shell
 $D_p = f \cdot g \cdot 2 \cdot K \cdot (N+1)^2 / (S \cdot 2210^{-10} \cdot 1000 \text{ newton/m}^2)$

$K = 0,384189 \text{ psi}$

$D_p = 0,026135 \text{ bar}$

4. total Dpress. taburing
 $= 0,002645 \text{ psi}$
 $= 0,000179 \text{ bar}$

Tugas Akhir, Madyo Purnomo 1993
Perubahan pasess, temperatur keluar fluida pendingin dan kecapatan fluida pendingin.

shell	tabung
Hot fluid	Cold fluid
$T_1 = 175$	$t_1 = 86$
$T_2 = 89,5$	$t_2 = 128,0989$
$H = 50689$	$U = 25100$
$C = 0,2406$	Lbs/hr
$S = 0,06678$	$0,9976$
$K = 0,01847$	$Btu/(Lbs.F)$
$U = 0,354$	$Btu/(ft^2.F)$
	m/s
	$0,042028$

$$\begin{aligned}
 T_1-T_2 &= 85,9 & T_1-t_2 &= 47,91916 & (a) \\
 t_2-t_1 &= 42,08085 & T_2-t_1 &= 3,5 & (b) \\
 T_1-t_1 &= 90 & a-b &= 44,31916 & (c) \\
 \ln d &= 2,59 & a/b &= 13,31087 & (d) \\
 H &= 42,08083 \text{ Lbs/hr} & & &
 \end{aligned}$$

$$\begin{aligned}
 1. \text{ heat balance } Q &= H \cdot DT \cdot C \\
 \text{hot fluid, } Q &= H \cdot DT \cdot C \\
 &= 1053694, Btu/hr \\
 T_1-t_1 &= 90 & a-b &= 44,31916 & (c) \\
 \text{cold fluid, } Q &= H \cdot DT \cdot C \\
 &= 42,08083 \text{ Lbs/hr} & & &
 \end{aligned}$$

$$\begin{aligned}
 2. \text{ true temp. difference} \\
 R &= 2,053191 \\
 S &= 0,467564 \\
 LHTD &= C/(ln d) \\
 &= 17,11164 F \\
 F_t &= 17,11164 \text{ 1ihat fig. 18} \\
 D_t &= LHTD \cdot H \cdot F_t \\
 &= 6,844658 F
 \end{aligned}$$

3. calorific temperatur T_c dan t_c

$$\begin{aligned}
 F_c &= 0,5 \text{ 1ihat fig. 17} \\
 T_c &= T_2 + F_c(T_1 - T_2) \\
 &= 132,8 F \\
 t_c &= t_1 + F_c(t_2 - t_1) \\
 &= 107,0909 F
 \end{aligned}$$

Hot fluid, shell side
Jumlah passes = 1

Cold fluid, tube side
Cold + fluid

$$\begin{aligned}
 4. \text{ Flow area, } a_0 &= 0,29 \text{ inch} \\
 C &= 0,125 \text{ inch} \\
 B &= 0,9375 \text{ inch} \\
 P_t &= 0,949 \text{ inch} \\
 a_0 &= ID \cdot H \cdot \pi B / (4 \cdot P_t \cdot C) \\
 &= 0,134259 \text{ ft}^2
 \end{aligned}$$

Hot fluid, shell side

Jumlah passes = 1

Cold + fluid, tube side

$$\begin{aligned}
 4. \text{ Flow area, } a_1 &= 0,721 \\
 Jml tabung &= jml area/tabung & (f) &= 0,334 \text{ inch}^2 \\
 &= jml passes & (g) &= 0,334 \text{ inch}^2 \\
 a_1 &= \pi H \cdot f / (4 \cdot B \cdot C) & (h) &= 0,836159 \text{ ft}^2
 \end{aligned}$$

$$\begin{aligned}
 S &= \text{Kecepatan alir massa} \\
 G_0 &= H / a_0 & 1 \text{ lb/chr.ft} \\
 &= 377538,2 \text{ 1b/chr.ft}
 \end{aligned}$$

$$\begin{aligned}
 S &= \text{Kecepatan alir massa} \\
 G_1 &= H / a_1 & 1 \text{ lb/chr.ft} \\
 &= 30018,18 \text{ 1b/chr.ft}
 \end{aligned}$$

6. bilangan reynold

equivalen diameter dari

shell Do

ODt = 0,75 inch

IDt = 0,652 inch

De = $4\pi(ODt^2 - IDt^2)/4$

= $0,061902 \text{ ft}$

dapatkan u pada Tc

CP = 0,02

U = 2,42 H CP

= 0,0484

Re = $DgDo/U$

= 462655,6

6. bilangan reynold

dapatkan D dari tabel 10, ft

D = 0,054323 ft

CP = 0,8

U = 2,42 H CP

= 1,936

Re = $DgDo/U$

= 842,4525

7. dapatkan jh dari fig.28

jh = 450

7. dapatkan jh dari fig.24

jh = 6

8. pada Tc dapatkan c dan k

C = 0,45

k = 0,104

hitung $(C \cdot U)^{0,53}$

= 0,596950

8. pada Tc dapatkan c dan k

C = 1

k = 0,33

hitung $(C \cdot U)^{0,53}$

= 1,792954

9. dapatkan ho/thetas

ho/thetas = $(jh/k)^{1/D}$

= $(jh/k)^{1/0,3333}/0$

= 498,9647

9. thetatas = 1

hi/thetas = $(jh/k)^{1/D}$

= $(jh/k)^{1/0,3333}/0$

= 65,72441

10. suhu tube-Hall, tu

tu = $tC + (ho/thetas) /$

(hi/o/thetas) + (ho/o/thetas)

HCTC - tc

= 108,1410 F

10. thetatas = 1

hi/o/thetas = $(hi/o/thetas) \times (10/00)$

= 57,13642

11. dapatkan uw

uw = 1,185

thetas = $(Uw/u)^{0,14}$

= 0,639083

11. dapatkan uw

uw = 1,1185

thetas = $(Uw/u)^{0,14}$

= 0,639083

12. korksi koefisien, hc

hc = $(ho/o/thetas) \cdot \theta$

= 286,9260

12. korksi koefisien, hc

hc = $(ho/o/thetas) \cdot \theta$

= 89,49366

13. koefisien total berair

uc = $hc \cdot ho / (hi + ho)$

= 68,18426

14. tentukan koefisien ktr
 $\lambda = 0,1963$
(adalah luas permukaan luar
dari tble 10 appendix)

$$\begin{aligned} L &= 2,78 \text{ ft} \\ R &= 0,001161 \text{ ft}^2 \\ H &= 393,4597 \\ Ud &= Q/(R \cdot Dt) \\ &= 63,63994 \end{aligned}$$

15. Faktor dirt Rd

$$Rd = (Ud - Ud)/(Ud + Uc)$$

= 0,001042 dibuat tetap diatas 0.001

pressure drop

$$\begin{aligned} 1. \text{ untuk } Re &= 482665,6 \quad 1. \text{ untuk } Re = 842,4525 \\ \text{dari fig.29 didapat } h_{fg} &= 0,0009 \quad \text{dari fig.26 didapat } h_{fg} \\ \text{koef. gesek } f &= 0,0009 \quad \text{koef. gesek } f = 0,0007 \end{aligned}$$

$$\begin{aligned} 2. \text{ jumlah crosses } N &= 1 \\ N + 1 &= 12 \times L/B \\ N + 1 &= 12 \times 0,872 \\ &= 6,672 \end{aligned}$$

$$\begin{aligned} 2. \text{ Dpress-tab.} &= f \cdot g \cdot t^2 \cdot L \cdot \lambda / (D_p \cdot (5,22 \times 10^{-10} \text{ Nm}^2/\text{K}^4)) \\ Dp &= 0,001889 \text{ psi} \end{aligned}$$

$$3. \text{ Dpress-shell}$$

$$Dp$$

=

$$f \cdot g \cdot t^2 \cdot L \cdot \lambda / (D_p \cdot (5,22 \times 10^{-10} \text{ Nm}^2/\text{K}^4))$$

Nthetas

$$= 0,384189 \text{ psi}$$

$$Dp = 0,026135 \text{ bar}$$

$$4. \text{ total Dpress-tabung}$$

$$= 0,003452 \text{ psi}$$

$$= 0,000234 \text{ bar}$$

Tugas Akhir, Hadyo Purnomo 1993
Perubahan passing, temperatur keluar fluida pendingin dan kecepatan
fluida pendingin.

Cooler Type : 2 shell/4 tube passes

Hot fluid	tabung	Cold fluid
$T_1 = 176$	$t_1 = 86$	$F = 86$
$T_2 = 89,6$	$t_2 = 149,1311$	$F = 17000$
$H = 506,88$	$H = 3,6$	Lbs/hr
$C = 0,2406$	$C = 0$	$0,9976 \text{ Btu/(lbs.F)}$
$S = 0,06578$	$S = 1,024$	
$K = 0,01647$	$K = 0,354$	
	$U = 0,057870$	Btu/(ft.F)
	$W_{\text{max}} = 0,057870 \text{ W/sec (Kec. Maksimum)}$	

1. heat balance Q

$$\text{hot fluid, } Q = u \cdot DT = C \cdot \Delta T = 1053694 \text{ Btu/hour}$$

$$\text{cold fluid, } Q = g \cdot H \cdot Dt = 62,1311 \text{ F} \cdot a/b = 7,741356 \text{ GJ}$$

2. true temp. difference

$$R = 1,390607$$

$$S = 0,690345$$

$$LMTD = C / (H \cdot D)$$

$$= 11,86162 \text{ F}$$

$$F_t = 0,4$$

lihat fig. 18

$$Dt = LMTD \cdot H \cdot F_t$$

$$= 4,744649 \text{ F}$$

3. caloric temperature T_c dan t_c

$$0,5 \text{ lihat fig. 17}$$

$$T_c = T_2 + F_c \cdot (T_1 - T_2)$$

$$= 132,8 \text{ F}$$

$$t_c = t_1 + F_c \cdot (t_2 - t_1)$$

$$= 117,0655 \text{ F}$$

Hot fluid, shell side
Jumlah passes = 2

Cold fluid, tube side

$$\Delta - \text{Flow area, } a_1 = 0,29 \text{ inch}^2$$

$$ID = 0,125 \text{ inch}$$

$$C = 5 \text{ inch}$$

$$P_t = 0,9375 \text{ inch}$$

$$a_0 = ID \cdot C \cdot \pi B / (144 \cdot H \cdot P_t)$$

$$= 0,067123 \text{ ft}^2$$

$$5. \text{ Kecepatan air massa}$$

$$G_0 = H / a_0$$

$$= 755076,4 \text{ lb/chr.ft}$$

$$5. \text{ Kecepatan air Massa}$$

$$G_1 = u / a_1$$

$$= 42366,13 \text{ lb/chr.ft}^2$$

6. bilangan reynold
equivalen diameter dari
shell Do
ODt = 0,75 inch
IDt = 0,652 inch
De = $4\pi (D_t^2 - D_{ot}^2) / (4 \times 3,14 \times ODt)$
= 0,061902 ft

dapatkan u pada tc
CP = 0,02
U = 2,42 N CP
Re = Demgo/U
= 965731,2

7. dapatkan jh dari fig.28
jh = 6,50

8. pada tc dapatkan c dan k
c = 0,495
k = 0,104
hitung $\langle c \cdot u/k \rangle^{0,33}$
= 0,596950

dapatkan u pada tc
CP = 0,8
U = 1,936 N CP
Re = DrGo/U
= 1183,934

7. dapatkan jh dari fig.24
jh = 6,6

8. Pada tc dapatkan c dan k
c = 1
k = 0,33
hitung $\langle c \cdot u/k \rangle^{0,33}$
= 1,772954

9. dapatkan ho/thetas
ho/thetas = $\langle jh_k \cdot h \cdot \chi \cdot \theta \rangle^{0,33} / D$
= 648,5045

9. θ = $\frac{1}{2} \pi$
ho/thetas = $\langle jh_k \cdot h \cdot \chi \cdot \theta \rangle^{0,33} / D$
= 72,29686

10. suhu tuber-hall, tu
tu = $t_c + (h_o / \theta) \cdot \chi$
 $\chi(h_o / \theta) + (h_o / \theta) \cdot \chi$
K(Tc-tc)
= 118,0937

10. θ = $\frac{1}{2} \pi$
ho/thetas = $\langle jh_k \cdot h \cdot \chi \cdot \theta \rangle^{0,33} / D$
= 62,85007

11. dapatkan uh
uh = $1,185 \cdot (u / u_h)^{0,14}$
thetas = $(u / u_h)^{0,14}$
= 0,639083

11. dapatkan uh
uh = $1,185 \cdot (u / u_h)^{0,14}$
thetas = $(u / u_h)^{0,14}$
= 0,639083

12. koefisiensi koefisiensi, hc
ho = $\chi(h_o / \theta) \cdot \theta$
= 414,487

12. koefisiensi koefisiensi, ho
ho = $\chi(h_o / \theta) \cdot \theta$
= 98,34402

13. koefisiensi total bersih
hc = $h_o / \chi(h_o / \theta)$
= 79,48348

14. tentukan koefisiensi ktr
 $\sigma_{ktr} = 0,1953$
cadalah luas permukaan luar
dari tampilan apend.2
L = 2,778 ft
A = $\pi \cdot L \cdot H \cdot t$ ft²
A = $377,6340$

14. tentukan koefisiensi ktr
 $\sigma_{ktr} = 0,1953$
cadalah luas permukaan luar
dari tampilan apend.2
L = 2,778 ft
A = $\pi \cdot L \cdot H \cdot t$ ft²
A = $377,6340$

15. faktor diri Rd
Rd = $(C_d \cdot U_d) / (C_w \cdot U_w)$
= 0,90908

6. bilangan reynold
dapatkan D dari tabel 10, ft.
D = 0,05353 ft

6. bilangan reynold
dapatkan D dari tabel 10, ft.
D = 0,05353 ft

pressure drop

$$1. \text{ untuk } Re = 965731,2 \text{ dari fig.29 didapat harga gesek } f = 0,0009$$

$$2. \text{ jumlah crosses } N+1 \\ jml \text{ brls} = \\ N + 1 = 12 \times 1 / 8 \\ = 6,572$$

$$3. \text{ Dpress. shell } \\ Dp = \frac{f \cdot g \cdot C \cdot (N+1)^2}{(5,22 \times 10^{-10} \times 10^4 \times 9,81 \times 6,572)} \\ = 1,536758 \text{ psi}$$

$$Dp = 0,104541 \text{ bar}$$

$$1. \text{ untuk } Re = 1188,934 \text{ dari fig.26 didapat harga gesek } f = 0,00048 \\ 2. \text{ Dpress. tab. = } f \cdot g \cdot C \cdot h / (5,22 \times 10^{-10} \times 10^4 \times 9,81) \\ Dp = 0,005161 \text{ psi}$$

$$3. \text{ Dpress. } r = 4 \pi \rho h / (2 \times 9,81 \times 1,144) \\ = 0,2462,5 / (2 \times 9,81 \times 1,144) = 0,0002$$

$$4. \text{ total Dpress. tabung} \\ = 0,008286 \text{ psi} \\ = 0,000563 \text{ bar}$$

Tugas Akhir, Hadjo Purnomo 1993

Perubahan passing, temperatur keluar fluida pendingin dan kecepatan fluida pendingin.

Coil Type : 2 shell/4 tube passes

shell fluid	tabung	Cold fluid
$T_1 = 176$	$t_1 = 86$	$F = 86^{\circ}\text{F}$
$T_2 = 89,6$	$t_2 = 143,0934$	$\text{Lbs/hr} = 18500 \text{ Lbs/hr}$
$H = 506,88$	$H = 0,9976 \text{ Btu/(lbs.F)}$	
$C = 0,2406$	$C = 1,024$	
$S = 0,06678$	$S = 0,354 \text{ Btu/(ft.F)}$	
$K = 0,01647$	$K = 0,062976 \text{ W/sec (kec. maximum)}$	
$U =$	$U =$	

$T_1-T_2 = 86,4$	$T_1-t_2 = 32,90654$	(a)
$T_2-t_1 = 57,09345$	$T_2-t_1 = 3,6$	(b)
$T_1-t_1 = 90$	$a-b = 29,30654$	(c)
$\Delta n_d = 2,21$	$a/b = 9,140705$	(d)

1. heat balance q

$$\text{hot fluid, } q = H - DT - C \\ \text{cold fluid, } q = q = H - DT - C \\ DT = 57,09345 \text{ F}$$

2. true temp. difference

$$R = 1,513308 \\ S = 0,634371 \\ LMFD = C/(1n d) \\ = 13,26087 \text{ F} \\ F_t = 13,26087 \text{ F} \\ Dt = LMFD \times F_t \\ = 5,304351 \text{ F}$$

3. calorific temperatur T_C dan t_C

$$F_C = 0,5 \text{ lihat fig.17} \\ T_C = T_2 + F_C(T_1 - T_2) \\ = 132,8 \text{ F} \\ t_C = t_1 + F_C(t_2 - t_1) \\ = 114,5467 \text{ F}$$

jumlah passes = 2

Hot fluid, shell side
jumlah passes = 2

Cold fluid, tube side

4. Flow area, a_0	$a_0 = 29 \text{ inch}^2$
$ID = 0,125 \text{ inch}$	
$OD = 0,375 \text{ inch}$	
$P_t = 1040 \text{ lb/inch}^2$	
$a_0 = 0,067129 \text{ ft}^2$	

4. Flow area, a_1

flow tabung (a_1) =

flow area tabung (a_0) =

$a_1 = a_0 / (144 \pi P_t)$

$a_1 = 0,01263 \text{ ft}^2$

$a_1 = 0,334 \text{ inch}^2$

5. Kecepatan alir massa	
$G_1 = H / S_0$	$G_1 = 46,104,32 \text{ lb/chr.ft}^2$

$$G_0 = H / S_0 = 755076,4 \text{ lb/chr.ft}^2$$

6. bilangan reynold

equivalen diameter dari shell Do

$$D_{eq} = 0,75 \text{ inch}$$

$$ID_t = 0,652 \text{ inch}$$

$$\Rightarrow D_{eq} = 4\pi (R_t^2 - 3,14 \times D_t^2 / 4)$$

$$= 0,061902 \text{ ft}$$

dapatkan u pada T_c

$$CP = 0,02$$

$$U = 2,42 \times CP$$

$$Re = D_{eq}/U$$

$$= 965731,2$$

7. dapatkan j_h dari fig-28

$$j_h = 650$$

8. Pada T_c dapatkan c dan k

$$C = 0,45$$

$$k = 0,104$$

$$hitung \quad C \cdot U / k = 0,33$$

$$= 0,596950$$

9. dapatkan h_o/θ_{tetas}

$$h_o/\theta_{tetas} = (C \cdot h_k) / (C \cdot C_u / k)^{0,3333} / D$$

$$= 648,5045$$

10. suhu tube-wall, t_w

$$t_w = T_c + (h_o/\theta_{tetas}) / (h_o/\theta_{tetas} + (h_o/\theta_{tetas}))$$

$$= 115,5008$$

11. dapatkan U_w

$$U_w = 1,185$$

$$\theta_{tetas} = (h_o/\theta_{tetas})^{0,14}$$

$$= 0,639083$$

12. koreksi koefisien, h_C

$$h_C = (h_o/\theta_{tetas})^{0,14}$$

$$= 414,4487$$

13. koefisien total bersih

$$UC = h_C / (h_o/\theta_{tetas})$$

$$= 81,41890$$

6. bilangan reynold

dapatkan D dari tabel 10, ft

$$D = 0,054333 \text{ ft}$$

dapatkan u pada T_c

$$CP = 0,8$$

$$U = 2,42 \times CP$$

$$Re = D_{eq}/U$$

$$= 1293,905$$

8. pada T_c dapatkan c dan k

$$C = 1$$

$$k = 0,33$$

$$hitung \quad C \cdot U / k = 0,33$$

$$= 1,772954$$

9. $\theta_{tetas} = j_h / h_o$

$$= (j_h \cdot k) / (C \cdot C_u / k)^{0,3333} / D$$

$$= 74,48767$$

10. $\theta_{tetas} = \frac{1}{h_o/\theta_{tetas} + (h_o/\theta_{tetas})^{0,14}}$

$$h_o/\theta_{tetas} = (h_o/\theta_{tetas})^{0,14}$$

$$= 64,75461$$

11. dapatkan U_w

$$U_w = 1,185$$

$$\theta_{tetas} = (h_o/\theta_{tetas})^{0,14}$$

$$= 0,639083$$

12. koreksi koefisien, h_C

$$h_C = (h_o/\theta_{tetas})^{0,14}$$

$$= 101,3241$$

14. tentukan koefisien ktr

$$a_{tr} = 0,1963$$

cadalah luas permukaan luar

dari tble 10 appendix

$$L = 3,78 \text{ ft}$$

$$A = 377,5340 \text{ ft}^2$$

$$ud = 9/(A \cdot D_t)$$

$$= 48,87164$$

15. faktor dirrt Rd

$$R_d = (C_{UC}-UD)/C_{UD}$$

$$= 0,008179$$

pressure drop

1. untuk $R_e = 965731,2$
dari fig.29 didapat harga
koef. gesek $f = 0,0009$

2. jumlah crosses $N+1$
 $jml_bf1s = 12H/B$

$$= 6,672$$

2. Dpress.tab. = $f \cdot H \cdot C_1 \cdot H / (5,22 \cdot 10^{-10} \cdot D^4 \cdot N^{1/4})$
 $Dp = 0,005985 \text{ psi}$

3. Dpress.shell
 $Dp = \frac{f \cdot H \cdot C_1 \cdot H}{(5,22 \cdot 10^{-10} \cdot D^4 \cdot N^{1/4})}$
 $\times \frac{1}{4 \pi \rho g} = 1,535758 \text{ psi}$

$$Dp = 0,104541 \text{ bar}$$

4. total Dpress. tabung
 $= 0,009110 \text{ psi}$
 $= 0,000819 \text{ bar}$

Perubahan passing, temperatur Keluar fluida pendingin dan kecepatan fluida pendingin.

Cooler Type : 2 shell/4 tube passes

shell fluid tabung fluid

$T_1 = 176$ $t_1 = 96$ F

$T_2 = 89,6$ $t_2 = 138,8114$ F

$W = 50586$ $W = 20000$ Lbs/hr

$C = 0,2406$ $C = 0,9976$ Btu/(lbes.F)

$s = 0,06578$ $s = 1,024$ Btu/(ft.F)

$K = 0,01647$ $K = 0,354$ Btu/(ft.F)

$U = 0,068083$ W/sec (kcal/mum)

$$\begin{aligned} T_1 - T_2 &= 86,4 \\ T_2 - t_1 &= 52,8114 ; \quad t_2 - t_1 = 3,6 \text{ (Co)} \\ t_1 - t_2 &= 90 \quad a-b = 33,58855 \text{ (Co)} \\ \ln \frac{d}{D} &= 2,33 \quad a/b = 10,33015 \text{ (Co)} \\ \ln \frac{d}{D} &= 52,8114 \text{ F} \end{aligned}$$

$$1. \text{ heat balance } Q = W \cdot \Delta T = C \cdot \Delta t$$

$$\text{hot fluid, } Q = W \cdot \Delta T = 1053634 \text{ Btu/hour}$$

$$\text{cold fluid, } Q = q \cdot \Delta t = q \cdot \Delta T = C \cdot \Delta t$$

2. true temp. difference

$$R = 1,636008$$

$$S = 0,586793$$

$$LMTD = C/(a-b)$$

$$= 14,41568 \text{ F}$$

$$F_t = t_1 + F_C \cdot (t_2 - t_1)$$

$$= LMTD \cdot F_t$$

$$= 5,765274 \text{ F}$$

3. calorific temperature T_C dan t_C

$$T_C = T_2 + F_C \cdot (t_1 - T_2)$$

$$= 132,8 \text{ F}$$

$$t_C = t_1 + F_C \cdot (t_2 - t_1)$$

$$= 112,4057 \text{ F}$$

Hot fluid, shell side

$$\text{Jumlah passes} = 2$$

Cold fluid, tube side

4. flow area, a_0

$$ID = 29 \text{ inch}$$

$$C = 0,125 \text{ inch}$$

$$B = 1 \text{ inch}$$

$$Pt = 0,9375 \text{ inch}$$

$$a_0 = ID \cdot C \cdot B / (144 \pi Pt H)$$

$$= 0,067129 \text{ ft}^2$$

$$4. \text{ Flow area, } a_1$$

$$\text{jml tabung (e)} = 6,92$$

$$\text{flow area tabung (f)} = 0,334 \text{ inch}^2$$

$$\text{jml passes (g)} = 4$$

$$a_1 = e \cdot f / (144 \pi g)$$

$$= 0,401263 \text{ ft}^2$$

5. Kecepatan alir massa

$$Bo = W / a_0$$

$$= 75076,4 \text{ lb/chr.ft}$$

$$5. \text{ Kecepatan alir massa}$$

$$B_1 = W / a_1$$

$$= 49842,51 \text{ lb/chr.ft2}$$

6. bilangan reynold
equivalen diameter dari

$$\begin{aligned} \text{shell Do} &= 0,75 \text{ inch} \\ \text{ODt} &= 0,652 \text{ inch} \\ \text{IDt} &= 4\pi(\text{Pt}^2 - 1,14\text{ODt}^2)^{1/4} \\ \text{De} &= 2/(3,14\text{ODt}) \\ &= 0,061902 \text{ ft} \end{aligned}$$

dapatkan u pada Tc

$$\begin{aligned} \text{CP} &= 0,02 \\ u &= 2,42 \times \text{CP} \\ &= 0,0484 \\ \text{Re} &= \text{De} \cdot \text{No}/u \\ &= 965731,2 \end{aligned}$$

7. dapatkan j_h dari fig. 28

$$j_h = 650$$

8. pada Tc dapatkan c dan k

$$\begin{aligned} c &= 0,45 \\ k &= 0,104 \\ \text{hitung } & (c \cdot u)/k \\ &= 0,596950 \end{aligned}$$

9. dapatkan ho/\thetaetas

$$\begin{aligned} ho/\thetaetas &= (j_h \cdot k) / (c \cdot u) \\ &= 648,5045 \end{aligned}$$

10. suhu tube-wall, tu

$$\begin{aligned} tu &= \text{tc} + ((\text{cho}/\thetaetas) / (\text{chi}(\text{cho}/\thetaetas) + \text{cho}/\thetaetas)) \\ &= 113,4770 \end{aligned}$$

11. dapatkan u_w

$$\begin{aligned} u_w &= 1,185 \\ \thetaetas &= (u_w/u)/0,14 \\ &= 0,639083 \end{aligned}$$

12. koefisien koefisiensi, hc

$$\begin{aligned} hc &= (\text{cho}/\thetaetas)/\text{ho} \\ &= 414,4487 \end{aligned}$$

13. koefisiensi total bersih

$$U_c = \text{hi} \cdot \text{ho}/(\text{chi} + \text{ho})$$

$$= 83,33209$$

6. bilangan reynold d tabel 10, ft
 $D = 0,054333 \text{ ft}$

dapatkan D dari tabel 10, ft

$$\begin{aligned} \text{CP} &= 0,8 \\ u &= 2,42 \times \text{CP} \\ &= 1,936 \\ \text{Re} &= \text{D} \cdot \text{No}/u \\ &= 13598,817 \end{aligned}$$

7. dapatkan j_h dari fig.24

$$j_h = 7$$

8. pada Tc dapatkan c dan k

$$\begin{aligned} c &= 1 \\ k &= 0,33 \\ \text{hitung } & (c \cdot u)/k \\ &= 1,792954 \end{aligned}$$

9. $\thetaetas = h_1/\thetaetas = j_h \cdot k$

$$\begin{aligned} &= 76,67848 \\ &= 66,65916 \end{aligned}$$

10. $\thetaetas = h_1/\thetaetas = (\text{chi}_1/\thetaetas)/\text{hi} \cdot \text{ct} \cdot D/0,002$

$$\begin{aligned} &= 1 \\ &= 0,639083 \end{aligned}$$

11. dapatkan u_w

$$\begin{aligned} u_w &= 1,185 \\ \thetaetas &= (u_w/u)/0,14 \\ &= 0,639083 \end{aligned}$$

12. koefisiensi koefisiensi, hi

$$\begin{aligned} hi &= \text{chi} \cdot \text{ho}/\thetaetas \\ &= 104,3042 \end{aligned}$$

14. tentukan koefisien ktr

$$a_{tr} = 0,1963$$

(dalah luas permukaan luar

, dari thl 10 appnd.)

$$L = 2,78 \text{ ft}$$

$$A = 3,44 \text{ mil. in}^2 \text{ ft}^2$$

$$U_d = 377,6340$$

$$= 52,83421$$

15. faktor dirrt. Rd

$$Rd = (C_U - U_d) / (C_U + U_d)$$

pressure drop

1. untuk $Re = 965731,2$

dari fig.29 didapat harga

$$\text{koef. gesek } f = 0,0009$$

2. jumlah crosses N+1

$$jml_bfls =$$

$$N + 1 = 12 \text{ kL/B}$$

$$= 6,672$$

1. untuk $Re = 1398,817$

dari fig.26 di dapat harga

$$\text{koef. gesek } f = 0,00046$$

2. Dpress.tab. = $f \cdot h \cdot g \cdot 2 \cdot d \cdot h_n / (5,22 \cdot 10^{-10} \cdot 10^6 \cdot \pi^2 \cdot \rho)$

$$Dp = 0,006846 \text{ psi}$$

3. DPress.shell

$$Dp = f \cdot h \cdot g \cdot (N+1)^2 /$$

$$(5,22 \cdot 10^{-10} \cdot 10^6 \cdot D_m^2)$$

=

$$1,536758 \text{ psi}$$

Dp = 0,104541 bar

3. Dpress.r = $4 \pi \mu h / 2462,5 /$

$$(5,22 \cdot 10^{-10} \cdot 10^6 \cdot D_m^2)$$

=

$$0,0002$$

Dp = 0,0002 bar

4. total Dpress. tabung

$$= 0,009371 \text{ psi}$$

$$= 0,000678 \text{ bar}$$

Perubahan passing, temperatur keluar fluids pendingin dan kecepatan
fluida pendingin.
Cooler Type : 2 shell/4 tube passes

shell	tabung
Hot fluid	Cold fluid
$T_1 = 176$	$t_1 = 86$ F
$T_2 = 89,6$	$t_2 = 112,7399$ F
$H = 506,88$	$H = 39500$ Lbs/hr
$C = 0,2406$	$C = 0,9976$ Btu/(abs.F)
$s = 0,06578$	$s = 1,024$ Btu/(ft.F)
$k = 0,01647$	$k = 0,354$ W/m.K
	$v = 0,134464$ m/sec (max)

$$\begin{aligned} T_1 - T_2 &= 86,4 \\ t_2 - t_1 &= 26,7397 \quad T_1 - t_2 = 63,26002 \quad (a) \\ T_1 - t_1 &= 2,866 \quad t_2 - t_1 = 3,6 \quad (b) \\ LMTD &= \frac{a-b}{a+b} = 59,66002 \quad (c) \\ \text{Ft} &= 0,4 \quad \text{lihat fig. 18} \\ Dt &= LMTD \times Ft \\ &= 8,326591 \text{ F} \end{aligned}$$

$$\begin{aligned} 1. \text{ heat balance } Q &= H \cdot DT \cdot C \\ \text{hot fluid, } Q &= Q = H \cdot Dt \cdot C \\ \text{cold fluid, } Q &= Q = H \cdot Dt \cdot C \end{aligned}$$

2. true temp. difference

$$\begin{aligned} R &= 3,23117 \\ S &= 0,297110 \\ LMTD &= \frac{C}{(1/n \cdot D)} \\ &= 20,81647 \text{ F} \\ Ft &= 0,4 \quad \text{lihat fig. 18} \\ Dt &= LMTD \times Ft \\ &= 8,326591 \text{ F} \end{aligned}$$

3. calorific temperatur T_C dan t_C

$$\begin{aligned} F_C &= 0,5 \quad \text{lihat fig. 17} \\ T_C &= T_2 + F_C \cdot (T_1 - T_2) \\ t_C &= t_1 + F_C \cdot (t_2 - t_1) \\ &= 99,36998 \text{ F} \end{aligned}$$

Hot fluid, shell side
Jumlah passes = 2

Cold fluid, tube side

$$\begin{aligned} 4. \text{ Flow area, } a_0 &= 0,29 \text{ inch}^2 \\ ID &= 0,125 \text{ inch} \\ C &= 0,5 \text{ inch} \\ B &= 0,9375 \text{ inch} \\ Pt &= 10 \cdot C \cdot H \cdot B / (144 \cdot \pi \cdot D^2) \\ a_0 &= 0,067129 \text{ ft}^2 \end{aligned}$$

$$\begin{aligned} 5. \text{ Kecepatan air massa} \\ g_0 &= H / a_0 \\ &= 755076,4 \text{ lb/chr.ft}^2 \end{aligned}$$

$$\begin{aligned} 5. \text{ Kecepatan air massa} \\ g_1 &= H / a_1 \\ &= 98438,96 \text{ lb/chr.ft}^2 \end{aligned}$$

4. Flow area, a_1

$$\begin{aligned} \text{flow area tabung } (c) &= 0,334 \text{ inch}^2 \\ a_1 &= H f / (144 \pi D^2) \\ a_1 &= 0,401263 \text{ ft}^2 \end{aligned}$$

14. tentukan koefisien ktr
a. 0,1963

C adalah luas permukaan luar

dari tbl 10 appnd.

L = 2,78 ft

R = 0,1417 ft

Ud = Q/(R.Dt)

= 104,3475

$$15. \text{ Faktor diri } Rd = (Uc - Ud) / (Ua + Uc)$$

pressure drop

$$\begin{aligned} 1. \text{ untuk } Re &= 965731,2 \\ \text{ dari fig.29 didapat harga} & \\ \text{koef. gesek } f &= 0,0009 \end{aligned}$$

$$\begin{aligned} 2. \text{ jumlah crosses } N+1 \\ Jml \text{ bfls} &= N+1 \\ &= 12 \text{ fl/B} \\ &= 6,672 \end{aligned}$$

$$\begin{aligned} 3. \text{ Dpress-shell} \\ Dp &= fm^2 \cdot 2 \cdot D \cdot (N+1) / \\ &(5,22 \times 10^{-10} \times D^3 \times \eta \times \\ &\theta \text{ (theta)}) \\ &= 1,536758 \text{ psi} \end{aligned}$$

$$\begin{aligned} Dp &= 0,104541 \text{ bar} \\ & \end{aligned}$$

$$\begin{aligned} 3. \text{ Dpress-tab.} &= fm^2 \cdot 2 \cdot D \cdot N / \\ &(5,22 \times 10^{-10} \times D^3 \times \eta \times \theta) \\ &= 0,022061 \text{ psi} \end{aligned}$$

$$\begin{aligned} 4. \text{ total Dpress-tabung} \\ &= 0,025186 \text{ psi} \\ &= 0,001713 \text{ bar} \end{aligned}$$

5. bilangan regnold

equivalen diameter dari

shell Do

$$00t = 0,75 \text{ inch}$$

$$D_t = 0,652 \text{ inch}$$

$$D_e = 4NCPr^2/3,14800t^{2/4}$$

$$= 0,061902 \text{ ft}$$

dapatkan u pada Tc

$$Cp = 0,02$$

$$U = 2,42 \cdot Cp$$

$$Re = Dem/U$$

$$= 1931462,$$

7. dapatkan jh dari fig.28

$$jh = 450$$

8. pada Tc dapatkan c dan k

$$C = 0,45$$

$$k = 0,104$$

$$\text{hitung } Cc \cdot U \cdot k = 0,33$$

$$= 0,596950$$

9. dapatkan ho/thetas

$$ho/thetas = (jh \cdot k) / (C \cdot U) = 0,333/0$$

$$= 448,9647$$

10. jumlah tube-hall, tu

$$tu = tc \cdot (ho/thetas) /$$

$$(ho \cdot thetat) + (ho \cdot thetas)$$

$$= hc - tc$$

$$= 118,0014$$

11. dapatkan uh

$$uh = 1,185$$

$$\thetaetas = (uh \cdot uh)^{0,14}$$

$$= 0,639083$$

11. dapatkan uh

$$uh = 1,1185$$

$$\thetaetat = (uh \cdot uh)^{0,14}$$

$$= 0,639083$$

12. koefisiensi koefisiensi, hio

$$hio = (ho \cdot thetat) / thetat$$

$$= 149,0061$$

6. bilangan regnold

dapatkan D dari tabel 10, ft

$$D = 0,054332 \text{ ft}$$

dapatkan u pada tc

$$Cp = 0,8$$

$$U = 1,936$$

$$Re = Um/U$$

$$= 2571,200$$

14. tentukan koefisien ktr
3,5 = 0,1963
cadalah luss permukaan luar
, dari tb1 10 sppendix
 $L = 3,5 \times 10^{-2,75}$
 $R = 3,5 \times 10^{-4,472}$
 $U_d = Q / (R D t)$
 $= 48,55794$

15. Faktor dirt Rd
 $R_d = (Q_d - Q_s) / Q_d \Delta H_f$
 $= 0,010397$

pressure drop

1. untuk $Re = 1931462$,
dari fig.29 didapat harga
koef. gesek $f = 0,0003$

2. jumlah crosses $N+1$
jml bfls = $12^{1.1} B$
 $N + 1 = 12^{1.1} B$
 $= 6,872$

1. untuk $Re = 2571,200$
dari fig.26 didapat harga
koef. gesek $f = 0,0004$

2. Dpress.tab = $f \times \frac{L}{D} \times \rho \times$
 $(5,22 \times 10^{-10} \times 1000 \times 10^6)$
 $D_p = 0,040230 \text{ psi}$

3. DPRESS.sHELL
 $D_p = \frac{f \times \rho \times (N+1)^2}{(5,22 \times 10^{-10} \times 1000 \times 10^6)}$
 $= 8,147034 \text{ psi}$

$D_p = 0,418165 \text{ bar}$

3. $Dpress.tab = 4 \times \rho \times U^2 \times L \times D_p$
 $(5,22 \times 10^{-10} \times 1000 \times 10^6) \times$
 $U^2 \times 2462,5 / (2 \times 10^{-14}) =$
 $0,00625 \text{ psi}$

4. total Dpress. tabung

$= 0,046480 \text{ psi}$

$= 0,003161 \text{ bar}$

Tugas Akhir Hadis Purwono i993

Perubahan pasang temperatur fluida pendingin dan kecepatan
fluida pendingin.

Cooler Type : 4 shell/8 tube passes

shell fluid tabung fluid

$$T_1 = 176 \quad t_1 = 86 \text{ F}$$

$$T_2 = 39,6 \quad t_2 = 143,0934 \text{ F}$$

$$W = 50888 \quad W = 18500 \text{ Lbs/hr}$$

$$C = 0,2406 \quad C = 0,9976 \text{ Btu/(lbers.F)}$$

$$S = 0,06878 \quad S = 1,024 \text{ Btu/(ft.F)}$$

$$K = 0,01647 \quad K = 0,136187 \text{ W/sec (kcal. maximum)}$$

$$V = 0,136187 \text{ W/sec (kcal. maximum)}$$

$$T_1-T_2 = 36,9 \quad T_1-t_2 = 36,90654 \text{ cal}$$

$$T_2-t_1 = 57,0345 \quad T_2-t_1 = 36,364 \text{ cal}$$

$$T_1-t_1 = 90 \quad a-b = 29,30654 \text{ cal}$$

$$\ln d = 2,21 \quad a/b = 9,140705 \text{ (d)}$$

1. heat balance Q
hot fluid, $Q = W \cdot D_T \cdot C$
cold fluid, $Q = W \cdot D_T \cdot C$

$$Q = 1053694 \text{ Btu/hour}$$

$$Q = 57,09345 \text{ F}$$

2. true temp. difference

$$R = 1,513508$$

$$S = 0,634371$$

$$LMTD = S/(Rn.d)$$

$$= 15,26087 \text{ F}$$

$$F_t = 0,85 \text{ lihat fig. 18}$$

$$D_T = LMTD \cdot F_t$$

$$= 11,22174 \text{ F}$$

3. calorific temperature T_C dan t_C

$$F_C = T_2 + F_t \cdot (T_1 - T_2)$$

$$t_C = 152,8 \text{ F}$$

$$t_C = t_1 + F_t \cdot (t_2 - t_1)$$

$$t_C = 114,5467 \text{ F}$$

Hot fluid, shell side
jumlah passes = 4

4. flow area, a_0

$$ID = 29 \text{ inch}$$

$$C = 0,125 \text{ inch}$$

$$B = 5 \text{ inch}$$

$$Pt = 0,3575 \text{ inch}$$

$$a_0 = ID \cdot C \cdot B \cdot Pt$$

$$= 0,03564 \text{ ft}^2$$

5. Kecepatan air massa

$$G_0 = W / a_0$$

$$= 1510152 \text{ lb/chr.ft}$$

5. Kecepatan air massa

$$G_1 = W / a_1$$

$$= 99700,59 \text{ lb/chr.ft}^2$$

Cold fluid, tube side

4. flow area, a_1

$$JML tabung (e) = 640$$

$$\text{flow area/tabung (f)} = 0,334 \text{ inch}^2$$

$$JML passes (g) = 8$$

$$a_1 = W / f \cdot (144 \cdot g)$$

$$= 0,135555 \text{ ft}^2$$

6. bilangan reynold

equivalen diameter dari

shell Do

ODt = 0,75 inch

IDt = 0,652 inch

D_{Re} = $4 \times (\text{P}t/2 - 3,14 \times \text{ODt}/4)$

= 0,681902 ft

dapatkan u pada Tc

Cp = 0,02

U = 2,42 x Cp

Re = D_{Re}/U

= $1931462,$

7. dapatkan Jh dari fig.28

Jh = 450

7. Japatkan Jh dari fig.24

Jh = 11

8. pada Tc dapatkan c dan k

C = 0,45

k = 0,104

hitung $CC.U/K = 0,33$

= 0,598950

8. pada Tc dapatkan c dan k

C = 1

k = 0,33

hitung $CC.U/K = 0,33$

= 1,732954

9. dapatkan ho/thetas

ho/thetas = Jh/k

$H(Cch/K)^2/0,333^2/0$

= 448,9847

9. theta = Jh/k

$H(Cch/K)^2/0,333^2/0$

= 120,4947

10. suhu tube-Hall, tu
tu = $tC((\chi/\thetaeta)^2 /$

($\chi/\thetaeta^2) + (\chi/\thetaeta)^2)$

$H(Ct-Ct)^2$

= 115,4987

10. theta = $\chi/\thetaeta = \chi / (H(Cch/K)^2/0,333^2/0)$

= 104,7501

11. dapatkan uh

uh = 1,185

thetas = $(\chi/\text{uh})^2/0,14$

= 0,639083

11. dapatkan uh

uh = 1,185

thetas = $(\chi/\text{uh})^2/0,14$

= 0,639083

12. koreksi koefisien, hc

ho = $(\chi/\thetaeta)^2/\thetaeta$

= 286,9260

12. koreksi koefisien, hio

hio = $(\chi/\thetaeta)^2/\thetaeta$

= 163,9067

13. koefisien total bersih

UC = $hio/ho(\chi/\thetaeta)$

= 104,3160

14. tentukan koefisien ktr
as = 0,1963

Cadalah luas permukaan luar
dari tabl 10 appenda

$$L = 2,778 \text{ ft}$$

$$A = 349,2569 \text{ ft}^2$$

$$U_d = Q / (A \cdot D \cdot t)$$

$$= 52,84246$$

15. faktor dirrt R_d
 $R_d = Q U_d / Q_d U_d s_{\text{c}}$
 $= 0,009337$

pressure drop

1. untuk $Re = 1931462$,
dari fig.29 didapat harga
koef. gesek $f = 0,0009$

2. jumlah crosses $N + 1$
 $N + 1 = 12 \times L/B$
 $= 6,672$

1. untuk $Re = 2798,071$
dari fig.28 didapat harga
koef. gesek $f = 0,00056$

2. Dpress.tab = $f \cdot \frac{L}{D} \cdot \frac{Q^2}{2 \cdot g \cdot \rho}$
 $Dp = 0,042878 \text{ psi}$

3. Dpress.shell = $4 \pi R H U^2 \cdot 2 \cdot g \cdot \rho$
 $Dp = f \cdot \frac{L}{D} \cdot \frac{(Q^2 \cdot H)^2}{(2 \cdot g \cdot \rho)^2}$
 $\times \theta_{\text{tetas}}^2$
 $= 6,147034 \text{ psi}$

$$0,0002$$

3. Dpress.r = $4 \pi R H U^2 \cdot 2 \cdot g \cdot \rho$
 $U^2 \cdot 2 \cdot g \cdot \rho$
 $= 0,00625 \text{ psi}$

4. total Dpress. tabung

$$= 0,049128 \text{ psi}$$

$$= 0,003342 \text{ bar}$$

Cooler Type : 4 shell/8 tube passeses

shell tabung Cold fluid

$$\begin{aligned}
 \text{Hot fluid} & \quad t_1 = 176 \text{ F} & \text{Cold fluid} & \quad t_1 = 36 \text{ F} \\
 t_2 & = 89,6 & t_2 & = 138,8114 \text{ F} \\
 h & = 50888 & h & = 20000 \text{ Lbs/hr} \\
 C & = 0,2406 & C & = 0,3976 \text{ Btu/(lb.F)} \\
 g & = 0,06878 & g & = 1,024 \\
 k & = 0,01647 & k & = 0,3554 \text{ Btu/(ft.F)} \\
 u & = 0,147229 \text{ W/sec (k.g.C. MAXIMUM)}
 \end{aligned}$$

1. heat balance q

$$\begin{aligned}
 \text{hot fluid, } Q & = h \cdot \Delta T \cdot C \\
 \text{cold fluid, } Q & = Q = 1053694 \text{ Btu/hour} \\
 D_t & = 52,8114 \text{ F}
 \end{aligned}$$

2. true temp. difference

$$\begin{aligned}
 R & = 1,636008 \\
 S & = 0,586733 \\
 LHTD & = C / (h \cdot d) \\
 t_{1d} & = 132,8 \text{ F} \\
 t_c & = t_1 + FC(t_2 - t_1) \\
 F_t & = LHTD \cdot h \cdot Ft \\
 D_t & = 5,766274 \text{ F}
 \end{aligned}$$

3. Caloric temperatur Tc dan tc

$$FC = 0,5 \text{ lihat fig.17}$$

$$T_c = T_2 + FC(t_1 - t_2)$$

$$t_c = t_1 + FC(t_2 - t_1)$$

$$= 112,4057 \text{ F}$$

Hot fluid, shell side

Jumlah passeses = 4

Cold fluid, tube side

4. Flow area, a_0

$$ID = 29 \text{ inch}$$

$$C = 0,125 \text{ inch}$$

$$B = 5 \text{ inch}$$

$$Pt = 0,9375 \text{ inch}$$

$$a_0 = ID \cdot C \cdot B \cdot Pt \cdot H$$

$$= 0,03564 \text{ ft}^2$$

$$\begin{aligned}
 4. \text{ Flow area, } a_1 & \quad \text{flow tabung (e)} = 0,640 \\
 \text{Jml tabung (e)} & = 0,334 \text{ inch}^2 \\
 \text{flow area/tabung (e)} & = 0,334 \text{ inch}^2 \\
 \text{Jml passeses (9)} & = 31 \\
 31 & = H \cdot f \\
 f & = 0,185555 \text{ ft}^2
 \end{aligned}$$

5. Kecepatan alir massa

$$G_o = h / a_0$$

$$= 1510152,1 \text{ lb/chr.ft}$$

5. Kecepatan alir massa

$$G_1 = h / a_1$$

$$= 107784,4 \text{ lb/chr.ft}^2$$

$$\begin{aligned}
 6. & \text{ bilangan reynold equivalen diameter dari shell Do} \\
 & DDo = 0,75 \text{ inch} \\
 & IDt = 0,652 \text{ inch} \\
 & Dd = 4 \times (Pt^2 - 3,14 \times DDo^2 / 4) \\
 & = 3,14 \times 0,05433^2 \\
 & = 0,061902 \text{ ft}
 \end{aligned}$$

$$\begin{aligned}
 & \text{dapatkan } u \text{ pada } Tc \\
 & Cp = 0,02 \\
 & u = 2,42 \times Cp \\
 & Re = DeGc / d \\
 & = 1931482,
 \end{aligned}$$

$$\begin{aligned}
 7. & \text{ dapatkan } jh \text{ dari fig. 28} \\
 & jh = 450
 \end{aligned}$$

$$\begin{aligned}
 8. & \text{ pada } Tc \text{ dapatkan } c \text{ dan } k \\
 & C = 0,45 \\
 & K = 0,10 \\
 & \text{hitung } (C \cdot u / K)^{0,33} \\
 & = 0,596950
 \end{aligned}$$

$$\begin{aligned}
 & \text{dapatkan } jh \text{ dari fig. 24} \\
 & jh = 12 \\
 & \text{dapatkan } jh \text{ dari fig. 24} \\
 & jh = 12
 \end{aligned}$$

$$\begin{aligned}
 & \text{dapatkan } jh \text{ dari fig. 24} \\
 & jh = 12
 \end{aligned}$$

$$\begin{aligned}
 9. & \text{ pada } Tc \text{ dapatkan } c \text{ dan } k \\
 & C = 1 \\
 & K = 0,33 \\
 & \text{hitung } (C \cdot u / K)^{0,33} \\
 & = 1,792954
 \end{aligned}$$

$$\begin{aligned}
 10. & \text{ suhu tube-Hall, tu} \\
 & tu = tc + (cho / \theta_{\text{heat}}, \chi \\
 & (cho / \theta_{\text{heat}}) + (ho / \theta_{\text{heat}})) \\
 & = 448,3474
 \end{aligned}$$

$$\begin{aligned}
 10. & \text{ thetat} = 1 \\
 & \theta_{\text{heat}} = (jh \cdot K \cdot C \cdot u / K)^{0,33} / D \\
 & = 131,4488
 \end{aligned}$$

$$\begin{aligned}
 11. & \text{ dapatkan } uh \\
 & uh = 1,185 \\
 & \theta_{\text{heat}} = (u / uh)^{0,14} \\
 & = 0,639083
 \end{aligned}$$

$$\begin{aligned}
 11. & \text{ dapatkan } uh \\
 & uh = 1,1185 \\
 & \theta_{\text{heat}} = (u / uh)^{0,14} \\
 & = 0,639083
 \end{aligned}$$

$$\begin{aligned}
 12. & \text{ koreksi koefisien, hc} \\
 & ho = (ho / \theta_{\text{heat}}) \cdot \theta_{\text{heat}} \\
 & = 286,9260 \\
 & = 110,1584
 \end{aligned}$$

$$\begin{aligned}
 12. & \text{ koreksi koefisien, ho} \\
 & ho = (ho / \theta_{\text{heat}}) \cdot \theta_{\text{heat}} \\
 & = 178,8073
 \end{aligned}$$

$$\begin{aligned}
 6. & \text{ bilangan reynold dapatkan D dari tabel 10, ft} \\
 & D = 0,05433 \text{ ft}
 \end{aligned}$$

14. tentukan koefisien ktr

a,"m

0,1963
<adalah luas permukaan luar

dari tbi 10 appendix>

L = 2,78 ft

A = a,"*LHnt ft2

Id = Q/(A.Dt)

= 57,12699

15. Faktor dirt Rd

$$Rd = (CUC-UD)/CUDSIC$$

$$= 0,008427$$

pressure drop

1. untuk $Re = 193,1462$,
dari fig.29 didapat harga
koef. gesek $f = 0,00093$

2. jumlah crosses $M+1$

$$\begin{aligned} J_M bfls &= 12 \cdot M / B \\ M + 1 &= 12 \cdot M / B \\ &= 6,672 \end{aligned}$$

$$\begin{aligned} 2. \quad \text{Dpress.tab.} &= f \cdot g \cdot t^2 \cdot 2 \cdot L \cdot n / \\ &\quad (5,22 \cdot 10^{-10} \cdot D \cdot \sin \theta) \\ Dp &= 0,050113 \text{ psi} \end{aligned}$$

1. untuk $Re = 3024,941$,
dari fig.28 didapat harga
koef. gesek $f = 0,00056$

$$\begin{aligned} 3. \quad \text{Dpress.shell} &= f \cdot g \cdot t^2 \cdot 2 \cdot L \cdot n / \\ Dp &= f \cdot g \cdot t^2 \cdot M \cdot H \cdot C \cdot N \cdot (M+1)^2 / \\ &\quad (5,22 \cdot 10^{-10} \cdot D \cdot \sin \theta) \\ H \cdot \sin \theta &= 6,147034 \text{ psi} \end{aligned}$$

4. total Dpress. tsburg

$$\begin{aligned} Dp &= 0,418165 \text{ bar} \\ &= 0,056363 \text{ psi} \\ &= 0,003834 \text{ bar} \end{aligned}$$

shell tabung

Hot fluid Cold fluid

$t_1 = 176$ $t_1 = 86$

$t_2 = 89,6$ $t_2 = 105,5597$

$H = 50638$ $H = 54000$

$C = 0,2406$ $C = 0,9976$

$S = 0,06878$ $S = 1,024$

$K = 0,01847$ $K = 0,354$

$\dot{Q} = 0,397520$

Btu/(sec. Kec. Max)

$$T_1-T_2 = 88,4 \quad T_1-t_2 = 70,44020 \text{ cal}$$

$$t_2-t_1 = 19,55979 \quad T_2-t_1 = 3,6 \text{ (cal)}$$

$$H = 50638 \quad H = 54000 \text{ Lbs/hr}$$

$$C = 0,2406 \quad C = 0,9976 \text{ Btu/(lbs.F)}$$

$$S = 0,06878 \quad S = 1,024$$

$$K = 0,01847 \quad K = 0,354 \text{ Btu/(sec.F)}$$

$$\dot{Q} = 0,397520 \text{ Btu/sec. Kec. Max}$$

1. heat balance Q

$$\text{hot fluid, } Q = H \cdot \Delta t = 1053694, \text{ Btu/hour}$$

$$\text{cold fluid, } Q = q = H \cdot \Delta t = 13,5672 \text{ (cal)}$$

2. true temp. difference

$$R = 4,417223$$

$$t_2-t_1 = 19,55979$$

$$= 0,217331$$

$$LHTD = C/(H \cdot d) = 22,50511 \text{ F}$$

$$F_t = 0,85 \text{ lihat fig. 18}$$

$$Dt = LHTD \cdot R \cdot F_t = 19,12935 \text{ F}$$

3. calorific temperatur T_C dan t_C

$$F_C = 0,5 \text{ lihat fig. 17}$$

$$T_C = T_2 + F_C \cdot (T_1 - T_2)$$

$$t_C = t_1 + F_C \cdot (t_2 - t_1)$$

$$= 95,77989 \text{ F}$$

Hot fluid, shell side
jumlah passes = 4

Cold fluid, tube side

$$4. \text{ Flow area, } a_0$$

$$ID = 29 \text{ inch}$$

$$C_s = 0,125 \text{ inch}$$

$$B_s = 0,5 \text{ inch}$$

$$P_t = 0,9375 \text{ inch}$$

$$a_0 = ID \cdot C_s \cdot B_s \cdot P_t / 4 \pi \cdot \rho \cdot g = 0,023564 \text{ ft}^2$$

$$4. \text{ Flow area, } a_1$$

$$JML \text{ tabung, } a_1 = \frac{640}{\text{flow area/tabung}} = 0,334 \text{ inch}^2$$

$$\text{JML passes, } (g) = 8$$

$$a_1 = e_H f / (144 \pi g) = 0,185555 \text{ ft}^2$$

5. Kecepatan alir massa

$$\dot{m}_0 = H / a_0 = 1510152, \text{ lb/chr.ft}$$

$$5. \text{ Kecepatan alir massa}$$

$$0,1 = H / a_1 = 291017,9 \text{ lb/chr.ft}^2$$

6. bilangan reynold dari
equivalen diameter dari
shell Do

$$D = 0,054333 \text{ ft}$$

$$\begin{aligned} D_{Dt} &= 4 \times C_{Dt}^2 - 3,14 \times D_{Dt}^2 / 4 \\ &= 3,7314 \times D_{Dt} \\ &= 0,061902 \text{ ft} \end{aligned}$$

$$\begin{aligned} \text{dapatkan } u \text{ pada } Tc \\ C_p &= 0,02 \\ u &= 2,42 \text{ N/CP} \\ &= 0,0484 \\ Re &= D_{Dt} \times u / \nu \\ &= 1931462, \end{aligned}$$

$$\begin{aligned} 6. \text{ bilangan reynold dari tabel 10, ft} \\ D &= 0,054333 \text{ ft} \\ \text{dapatkan } u \text{ pada } Tc \\ C_p &= 0,8 \\ u &= 2,42 \text{ N/CP} \\ &= 1,936 \\ Re &= D_{Dt} \times u / \nu \\ &= 3167,343 \end{aligned}$$

7. dapatkan j_h dari fig.28

$$j_h = 450$$

$$\begin{aligned} 7. \text{ dapatkan } j_h \text{ dari fig.24} \\ j_h &= 34 \end{aligned}$$

8. pada Tc dapatkan c dan k

$$C_p = 0,45$$

$$k = 0,104$$

$$\text{hitung } (C_p \cdot u k)^{1/3}$$

$$= 0,596950$$

$$\begin{aligned} 8. \text{ Pada } Tc \text{ dapatkan } c \text{ dan } k \\ C_p &= 0,45 \\ k &= 0,104 \\ \text{hitung } (C_p \cdot u k)^{1/3} \\ &= 0,596950 \end{aligned}$$

9. dapatkan h_1/θ_{hetas}

$$h_1/\theta_{hetas} = \sqrt{j_h k / (C_p \cdot u)}$$

$$= 498,9647$$

$$\dots$$

$$= 0,58546$$

$$\begin{aligned} 9. \text{ } \theta_{hetas} = h_1/\theta_{hetas} = \sqrt{j_h k / (C_p \cdot u)} \\ &= 372,4383 \end{aligned}$$

10. suhu tube-wall, t_w

$$t_w = t_c + (h_1/\theta_{hetas}) /$$

$$(h_1/\theta_{hetas}) + (h_1/\theta_{hetas})$$

$$k/(C_p - k)$$

$$= 96,58546$$

$$\begin{aligned} 10. \text{ } \theta_{hetas} = h_1/\theta_{hetas} = \sqrt{j_h k / (C_p \cdot u)} \\ &= 323,7730 \end{aligned}$$

11. dapatkan u_w

$$u_w = 1,185$$

$$\theta_{hetas} = (u_w/u)^{1/4}$$

$$= 0,639083$$

$$\begin{aligned} 11. \text{ dapatkan } u_w \\ u_w &= 1,185 \\ \theta_{hetas} &= (u_w/u)^{1/4} \\ &= 0,639083 \end{aligned}$$

12. koreksi koefisien, h_1

$$h_1 = \chi_{co}(h_{10}/\theta_{hetas})$$

$$= 286,9250$$

$$\dots$$

$$= 183,1809$$

$$\begin{aligned} 12. \text{ koreksi koefisien, } h_1 \\ h_1 = \chi_{co}(h_{10}/\theta_{hetas}) \theta_{hetas} \\ &= 506,6207 \end{aligned}$$

13. koefisien total bersih

$$h_C = h_{10} \cdot \chi_{co}$$

$$= 183,1809$$

$$\dots$$

$$= 183,1809$$

14. tentukan koefisien ktr
s² = 0,1963
<edalah luas perluukan luar
, dari tbl 10 appendix
 $L = 2,78$
 $A = s^2 \cdot \pi L h t = \pi t^2$
 $A = 343,2569$
 $Ld = Q / CA \cdot Dt$
 $Ld = 154,2428$

15. faktor dirrt Rd
 $Rd = (Q - Ud) / (Qd + Ud)$
 $= 0,001024$

pressure drop

1. untuk $Re = 1931462$,
dari fig 29 didapat harga
koef. gesek $f = 0,0009$

2. jumlah grosses N+1
 $J_M b/r = 12 \cdot L/B$
 $N + 1 = 12 \cdot L/B$
 $= 6,672$

2. Dpress.tab = $f \cdot Q^2 \cdot 2 \cdot L \cdot \rho /$
($S, 22 \cdot 10^{-3} \text{ m}^2 \cdot \text{m}^3 \text{ s}^{-2}$)
 $Dp = 0,284143 \text{ psi}$

3. Dpress shell
 $Dp = f \cdot Q^2 \cdot 2 \cdot L \cdot \rho /$
($S, 22 \cdot 10^{-3} \text{ m}^2 \cdot \text{m}^3 \text{ s}^{-2}$)
 $N \cdot h \cdot \rho g$
 $= 6,147034 \text{ psi}$

3. Dpress,r = $4 \cdot \pi \cdot h \cdot \rho \cdot 2 \cdot \pi \cdot S /$
($\pi \cdot D^2 \cdot \rho \cdot g \cdot h^2$)
 $0,284143 \cdot 0,0002$
 $= 0,00625 \text{ psi}$

$Dp = 0,418165 \text{ bar}$

4. total Dpress. tabung
 $= 0,290393 \text{ psi}$
 $= 0,019754 \text{ bar}$

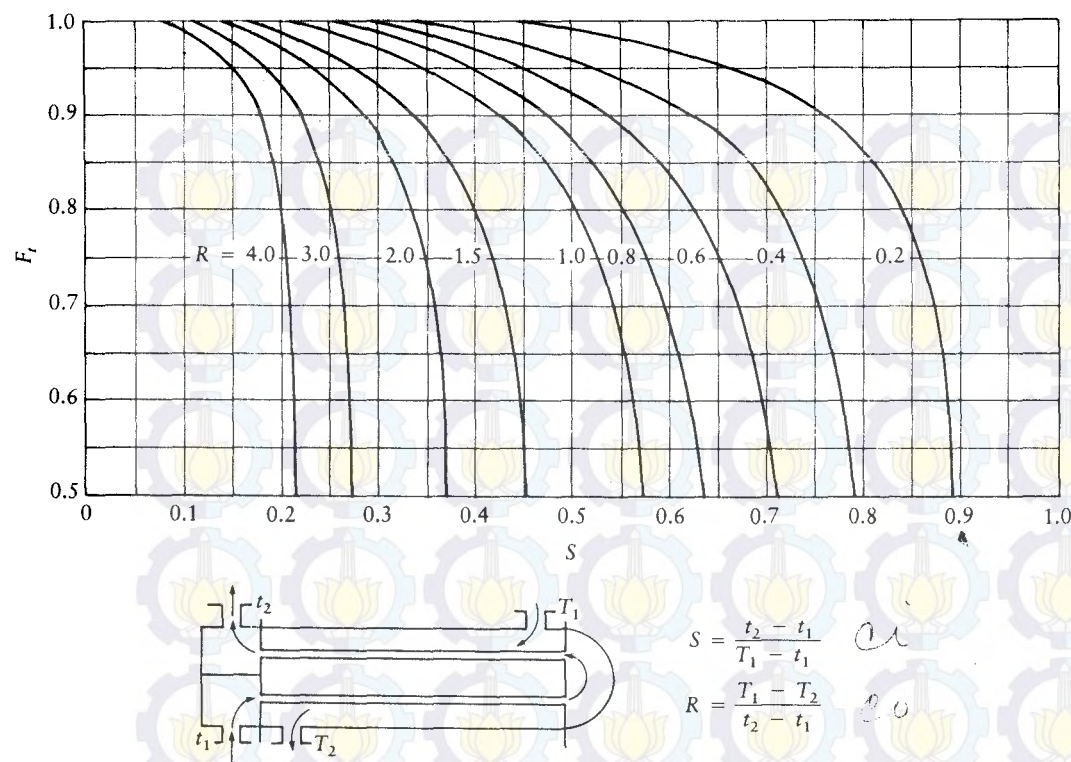


Figure 11.12 Correction factor F_t for a shell-and-tube heat exchanger—1 shell pass and 2 or more tube passes. (Reprinted from "Mean Temperature Difference" by R. A. Bowman, A. C. Mueller, and W. M. Nagle, *Trans. ASME*, v. 62, 1940, pp. 283–294.)

As with double-pipe exchangers, shell-and-tube-exchanger surfaces are subject to fouling. The fouling factors of Table 11.1 apply, and the overall heat-transfer coefficient becomes

$$\frac{1}{U} = \frac{1}{U_o} + R_{di} + R_{do} = \frac{1}{U_o} + R_d \quad (11.24)$$

In a number of cases involving shell-and-tube equipment the inlet temperatures of the fluid streams are known, and the outlet temperatures are to be determined. By appropriately combining the defining equation for the correction factor F_t (Equation 11.33) with the definition of the log-mean temperature difference and the overall heat-transfer coefficient,

Table 11.3 *Tube counts for shell-and-tube equipment.*
*(Reprinted from Process Heat Transfer by D. Q. Kern,
McGraw-Hill Book Co., 1950, pp. 841–842, with permission from the publisher.)*

Shell ID, in.	$\frac{3}{4}$ -in.-OD tubes on 1-in. square pitch				
	1-P	2-P	4-P	6-P	8-P
8	32	26	20	20	
10	52	52	40	36	
12	81	76	68	68	60
13 $\frac{1}{4}$	97	90	82	76	70
15 $\frac{1}{4}$	137	124	116	108	108
17 $\frac{1}{4}$	177	166	158	150	142
19 $\frac{1}{4}$	224	220	204	192	188
21 $\frac{1}{4}$	277	270	246	240	234
23 $\frac{1}{4}$	341	324	308	302	292
25	413	394	370	356	346
27	481	460	432	420	408
29	553	526	480	468	456
31	657	640	600	580	560
33	749	718	688	676	648
35	845	824	780	766	748
37	934	914	886	866	838
39	1049	1024	982	968	948

Shell ID, in.	1-in.-OD tubes on $1\frac{1}{4}$ -in. square pitch				
	1-P	2-P	4-P	6-P	8-P
8	21	16	14		
10	32	32	26	24	
12	48	45	40	38	36
13 $\frac{1}{4}$	61	56	52	48	44
15 $\frac{1}{4}$	81	76	68	68	64
17 $\frac{1}{4}$	112	112	96	90	82
19 $\frac{1}{4}$	138	132	128	122	116
21 $\frac{1}{4}$	177	166	158	152	148
23 $\frac{1}{4}$	213	208	192	184	184
25	260	252	238	226	222
27	300	288	278	268	260
29	341	326	300	294	286
31	406	398	380	368	358
33	465	460	432	420	414
35	522	518	488	484	472
37	596	574	562	544	532
39	665	644	624	612	600

Shell ID, in.	$\frac{3}{4}$ -in.-OD tubes on $\frac{15}{16}$ -in. triangular pitch				
	1-P	2-P	4-P	6-P	8-P
8	36	32	26	24	18
10	62	56	47	42	36
12	109	98	86	82	78
13 $\frac{1}{4}$	127	114	96	90	86
15 $\frac{1}{4}$	170	160	140	136	128
17 $\frac{1}{4}$	239	224	194	188	178

Table 11.2 Physical dimensions of condenser tubes in terms of BWG. (Reprinted from Process Heat Transfer by D. Q. Kern, McGraw-Hill Book Co., 1950, p. 843, with permission from the publisher.)

Tube OD in in. (cm)	BWG	ID in .in. (cm)
$\frac{1}{2}$ (1.27)	12	0.282 (0.716)
	14	0.334 (0.848)
	16	0.374 (0.940)
	18	0.402 (1.02)
	20	0.435 (1.09)
$\frac{3}{4}$ (1.91)	10	0.482 (1.22)
	11	0.510 (1.29)
	12	0.532 (1.35)
	13	0.560 (1.42)
	14	0.584 (1.48)
	15	0.606 (1.54)
	16	0.620 (1.57)
	17	0.634 (1.61)
1 (2.54)	18	0.652 (1.66)
	8	0.670 (1.70)
	9	0.704 (1.79)
	10	0.732 (1.86)
	11	0.760 (1.93)
	12	0.782 (1.99)
	13	0.810 (2.06)
	14	0.834 (2.12)
	15	0.856 (2.17)
	16	0.870 (2.21)
17	17	0.884 (2.25)
	18	0.902 (2.29)

(a) Square

(b) Square rotated

(c) Triangular

Figure 11.6 Possible condenser-tube orientations.

TABLE F.1 DIMENSIONS OF WROUGHT-STEEL AND WROUGHT-IRON PIPE

A.31

Pipe and Tubing Tables

Table F.1 Dimensions of wrought-steel and wrought-iron pipe*

Pipe size	Outside diameter		Schedule	Internal diameter		Flow area	
	in.	cm		ft	cm	ft ²	cm ²
$\frac{1}{8}$	0.405	1.029	40 (STD)	0.02242	0.683	0.0003947	0.3664
			80 (XS)	0.01792	0.547	0.0002522	0.2350
$\frac{1}{4}$	0.540	1.372	40 (STD)	0.03033	0.924	0.0007227	0.6706
			80 (XS)	0.02517	0.768	0.0004974	0.4632
$\frac{3}{8}$	0.675	1.714	40 (STD)	0.04108	1.252	0.001326	1.233
			80 (XS)	0.03525	1.074	0.0009759	0.9059
$\frac{1}{2}$	0.840	2.134	40 (STD)	0.05183	1.580	0.002110	1.961
			80 (XS)	0.04550	1.386	0.001626	1.508
			160	0.03867	1.178	0.001174	1.090
			(XXS)	0.02100	0.640	0.0003464	3.217
$\frac{3}{4}$	1.050	2.667	40 (STD)	0.06867	2.093	0.003703	3.441
			80 (XS)	0.06183	1.883	0.003003	2.785
			160	0.05100	1.555	0.002043	1.898
			(XXS)	0.03617	1.103	0.001027	9.555
1	1.315	3.340	40 (STD)	0.08742	2.664	0.006002	5.574
			80 (XS)	0.07975	2.430	0.004995	5.083
			160	0.06792	2.070	0.003623	3.365
			(XXS)	0.04992	1.522	0.001957	1.815
$1\frac{1}{4}$	1.660	4.216	40 (STD)	0.1150	3.504	0.01039	9.643
			80 (XS)	0.1065	3.246	0.008908	8.275
			160	0.09667	2.946	0.007339	6.816
			(XXS)	0.7467	2.276	0.004379	4.069
$1\frac{1}{2}$	1.900	4.826	40 (STD)	0.1342	4.090	0.01414	13.13
			80 (XS)	0.1250	3.810	0.01227	11.40
			160	0.1115	3.398	0.009764	9.068
			(XXS)	0.09167	2.794	0.006600	6.131
2	2.375	6.034	40 (STD)	0.1723	5.252	0.02330	21.66
			80 (XS)	0.1616	4.926	0.02051	19.06
			160	0.1406	4.286	0.01552	14.43
			(XXS)	0.1253	3.820	0.01232	11.46
$2\frac{1}{2}$	2.875	7.303	40 (STD)	0.2058	6.271	0.03325	30.89
			80 (XS)	0.1936	5.901	0.02943	27.35
			160	0.1771	5.397	0.02463	22.88
			(XXS)	0.1476	4.499	0.01711	15.90
3	3.500	8.890	40 (STD)	0.2557	7.792	0.05134	47.69
			80 (XS)	0.2417	7.366	0.04587	42.61
			160	0.2187	6.664	0.03755	34.88
			(XXS)	0.1917	5.842	0.02885	26.80

* Dimensions in English units obtained from ANSI B36.10-1979, American National Standard Wrought Steel and Wrought Iron Pipe, and reprinted with permission from the publisher: American Society of Mechanical Engineers.

Notes: STD implies Standard; XS is extra strong; XXS is double extra strong.

Gas Property Tables

Table D.1 Properties of gases at atmospheric pressure (101.3 kPa = 14.7 psia): Air [Gas constant = 286.8 J/(kg·K) = 53.3 ft·lbf/(lbm·°R)]^{*}

Temp, T K °R	Density, ρ kg/m ³ lbm/ft ³	Specific heat, c _p		Kinematic viscosity, ν		Thermal conductivity, k		Thermal diffusivity, α	
		J kg/K	BTU lbm·°R	m ² /s	ft ² /s	W m/K	BTU hr·ft·°R	m ² /s	ft ² /hr
100	180	3,601	0.225	1,026.6	0.245	1.923 × 10 ⁻⁶	2.070 × 10 ⁻⁵	0.009246	0.005342
150	270	2,368	0.148	1,009.9	0.241	4,343	4,674	0.013735	0.007936
200	360	1,768	0.110	1,006.1	0.240	7,490	8,062	0.01809	0.01045
250	450	1,413	0.0882	1,005.3	0.240	9,49	10.2	0.02277	0.01287
300	540	1,177	0.0735	1,005.7	0.240	15,68	0.02624	0.01516	0.22160
350	630	0,998	0.0623	1,009.0	0.241	20.76	22.35	0.03003	0.01735
400	720	0,883	0.0551	1,014.0	0.242	25.90	27.88	0.03365	0.01944
450	810	0,783	0.0489	1,020.7	0.244	28.86	31.06	0.03707	0.02142
500	900	0,705	0.0440	1,029.5	0.245	37.90	40.80	0.04038	0.02333
550	990	0,642	0.0401	1,039.2	0.248	44.34	47.73	0.04360	0.02519
600	1080	0,589	0.0367	1,055.1	0.252	51.34	55.26	0.04659	0.02692
650	1170	0,543	0.0339	1,063.5	0.254	58.51	62.98	0.04953	0.02862
700	1260	0,503	0.0314	1,075.2	0.257	66.25	71.31	0.05230	0.03022
750	1350	0,471	0.0294	1,085.6	0.259	73.91	79.56	0.05509	0.03183
800	1440	0,441	0.0275	1,097.8	0.262	82.29	88.58	0.05779	0.03339
850	1530	0,415	0.0259	1,109.5	0.265	90.75	97.68	0.06028	0.03483
900	1620	0,393	0.0245	1,121.2	0.268	99.3	107	0.06279	0.03628
950	1710	0,372	0.0232	1,132.1	0.270	108.2	116.5	0.06525	0.03901
1000	1800	0,352	0.0220	1,141.7	0.273	117.8	126.8	0.06752	1.6779
1100	1980	0,320	0.0120	1,160	0.277	138.6	149.2	0.0732	0.0423
1200	2160	0,295	0.0184	1,179	0.282	159.1	171.3	0.0782	0.0452
1300	2340	0,271	0.0169	1,197	0.286	182.1	196.0	0.0837	0.0484
1400	2520	0,252	0.0157	1,214	0.290	205.5	221.2	0.0891	0.0515
1500	2700	0,236	0.0147	1,230	0.294	229.1	246.6	0.0946	0.0547
1600	2880	0,221	0.0138	1,248	0.298	254.5	273.9	0.100	0.0578
1700	3060	0,208	0.0130	1,267	0.303	280.5	301.9	0.105	0.0607
1800	3240	0,197	0.0123	1,287	0.307	308.1	331.6	0.111	0.0641
1900	3420	0,186	0.0115	1,309	0.313	338.5	364.4	0.117	0.0676
2000	3600	0,176	0.0110	1,338	0.320	369.0	397.2	0.124	0.0716
2100	3780	0,168	0.0105	1,372	0.328	399.6	430.1	0.131	0.0757
2200	3960	0,160	0.0100	1,419	0.339	432.6	465.6	0.139	0.0803
2300	4140	0,154	0.0095	1,482	0.354	464.0	499.4	0.149	0.0861
2400	4320	0,146	0.00955	1,574	0.376	504.0	542.5	0.161	0.0930
2500	4500	0,139	0.00868	1,688	0.403	543.5	585.0	0.175	0.101

* Source: Data taken from a number of sources. See references at end of text.

Table C.10 Properties of saturated liquids: Sulfur dioxide SO_2 .*

Temp, T	Specific heat, c_p		Kinematic viscosity, ν		Thermal conductivity, k		Thermal diffusivity, α		Prandtl number, l/K	β	
	°C	°F	Specific gravity	J/kg·K	BTU/lbm·°R	m ² /s	ft ² /s	W/m·K	BTU/hr·ft·°R	m ² /s	ft ² /hr
-50	-58	1,560	1,359.5	0.3247	0.484×10^{-6}	0.521×10^{-5}	0.242	0.140	1.141×10^{-7}	4.42×10^{-3}	4.24
-40	-40	1,536	1,360.7	0.3250	0.424	0.456	0.235	0.136	1,130	4.38	3.74
-30	-22	1,520	1,361.6	0.3252	0.371	0.399	0.230	0.133	1,117	4.33	3.31
-20	-4	1,488	1,362.4	0.3254	0.324	0.349	0.225	0.130	1,107	4.29	2.93
-10	14	1,463	1,362.8	0.3255	0.288	0.310	0.218	0.126	1,097	4.25	2.62
0	32	1,438	1,363.6	0.3257	0.257	0.277	0.211	0.122	1,081	4.19	2.38
10	50	1,412	1,364.5	0.3259	0.232	0.250	0.204	0.118	1,066	4.13	2.18
20	68	1,386	1,365.3	0.3261	0.210	0.226	0.199	0.115	1,050	4.07	2.00
30	86	1,359	1,366.2	0.3263	0.190	0.204	0.192	0.111	1,035	4.01	1.83
40	104	1,329	1,367.4	0.3266	0.173	0.186	0.185	0.107	1,019	3.95	1.70
50	122	1,299	1,368.3	0.3268	0.162	0.174	0.177	0.102	0.999	3.87	1.61

Table C.11 Properties of saturated liquids: Water H_2O .*

Temp, T	Specific heat, c_p		Kinematic viscosity, ν		Thermal conductivity, k		Thermal diffusivity, α		Prandtl number, l/K	β				
	°C	°F	Specific gravity	J/kg·K	BTU/lbm·°R	m ² /s	ft ² /s	W/m·K	BTU/hr·ft·°R	m ² /s	ft ² /hr	Pr _T	I/K	1
0	32	1,002	1,0074	1.788×10^{-6}	1.925×10^{-5}	0.552	0.319	1.308×10^{-7}	5.07×10^{-3}	13.6	7.02	0.18×10^{-3}	0	
20	68	1,000	4181	0.9988	1.006	0.083	0.597	0.345	1,430	5.54	4.34			
40	104	0.994	4178	0.9980	0.658	0.708	0.628	0.363	1,512	5.86				
60	140	0.985	4184	0.9994	0.478	0.514	0.651	0.376	1,554	6.02				
80	176	0.974	4196	1,0023	0.364	0.392	0.668	0.386	1,636	6.34				
100	212	0.960	4216	1,0070	0.294	0.316	0.680	0.393	1,680	6.51				
120	248	0.945	4250	1,0115	0.247	0.266	0.685	0.396	1,708	6.62				
140	284	0.928	4283	1,0223	0.214	0.230	0.684	0.395	1,724	6.68				
160	320	0.909	4342	1,037	0.190	0.204	0.680	0.393	1,729	6.70				
180	356	0.889	4417	1,055	0.173	0.186	0.675	0.390	1,724	6.68				
200	392	0.866	4505	1,076	0.160	0.172	0.665	0.384	1,706	6.61				
220	428	0.842	4610	1,101	0.150	0.161	0.652	0.377	1,680	6.51				
240	464	0.815	4756	1,136	0.143	0.154	0.635	0.367	1,639	6.35				
260	500	0.785	4949	1,182	0.137	0.148	0.611	0.353	1,577	6.11				
280	537	0.752	5208	1,244	0.135	0.145	0.580	0.335	1,481	5.74				
300	572	0.714	5728	1,368	0.135	0.145	0.540	0.312	1,324	5.13				

TABLE 5. THERMAL CONDUCTIVITIES OF GASES AND VAPORS.^a—(Continued)

Substance	$\alpha^{\circ}\text{F}$	κ	Substance	$\alpha^{\circ}\text{F}$	κ
Hydrogen and nitrogen.....	25	0.0153	Nitric oxide.....	-94	0.0103
0% H ₂	25	0.0112	Nitrogen.....	33	0.0138
20%	25	0.0112		-145	0.0006
40%	25	0.0112		83	0.0140
60%	25	0.0112		132	0.0100
80%	25	0.0112		212	0.0070
Hydrogen and nitrous oxide.....	25	0.0048	Nitrous oxide.....	-98	0.0076
0% H ₂	25	0.0035		83	0.0067
20%	25	0.0032		212	0.0128
40%	25	0.0032		-148	0.0065
60%	25	0.0032		-53	0.0110
80%	25	0.0032		33	0.0143
Hydrogen sulphide.....	25	0.0076		132	0.0164
Mercury.....	300	0.0197		212	0.0186
Methane.....	-140	0.0100			
	-80	0.0145	Propane (C_3H_8).....	33	0.0074
	25	0.0175		83	0.0053
	125	0.0215	(C_3H_8).....	33	0.0073
Methyl alcohol.....	25	0.0033		212	0.0137
	212	0.0122	Propane.....	33	0.0067
	25	0.0036		212	0.0161
	60	0.0036	Sulphur dioxide.....	33	0.0080
	80	0.0033		212	0.0090
Methyl chloride.....	115	0.0072			
	212	0.0094	Water vapor.....	115	0.0120
	252	0.0120		212	0.0157
	412	0.0145		302	0.0197
	25	0.0036		572	0.0248
Methylene chloride.....	115	0.0040		732	0.0315
	212	0.0058		932	0.0464
	412	0.0095			

^a From Perry, J. H., "Chemical Engineers' Handbook," 3d ed., McGraw-Hill Book Company, Inc., New York, 1950.

FIG. 1. THERMAL CONDUCTIVITIES OF HYDROCARBON LIQUIDS. (Adapted from Natl. Bur. Standards Misc. Pub. 97.)

Temperature, °F

100

200

300

400

500

600

700

800

900

1000

1100

1200

1300

1400

1500

1600

1700

1800

1900

2000

2100

2200

2300

2400

Fig. 2. Specific heats of liquids. (Chilton, Colburn, and Perry, based mainly on data from International Critical Tables. Perry, "Chemical Engineers' Handbook," 3d ed., McGraw-Hill Book Company, Inc., New York, 1950.)



Fig. 3. Specific heats of gases at 1 atm. (Perry, "Chemical Engineers' Handbook," 2d ed., McGraw-Hill Book Company, Inc., New York, 1950.)

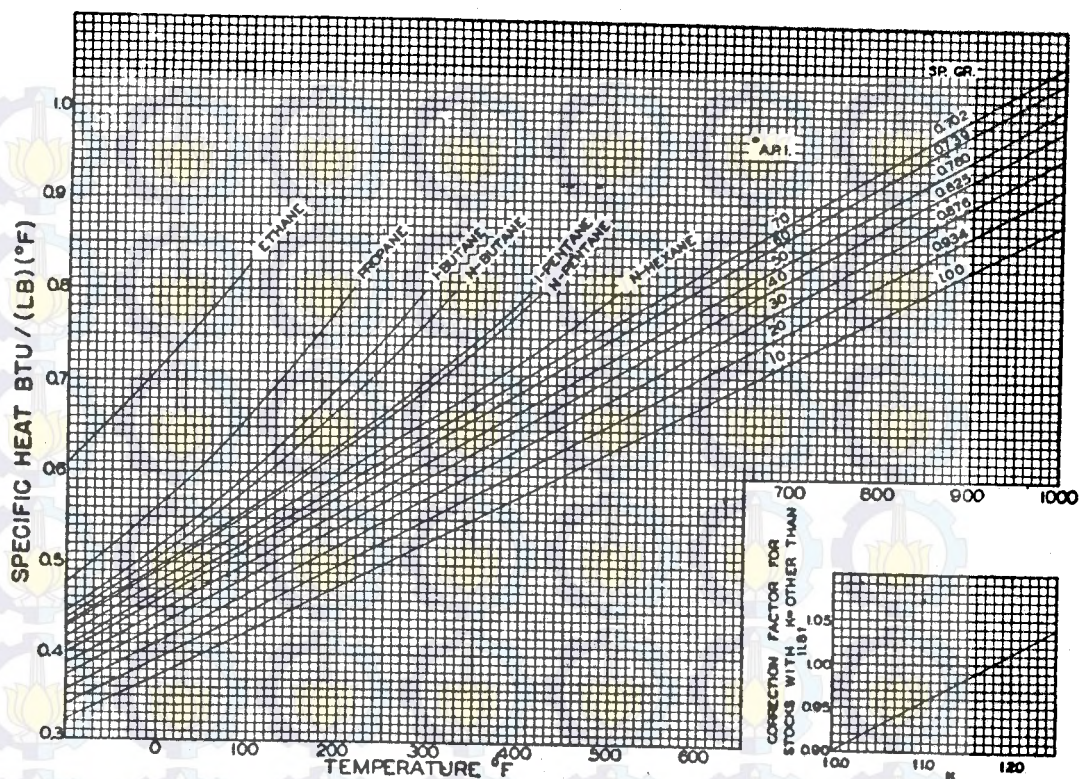


Fig. 4. Specific heats of hydrocarbon liquids. [Holcomb and Brown, *Ind. Eng. Chem.*, 34, 595 (1942).]
† K = characterisation factor.

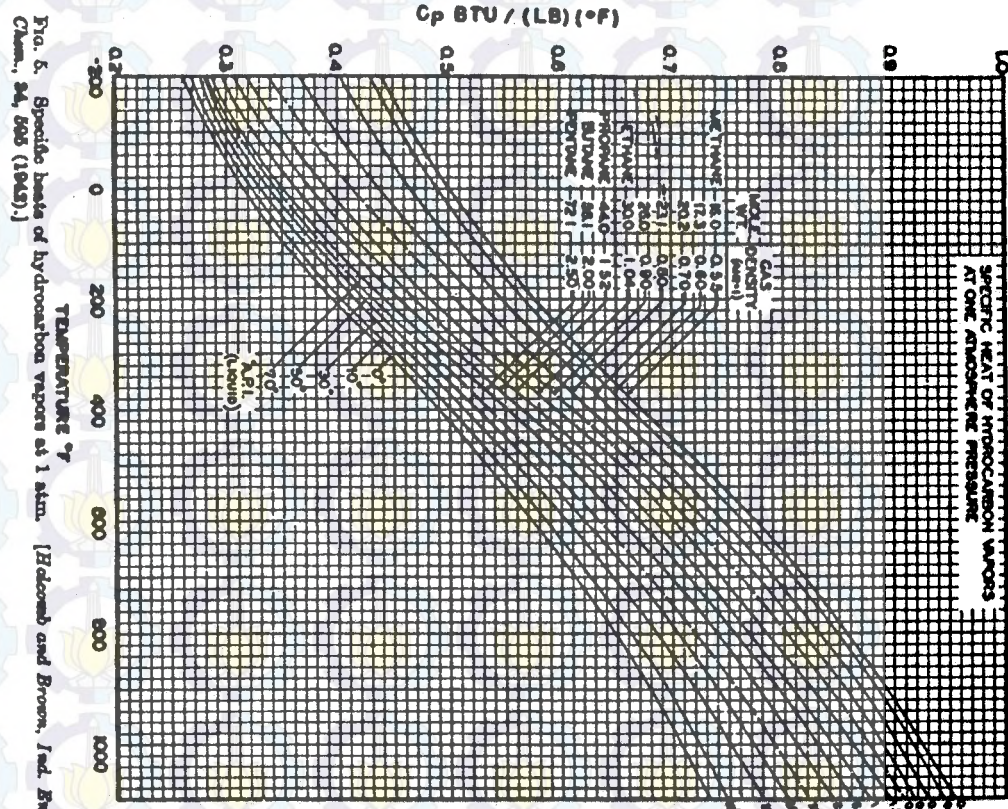


Fig. 5. Specific heats of hydrocarbon vapors at 1 atm. [Holcomb and Brown, *Ind. Eng. Chem.*, 34, 595 (1942).]

TABLE 6. SPECIFIC GRAVITIES AND MOLECULAR WEIGHTS OF LIQUIDS

Compound	Mol. wt.	ρ^a	Compound	Mol. wt.	ρ^a
Acetaldehyde	44.1	0.78	Ethyl iodide	144.9	1.63
Acetic acid, 100 %	60.1	1.05	Ethyl glycol	135.9	1.04
Acetic acid, 70 %	60.1	1.07	Formic acid	46.0	1.22
Acetic anhydride	102.1	1.08	Glycerol, 100 %	92.1	1.26
Acetone	58.1	0.79	Glycerol, 50 %	100.3	1.18
Allyl alcohol	58.1	0.86	n-Hexane	86.1	0.98
Ammonia, 100 %	17.0	0.61	Isopropyl alcohol	60.1	0.96
Ammonia, 20 %	0.91	Mercury	200.6	13.55
Amyl acetate	130.2	0.88	Methanol, 100 %	32.5	0.79
Amyl alcohol	86.2	0.81	Methanol, 90 %	30.5	0.82
Aniline	93.1	1.02	Methanol, 40 %	74.9	0.93
Anisole	108.1	0.99	Methyl acetate	80.5	0.92
Aromatic trichloride	181.3	2.16	Methyl chloride	72.1	0.81
Benzene	78.1	0.88	Methyl ethyl ketone	128.1	1.14
Brine, NaCl 25 %	1.23	Naphthalene	128.1	1.00
Bromoethane, ortho	171.0	1.42	Nitric acid, 95 %	1.38
Bromobutene, meta	171.0	1.41	Nitro acid, 60 %	123.1	1.20
Bromotoluene, para	171.0	1.39	Nitrobenzene	137.1	1.18
i-Butane	58.1	0.80	Nitrobutane, ortho	137.1	1.18
Carbon dioxide	44.0	0.90	Nitrobutane, meta	137.1	1.18
Butyl acetate	116.2	0.88	Nitrobutane, para	137.1	1.18
n-Butyl alcohol	74.1	0.81	n-Octane	114.2	0.70
i-Butyl alcohol	74.1	0.82	Oetyl alcohol	130.2	0.82
n-Butyric acid	88.1	0.90	Pentachloroethane	202.3	1.67
i-Butyric acid	88.1	0.96	n-Pentane	72.1	0.63
Carbon disulfide	76.1	1.29	Phenol	94.1	1.07
Carbon tetrachloride	153.8	1.60	Phosphorus tribromide	270.8	2.85
Chlorobenzene	112.6	1.11	Phosphorus trichloride	137.4	1.57
Chloroform	119.4	1.49	Propane	44.1	0.59
Chloroformic acid	116.5	1.77	Propionic acid	74.1	0.99
Chloroform, ortho	136.6	1.06	n-Propyl alcohol	60.1	0.80
Chlorotoluene, meta	126.6	1.07	n-Propyl bromide	128.0	1.35
Chlorotoluene, para	126.6	1.07	n-Propyl chloride	78.5	0.89
Cresol, meta	108.1	1.03	n-Propyl iodide	170.0	1.75
Cyclohexane	100.2	0.96	Sodium	23.0	0.97
Dibromo methane	187.9	2.03	Sodium hydroxide, 50 %	1.53
Dibromo ethane	187.9	2.17	Sebacic chloride	300.5	2.23
Dichloro methane	88.9	1.34	Sulfur dioxide	64.1	1.38
Diethyl oxalate	146.1	1.08	Sulfuric acid, 100 %	98.1	1.88
Dimethyl oxalate	118.1	1.42	Sulfuric acid, 98 %	1.84	1.80
Diphenyl	154.2	0.99	Sulfuryl chloride	181.4	1.46
Dipropyl oxalate	174.1	1.02	Tetra chloroethane	135.0	1.67
Ethyl acetate	88.1	0.90	Tetra chloroethylene	167.9	1.60
Ethyl alcohol, 100 %	46.1	0.70	Titanium tetrachloride	165.9	1.63
Ethyl alcohol, 95 %	0.81	Toluene	180.7	1.73
Ethyl alcohol, 40 %	0.94	Trichloromethane	92.1	0.87
Ethyl benzene	106.1	0.87	Vinyl acetate	85.1	0.98
Ethyl bromide	106.9	1.43	Water	18.0	1.0
Ethyl chloride	64.5	0.92	Xylene, ortho	106.1	0.87
Ethyl ether	74.1	0.71	Xylene, meta	106.1	0.96
Ethyl formate	74.1	0.92	Xylene, para	106.1	0.86

* At approximately 65°F. These values will be satisfactory, without extrapolation, for most engineering problems.

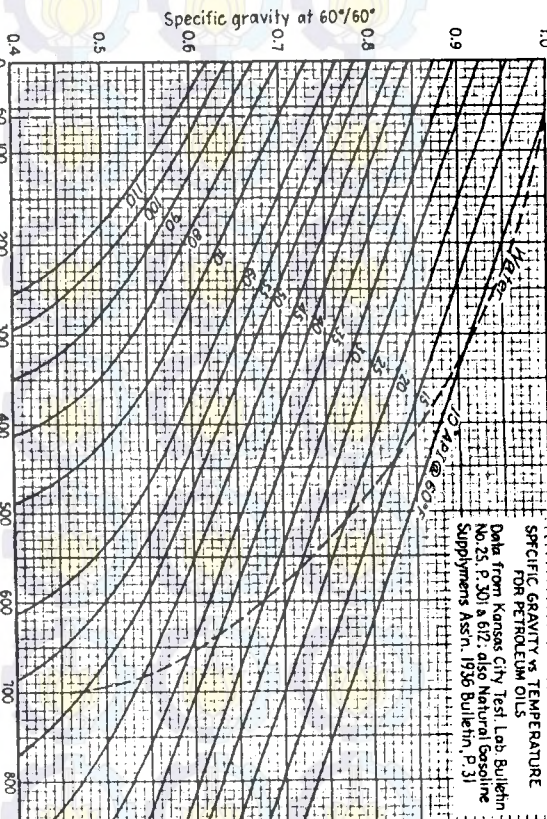


FIG. 6. SPECIFIC GRAVITIES OF HYDROCARBONS.

FIG. 8. Vapor pressures of hydrocarbons.

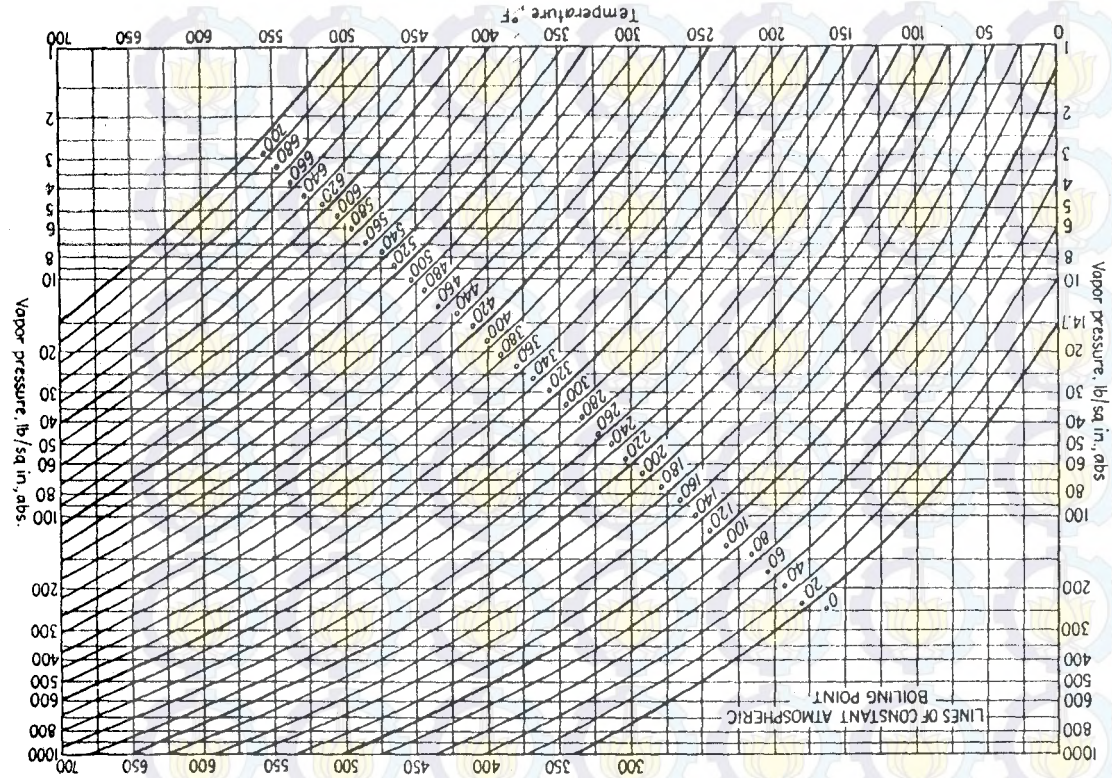
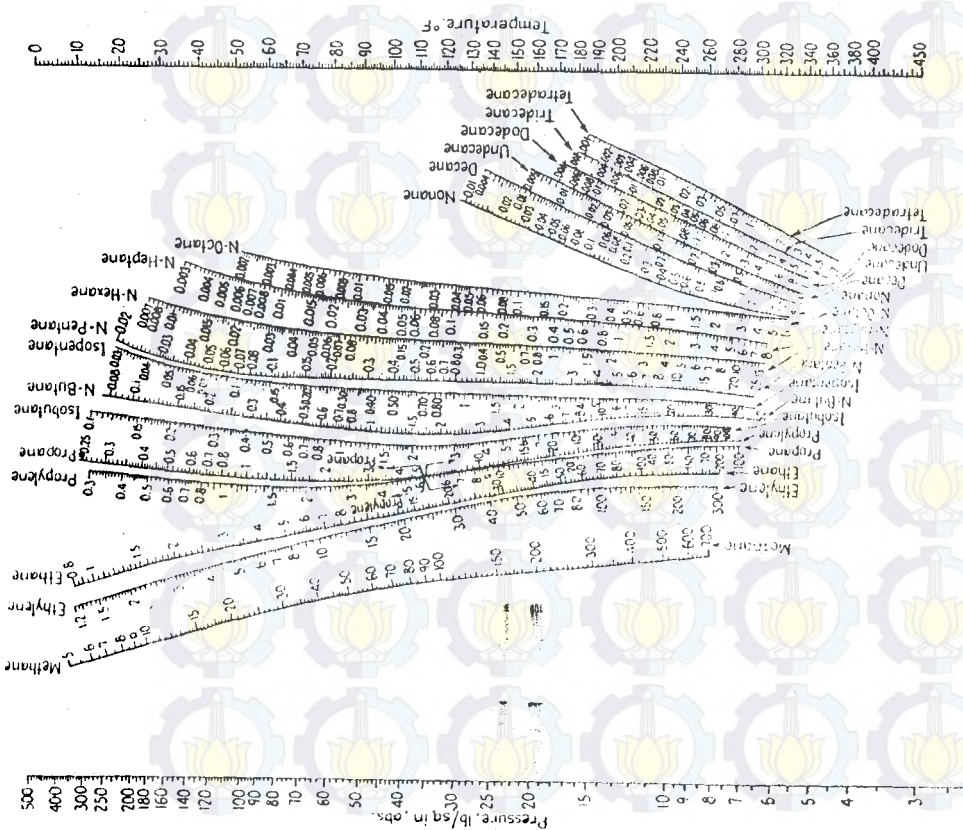


Fig. 7. Equilibrium constants for hydrocarbons. [Scheidt and Jenny, *Ind. Eng. Chem.*, 37, 81 (1945).]



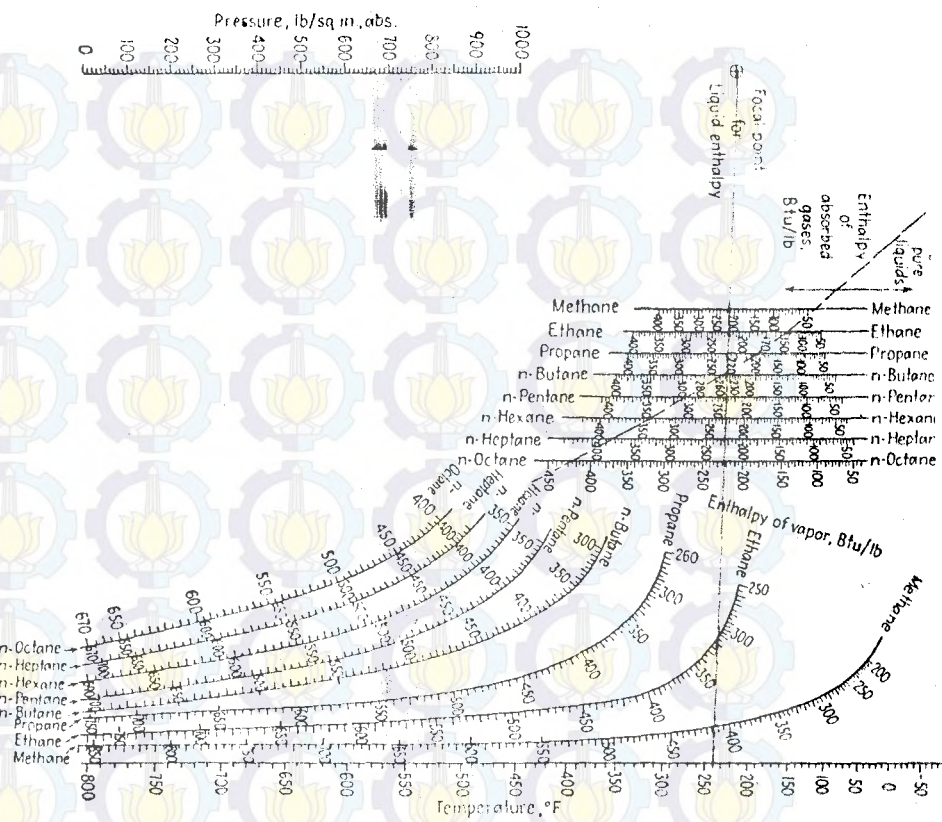


Fig. 9. Enthalpies of pure hydrocarbons. [Scheibel and Jenny, *Ind. Eng. Chem.*, **37**, 992 (1945).]

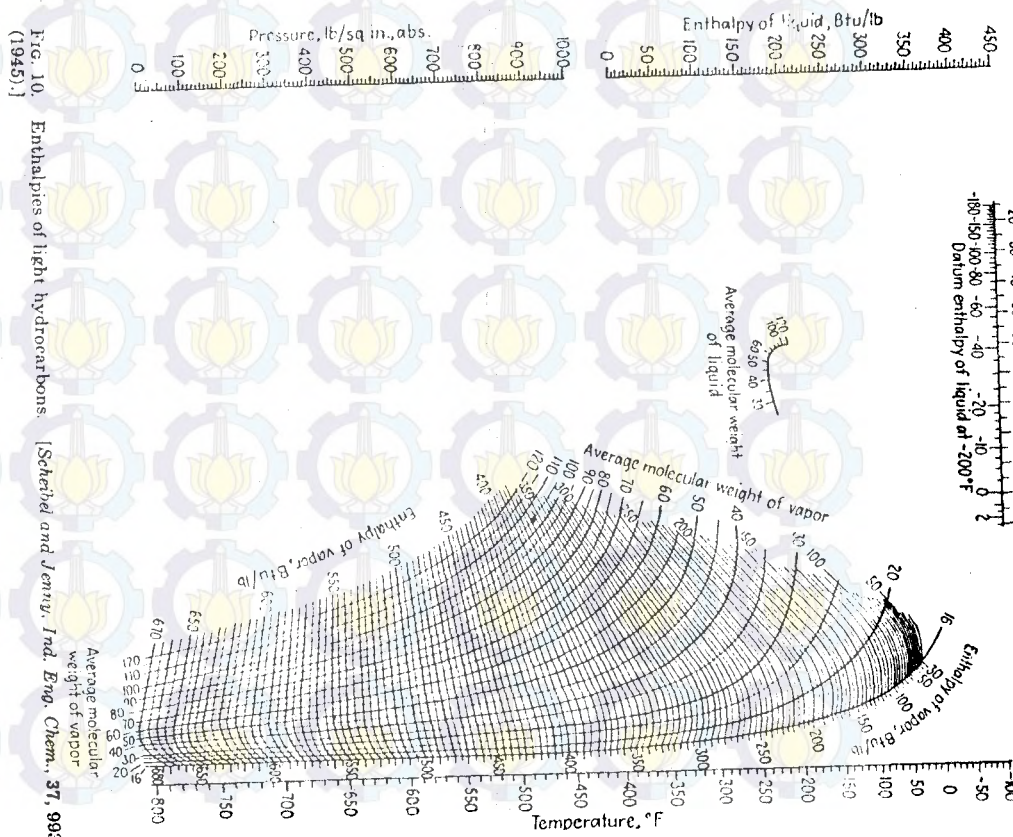


Fig. 10. Enthalpies of light hydrocarbons. [Scheibel and Jenny, *Ind. Eng. Chem.*, **37**, 993 (1945).]

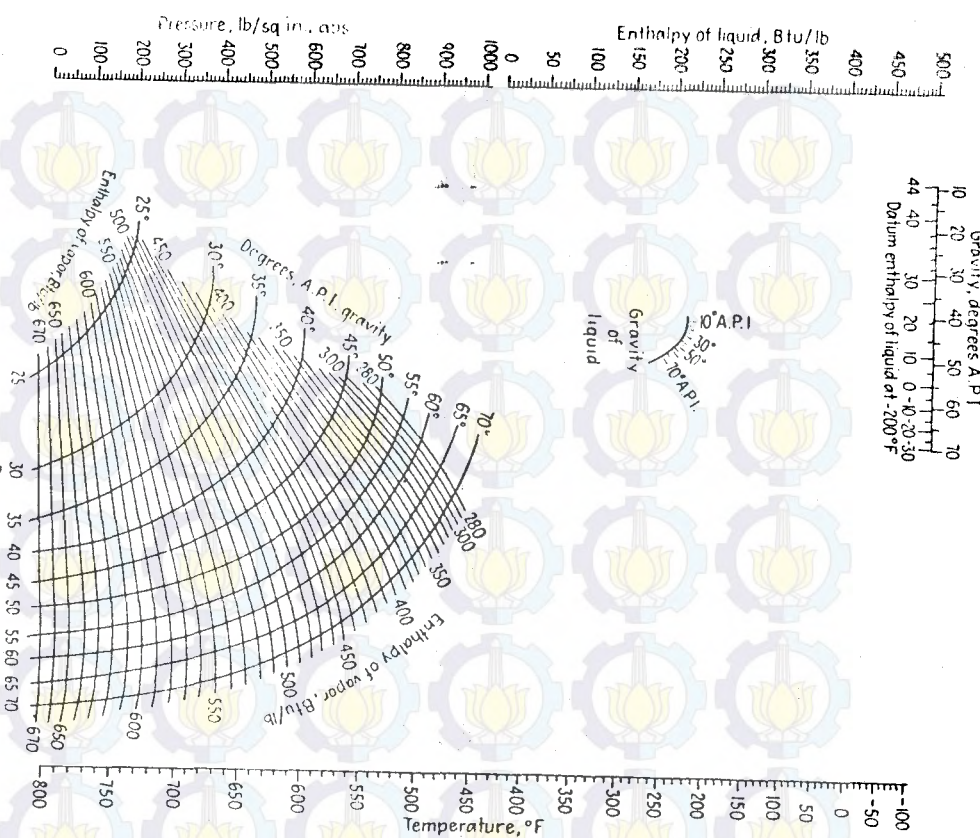


Fig. 11. Enthalpies of petroleum fractions.

[Scheibel and Jenny, Ind. Eng. Chem., 37,

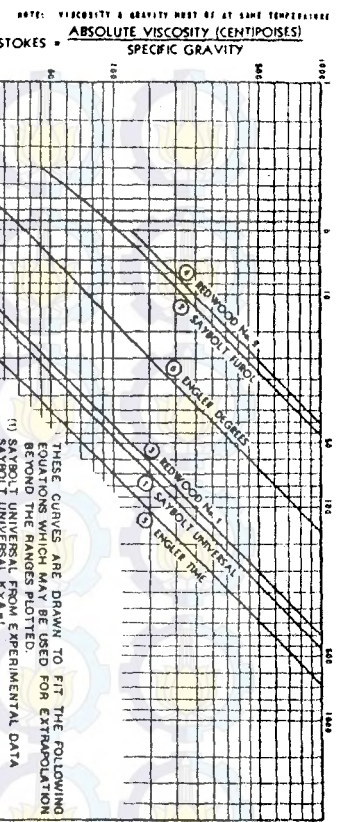
994 (1945).]

	t_c , °F	t_f , °F	X	Y	Z
Acetic acid	60.9	22.3	3.2	11.9	20
Acetone	45.5	26.4	2.0	3.8	20
Ammonia	27.2	15.1	1.9	9.7	20
Amyl alcohol (-isot)	58.6	39.7	5.7	6.0	9.4
Benzene	55.2	32.0	5.7	6.6	12.5
Benzene (-n)	50.7	32.0	5.7	6.6	11.9
Butane (-n)	27.5	15.7	3.4	4.6	12.1
Butyl alcohol (-m)	54.8	33.7	5.9	6.0	9.8
Butyl alcohol (-iso)	50.8	30.7	5.9	6.8	8.7
Buryl alcohol (-sec)	45.5	30.7	3.9	9.5	40
Carbon dioxide	9.1	50.2	21.2	3.3	11.1
Carbon tetrachloride	54.2	28.4	5.7	15.3	15.7
Chloroform	50.1	21.9	5.7	17.3	15.5
Dichloroethene (-c-as)	46.9	32.5	5.6	8.4	13.3
Dimethylamine	32.9	26.4	3.9	4.2	13.3
Diphenyl	9.2	50.1	1.6	1.9	50
Diphenyl oxide	95.2	17.6	6.2	13.5	80
Ethane	64.3	93.2	6.2	14.5	80
Ethyl alcohol	89.5	50.2	6.0	9.8	100
Ethyl amine	47.0	28.5	3.1	7.0	15
Ethyl chloride	36.6	26.6	4.7	6.3	14
Ethylene	36.2	44.4	4.1	12.2	13
Ethyl ether	50.5	50.2	3.0	9.3	12
Ethyl fluoride	17.7	23.6	4.0	9.6	17
Freon 11 (CCl ₂ F)	38.2	59.7	3.1	12.7	11
Freon 113 (CCl ₂ CF ₃)	18.8	158.8	3.6	17.3	Y
Freon 12 (CCl ₂ F ₂)	23.2	140.3	3.9	17.3	9
Freon 122 (CCl ₂ ClF ₂)	35.2	176.4	3.3	15.4	20
Freon 13 (CCl ₂ CClF ₂)	20.5	177.2	4.0	15.1	8
Freon 134 (CCl ₂ CCl ₂ F ₂)	47.7	142.8	3.5	18.7	7
Freon 14 (CCl ₂ CCl ₂ F ₂)	29.3	113.3	3.9	18.7	7
Freon 141b (CCl ₂ CCl ₂ F ₂)	51.2	80.5	1.7	13.5	6
Heptane (-n)	45.6	111.4	3.4	13.2	5
Heptane (-m)	-11.6	50.1	5.2	8.3	5
Methane	46.6	68.1	3.5	5.3	4
Methyl alcohol	28.5	46.6	2.6	4.7	4
Methyl amine	31.5	21.7	3.9	6.5	3
Methyl chloride	28.9	61.3	2.6	11.1	400
Methyl formate	2.5	23.0	5.2	11.2	2
Methylene chloride	41.7	30.2	4.8	11.3	1
Nitrous oxide	42.1	43.0	4.2	1.0	0
Octane (-n)	56.5	61.7	5.6	12.3	0
Pentane (-n)	38.6	59.4	3.3	12.7	600
Pentane (-iso)	37.0	50.3	3.2	12.7	700
Propane	20.5	59.4	3.2	12.7	800
Propyl alcohol (-n)	50.7	77.5	4.3	11.0	900
Propyl alcohol (-iso)	45.6	107.4	3.5	8.3	1000
Prydaine	65.2	66.1	2.3	12.5	1100
Sulfur dioxide	31.4	21.0	1.2	3.5	1200
Toluene	61.1	212.5	1.5	13.7	1300
Trichloroethylene	52.0	355.3	6.0	15.9	1400
Water	10.7	50.7	3.3	1.4	1500
"	275.7	715.4	4.2	0.9	1600

Example:-For water at 212°F, $t_c - t_f = 707 - 212 = 495$ and the

Fig. 12. Latent heats of vaporisation. [Reproduced by permission of Chilton, Coburn, and Vernon, personal communication (revised) 1947.]

Viscosities of Petroleum Fractions
For temperature ranges employed in the text
Coordinates to be used with Fig. 14



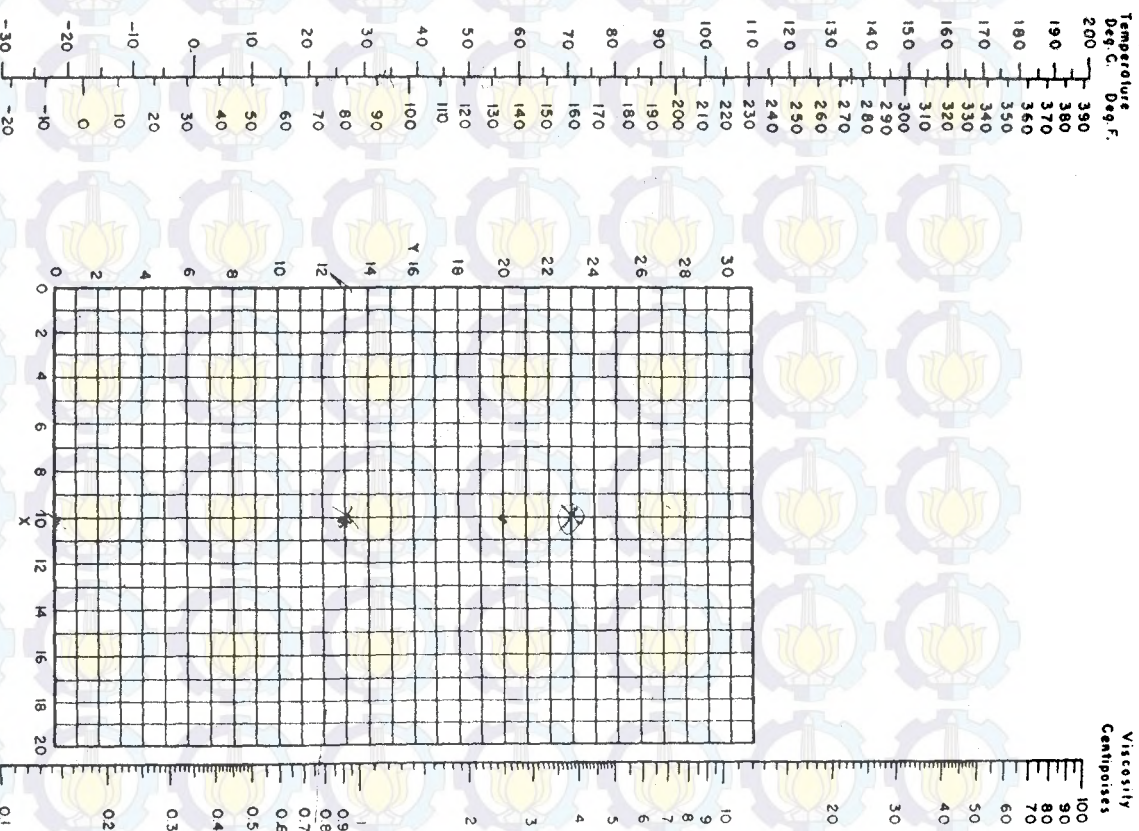
Viscosities of Liquids*

Coordinates to be used with Fig. 14

Liquid	X	Y	Liquid	X	Y
Acetaldehyde	15.2	4.8	Freon-21	15.7	7.5
Acetic acid, 100%	12.1	14.2	Freon-22	17.2	4.7
Acetic acid, 70%	9.5	17.0	Freon-113	12.5	11.4
Acetic anhydride	12.7	12.8	Freon-114	14.2	6.8
Acetone, 100%	14.5	7.2	Glycerol, 100%	2.0	30.0
Allyl alcohol	7.9	15.0	Glycerol, 50%	6	9.196
Ammonia, 100%	10.2	14.3	Heptane	14.1	8.4
Ammonia, 26%	12.6	2.0	Hexane	14.7	7.0
Amyl acetate	10.1	13.9	Hydrochloric acid, 31.5%	13.0	16.6
Amyl alcohol	11.8	12.5	Isobutyric acid	7	11.180
Aniline	7.5	18.4	Isobutyl alcohol	12	21.44
Anisole	8.1	18.7	Isopropyl alcohol	8	21.60
Benzene	12.3	13.5	Mercury	18	416.4
Brine, NaCl, 25%	13.9	14.5	Methanol, 100%	12.4	10.5
Bromine	12.5	10.9	Methanol, 90%	12.3	11.8
Bromotoluene	15.0	10.9	Methanol, 90%	7	8.155
r-Butane	15.3	3.3	Methyl acetate	14.2	8.2
Carbon tetrachloride	14.5	3.7	Methyl chloride	15.0	3.8
Chlorobenzene	12.3	11.0	Methyl ethyl ketone	13.9	8.6
Chloroform	11.2	18.1	Naphthalene	7	9.181
Chlorosulfonic acid	13.0	13.3	Nitric acid, 95%	12.8	13.8
Chlorotoluene, ortho	13.3	12.5	Nitric acid, 60%	10	8.170
Chlorotoluene, para	12.0	18.3	Nitrobenzene	10	6.162
Cresol, meta	12.1	15.3	Nitrotoluene	11	3.170
Cyclohexanol	2.9	24.3	Octane	13	710.0
Dibromoethane	12.7	15.8	Octyl alcohol	6	6.211
Dichlorethane	13.2	12.2	Pentane	10	9.173
Dichloromethane	14.2	12.3	Phenol	14.9	5.2
Diethyl oxalate	14.4	10.2	Propyl alcohol	6	9.208
Diphenyl	12.3	15.8	Propyl bromide	13.8	16.7
Dipropyl oxide	10.3	17.7	Sulfuric acid, 110%	16	210.9
Ethyl acetate	13.7	9.1	Sulfuric acid, 98%	15	3.10
Ethyl alcohol, 100%	10.5	13.8	Sulfuric acid, 60%	12	813.8
Ethyl alcohol, 95%	9.8	14.3	Sulfuryl chloride	9	116.5
Ethyl alcohol, 40%	6.5	16.6	Sulfuryl fluoride	30	90
Ethyl benzene	13.2	11.5	Tetrachloroethylene	20	70
Ethyl bromide	14.5	8.1	Titanium tetrachloride	14	111.6
Ethyl chloride	14.8	6.0	Toluene	16	413.9
Ethyl ether	14.5	5.3	Trichloroethylene	3	225.8
Ethyl formate	14.2	8.4	Vinyl acetate	10	50
Ethyl iodide	14.7	10.3	Water	8	40
Ethylene glycol	6.0	23.6	Xylene, ortho	0	0
Formic acid	10.7	15.8	Xylene, meta	13	512.1
Freon-11	14.4	9.0	Xylene, para	13	910.6
Freon-12	16.8	5.6		13	910.9

* From Perry, J. H., "Chemical Engineers' Handbook," 3d ed., McGraw-Hill Book Company, Inc., New York, 1950.

New York, 1950.



VISCOSITIES OF GASES*

Temperature
Deg.C. Deg.F.

Viscosity
Centipoises

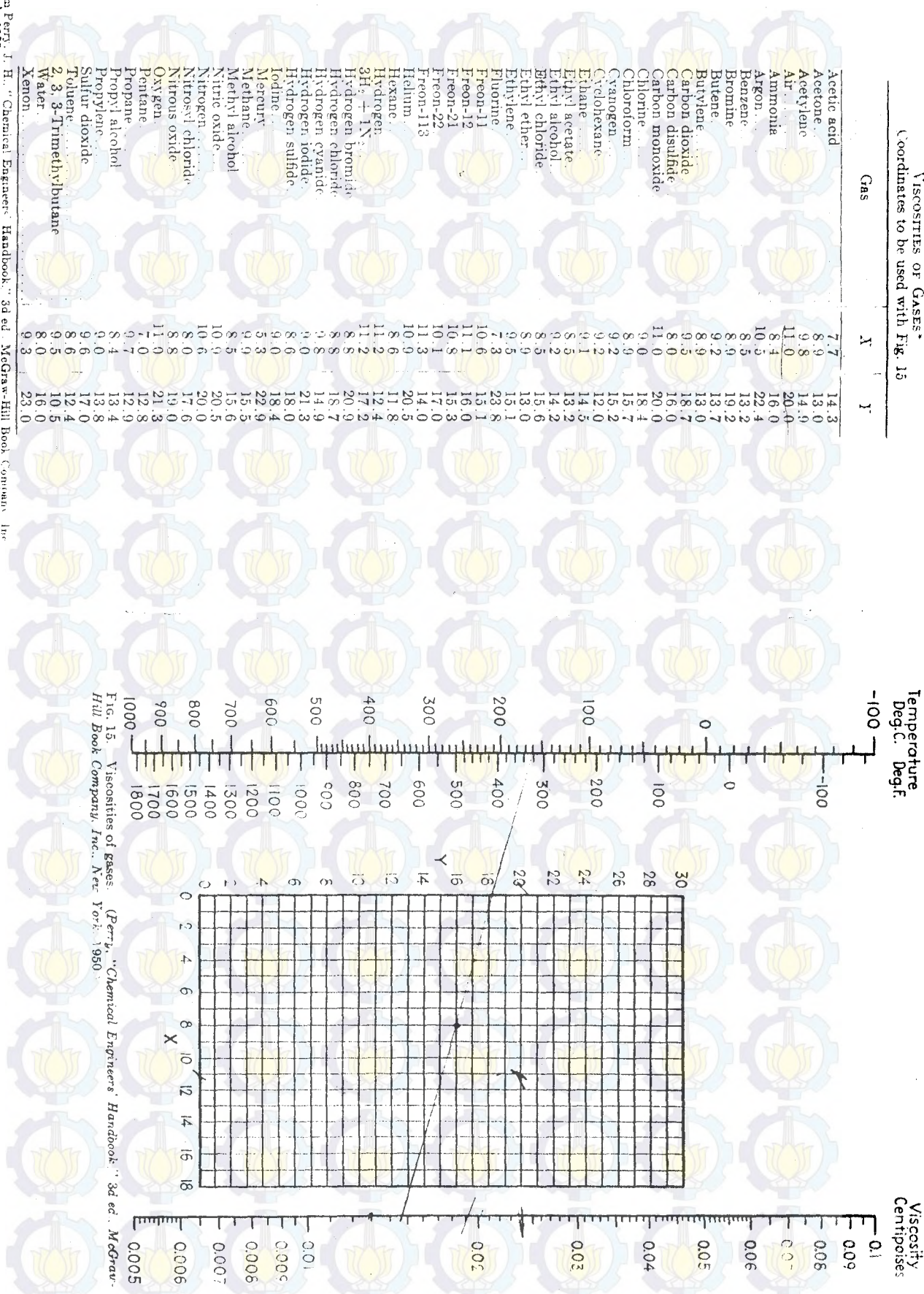


FIG. 15. Viscosities of gases. (Perry, "Chemical Engineers' Handbook," 3d ed., McGraw-Hill Book Company, Inc., New York, 1950.)

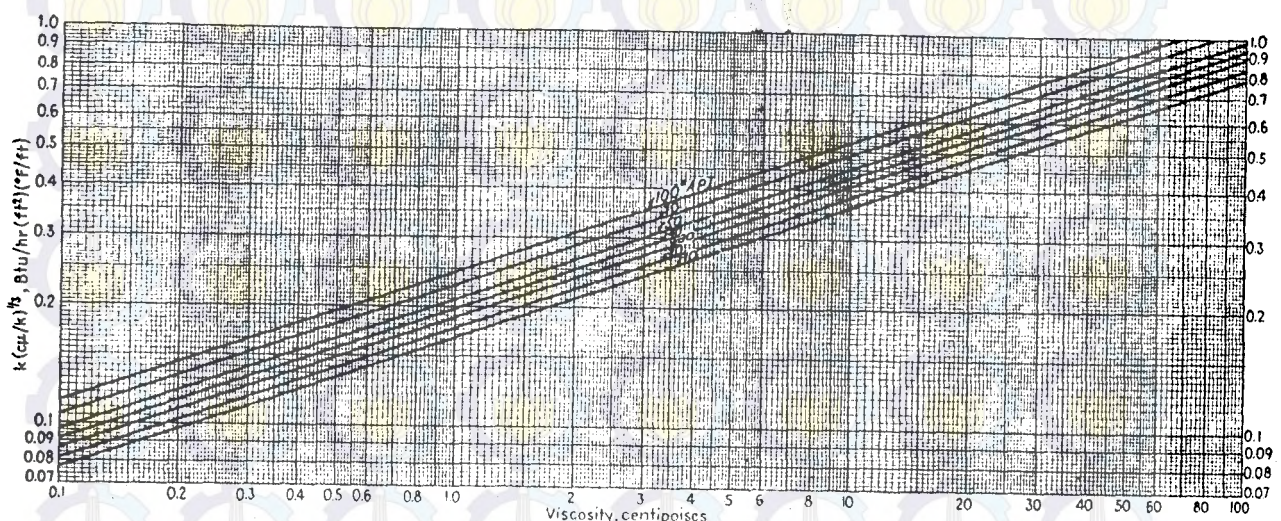


FIG. 16. Values of $k(\mu/k)^{1/4}$ for hydrocarbons.

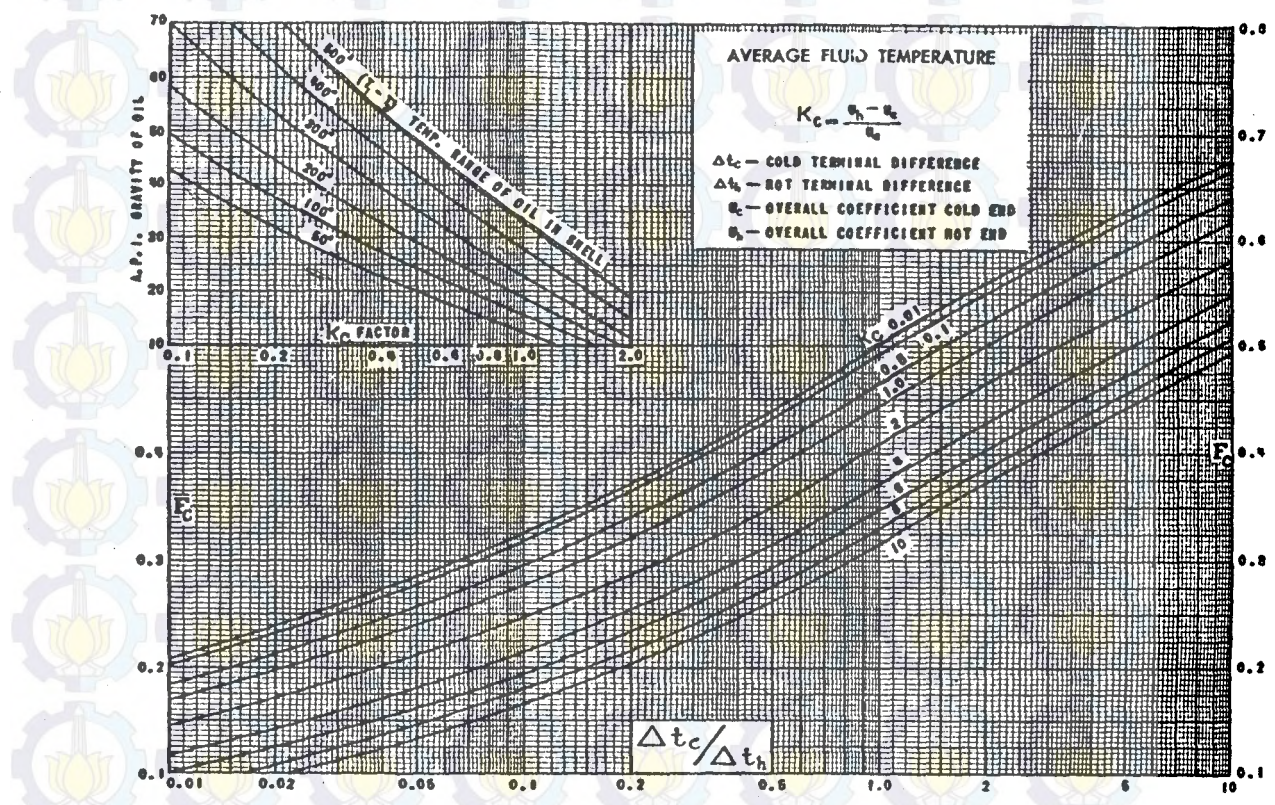


FIG. 17. The caloric temperature factor F_c . (Standards of Tubular Exchanger Manufacturers Association, 2d ed., New York, 1949.)

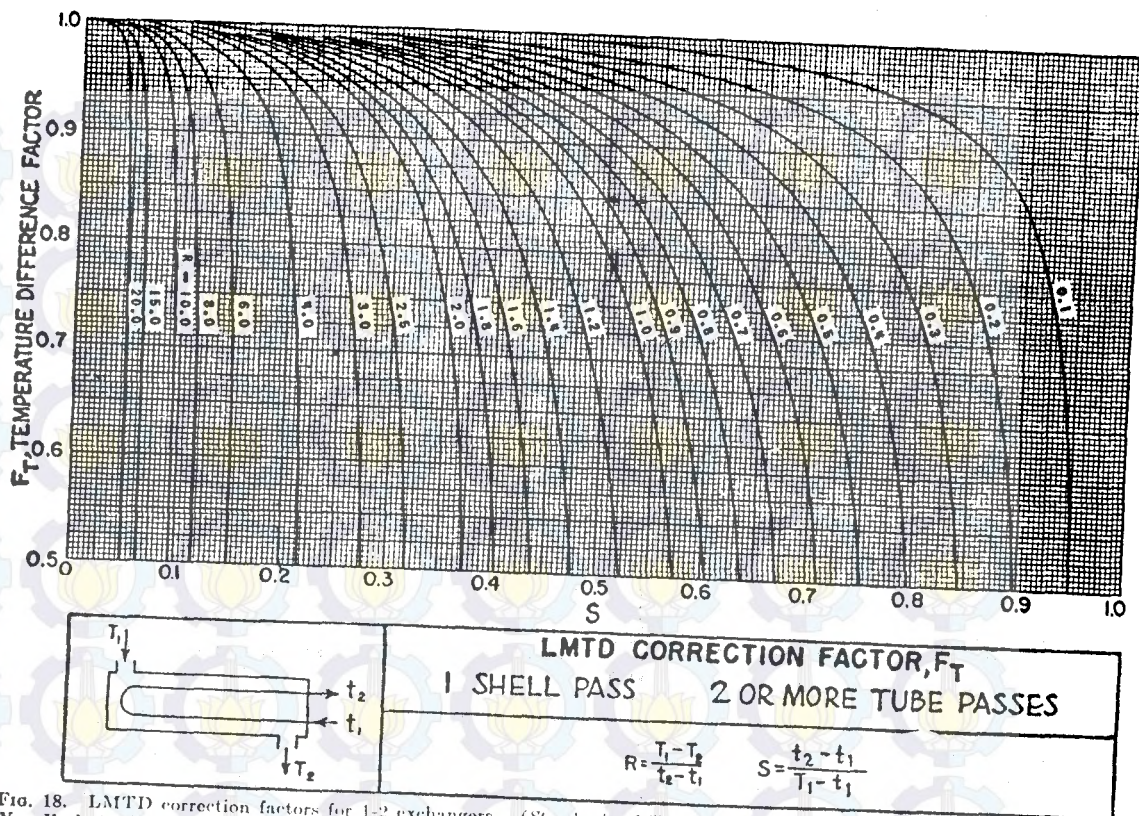


FIG. 18. LMTD correction factors for 1-2 exchangers. (Standards of Tubular Exchanger Manufacturers Association, 2d ed., New York, 1949.)

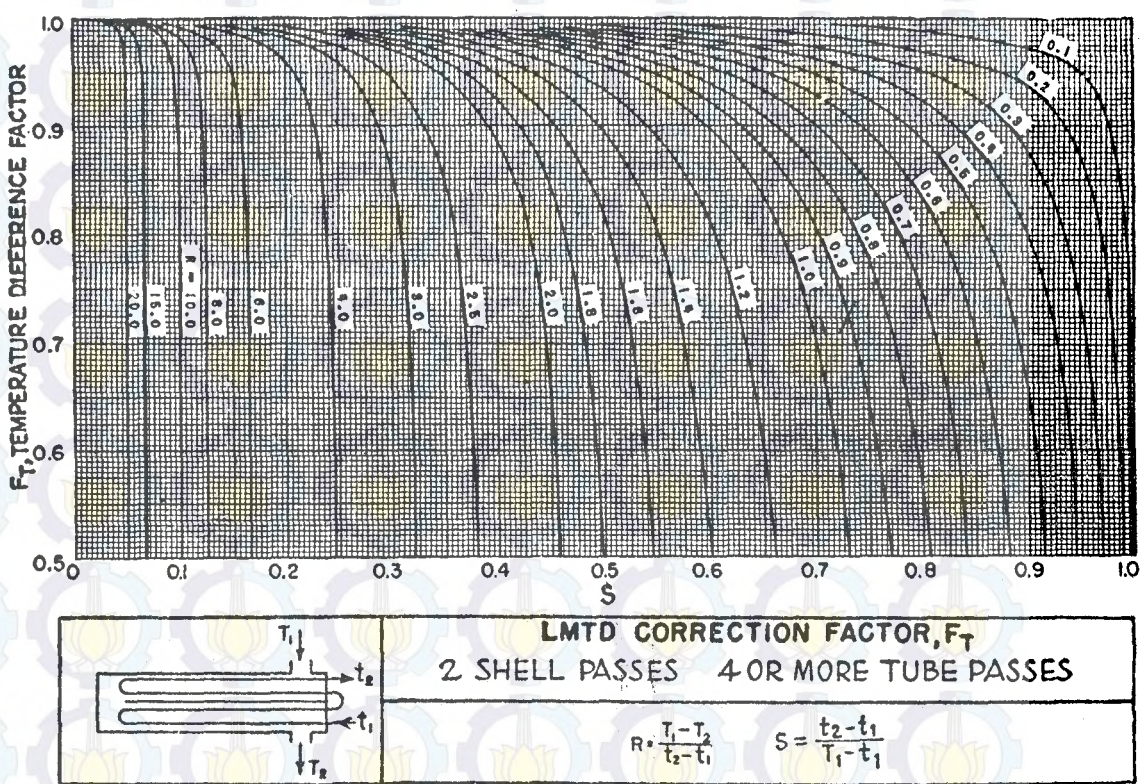


FIG. 19. LMTD correction factors for 2-4 exchangers. (Standards of Tubular Exchanger Manufacturers Association 2d ed., New York, 1949.)

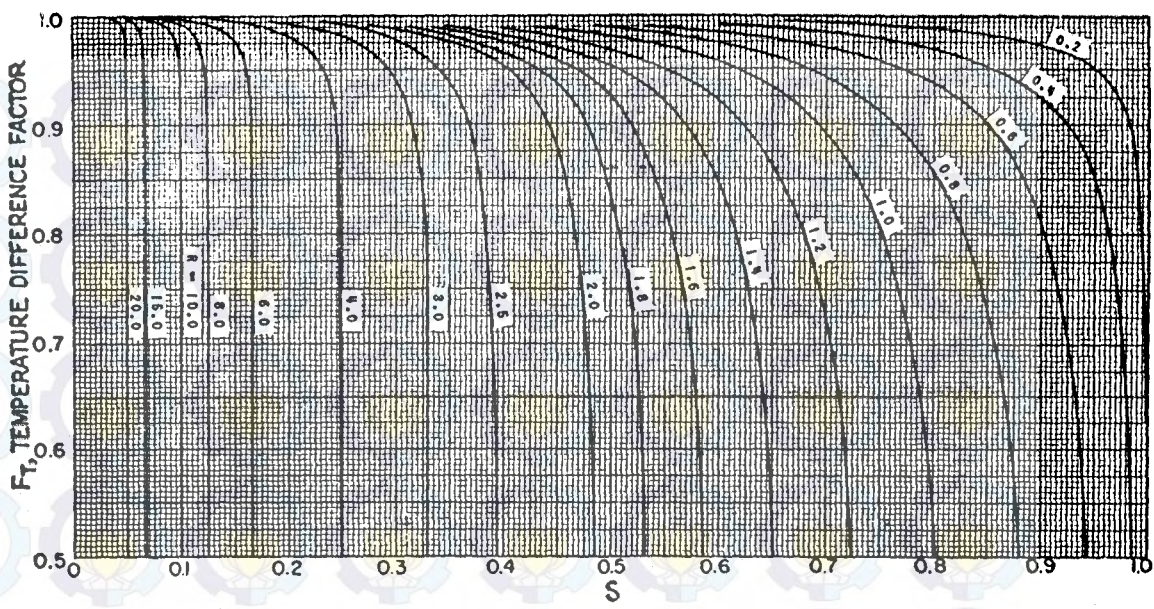


FIG. 20. LMTD correction factors for 3-6 exchangers. (*Standards of Tubular Exchanger Manufacturers Association, 2d ed.*, New York, 1949.)

LMTD CORRECTION FACTOR, F_T
3 SHELL PASSES 6 OR MORE TUBE PASSES

$$R = \frac{T_1 - T_2}{t_2 - t_1}$$

$$S = \frac{t_2 - t_1}{T_1 - T_2}$$

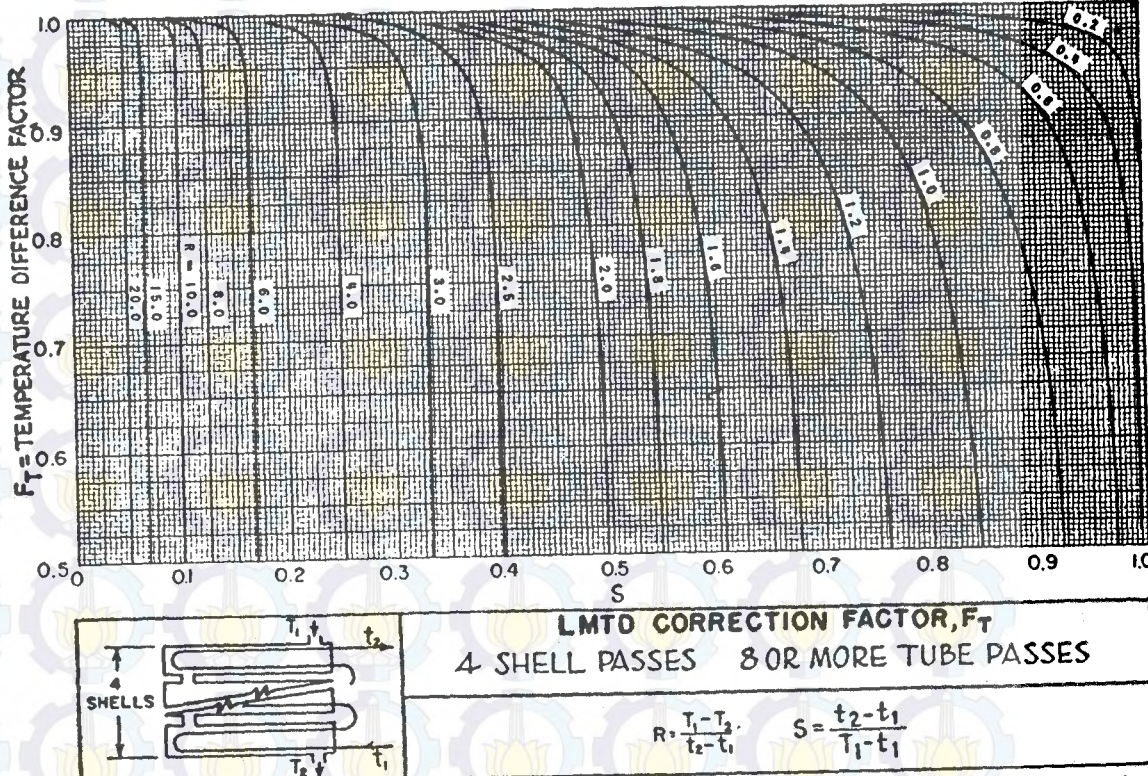


FIG. 21. LMTD correction factors for 4-8 exchangers. (*Standards of Tubular Exchanger Manufacturers Association, 2d ed.*, New York, 1949.)

LMTD CORRECTION FACTOR, F_T

4 SHELL PASSES 8 OR MORE TUBE PASSES

$$R = \frac{T_1 - T_2}{t_2 - t_1}$$

$$S = \frac{t_2 - t_1}{T_1 - T_2}$$

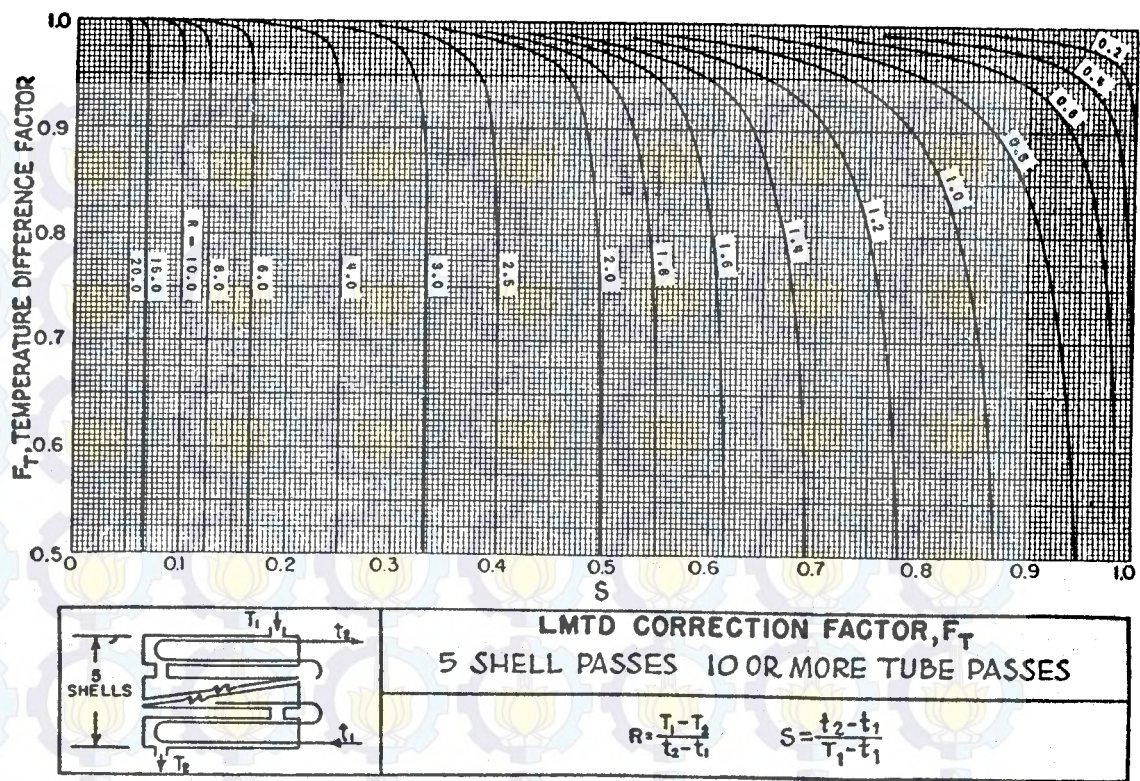


FIG. 22. LMTD correction factors for 5-10 exchangers. (Standards of Tubular Exchanger Manufacturers Association, 2d ed., New York, 1949.)

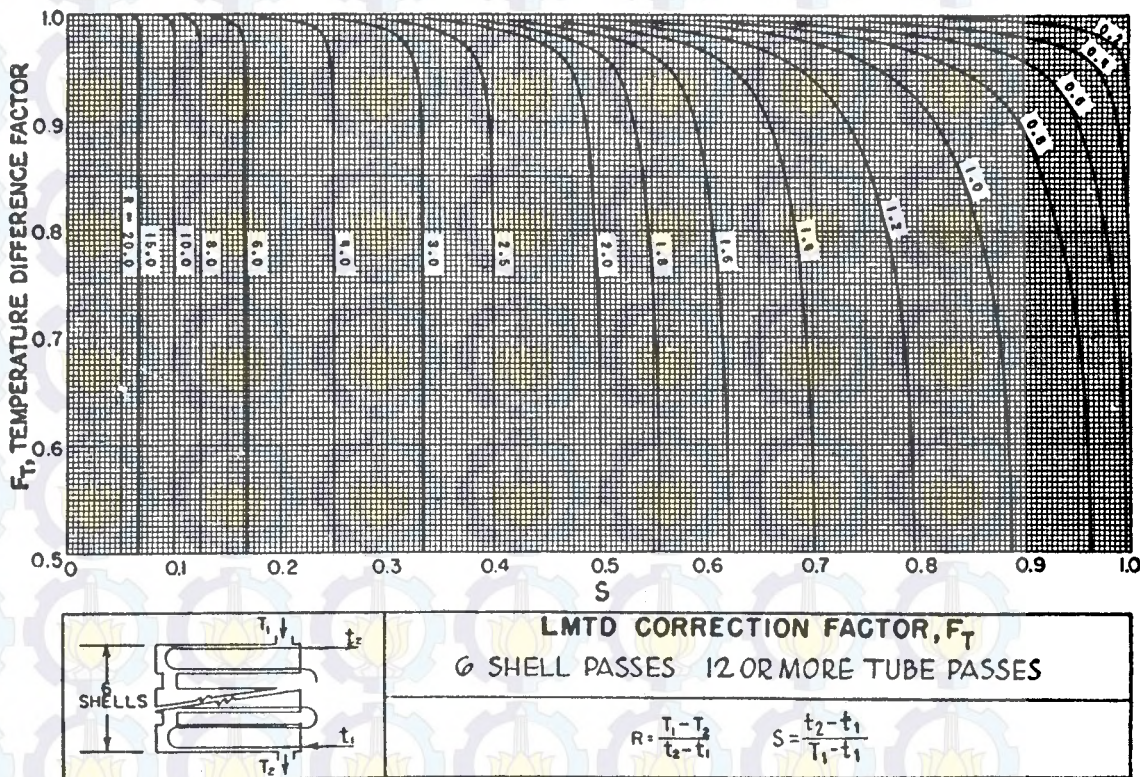


FIG. 23. LMTD correction factors for 6-12 exchangers. (Standards of Tubular Exchanger Manufacturers Association, 2d ed., New York, 1949.)

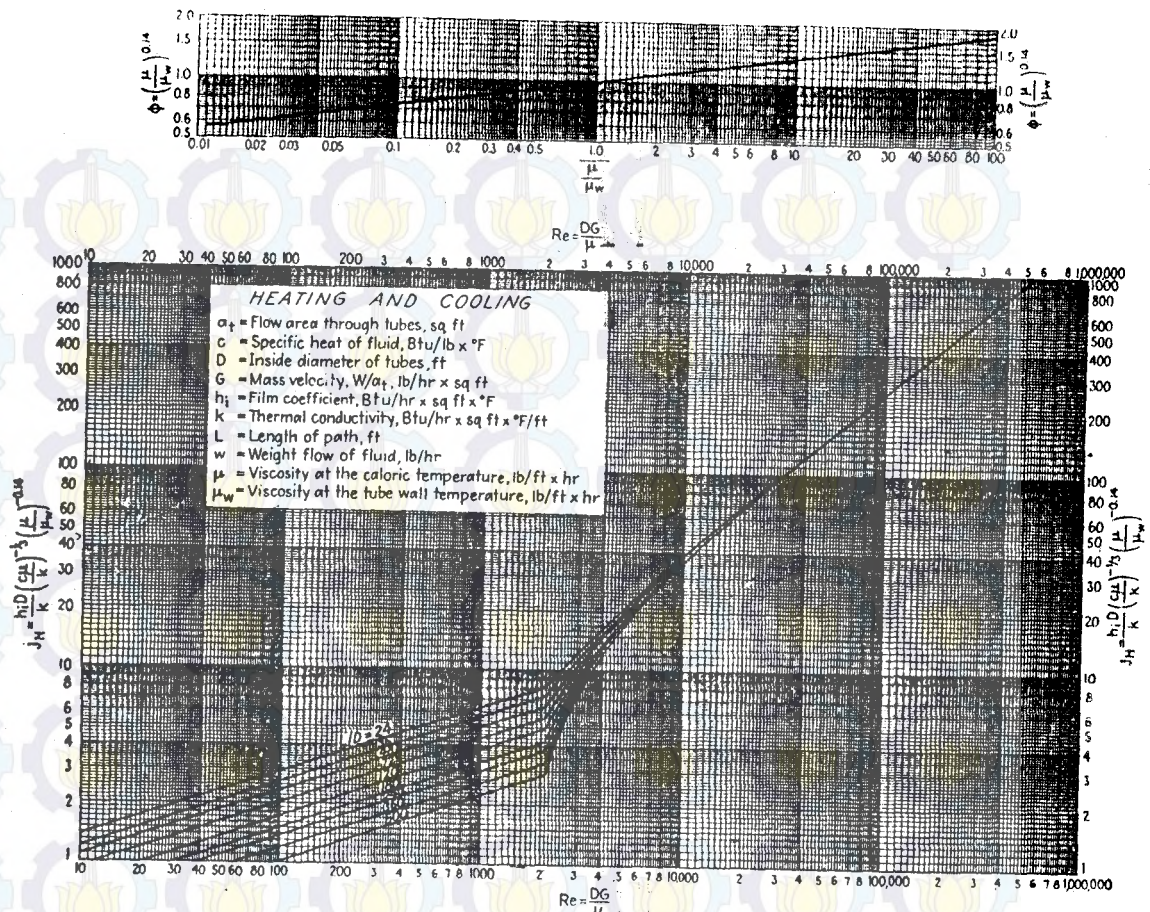


FIG. 24. Tube-side heat-transfer curve. (Adapted from Sieder and Tate.)

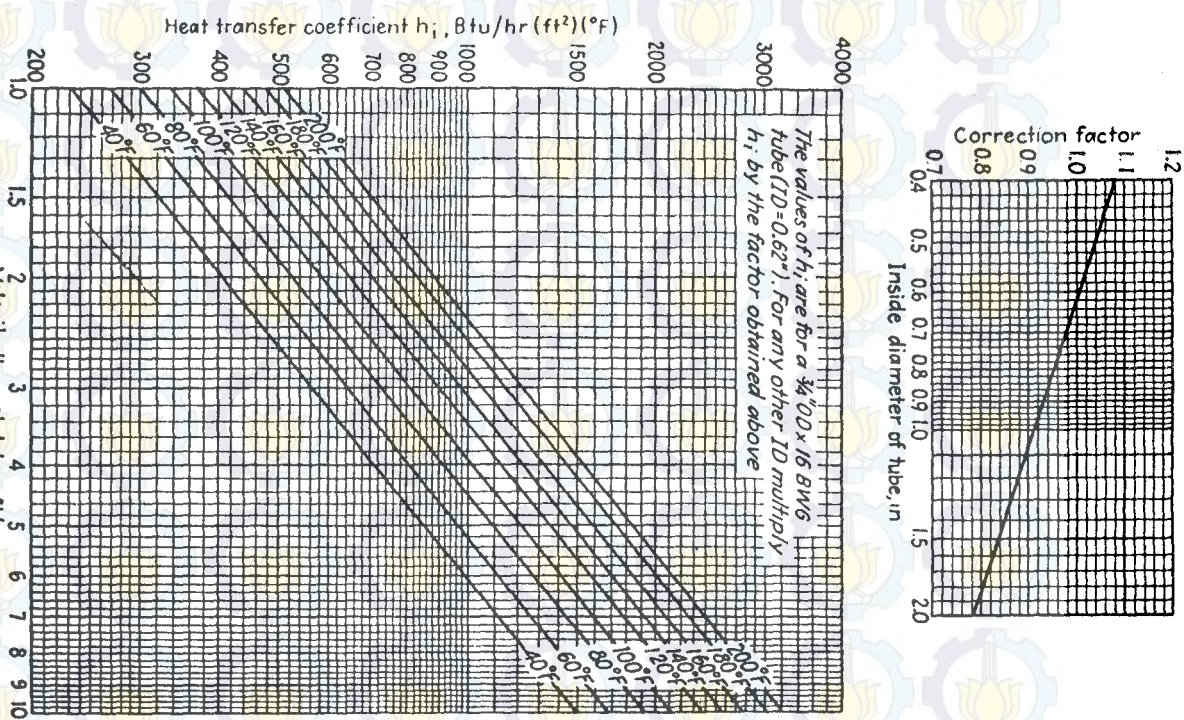


FIG. 25. Tube-side water-heat-transfer curve. [Adapted from Eagle and Ferguson, Proc. Roy. Soc., A127, 540 (1930).]

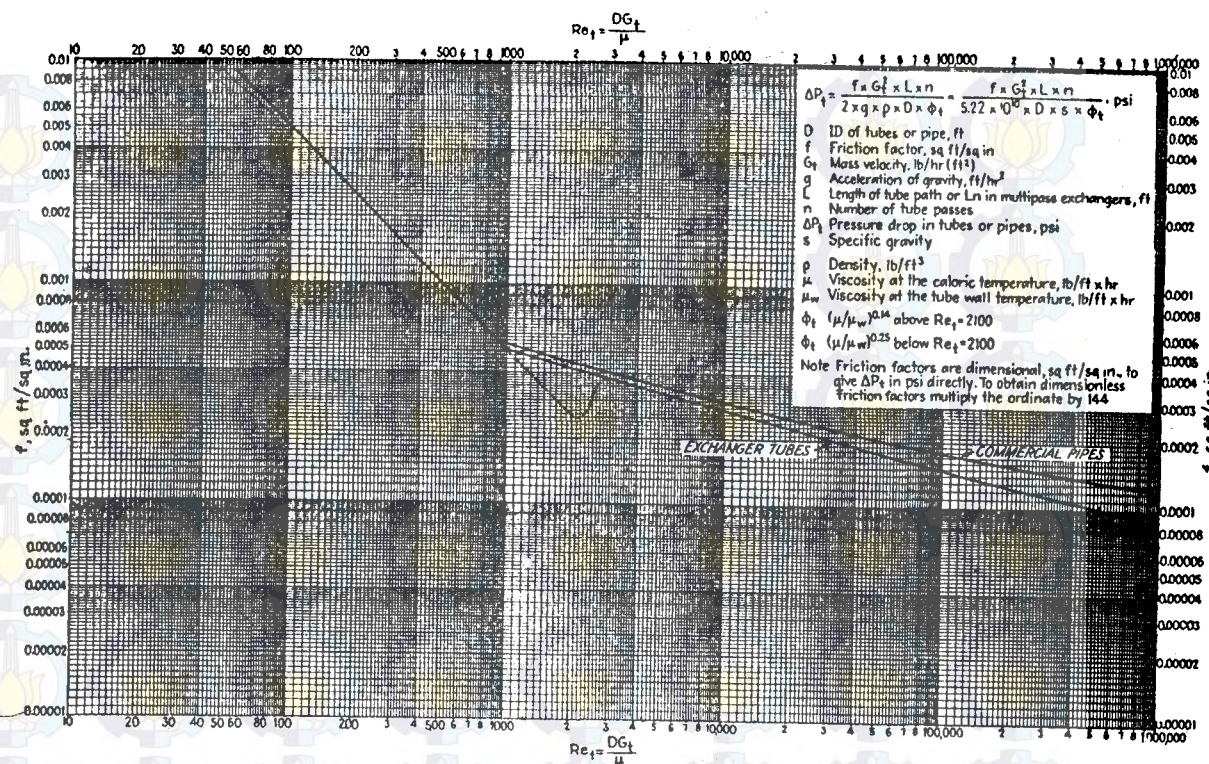


FIG. 26. Tube-side friction factors. (Standards of Tubular Exchanger Manufacturers Association, 2d ed., New York, 1949.)

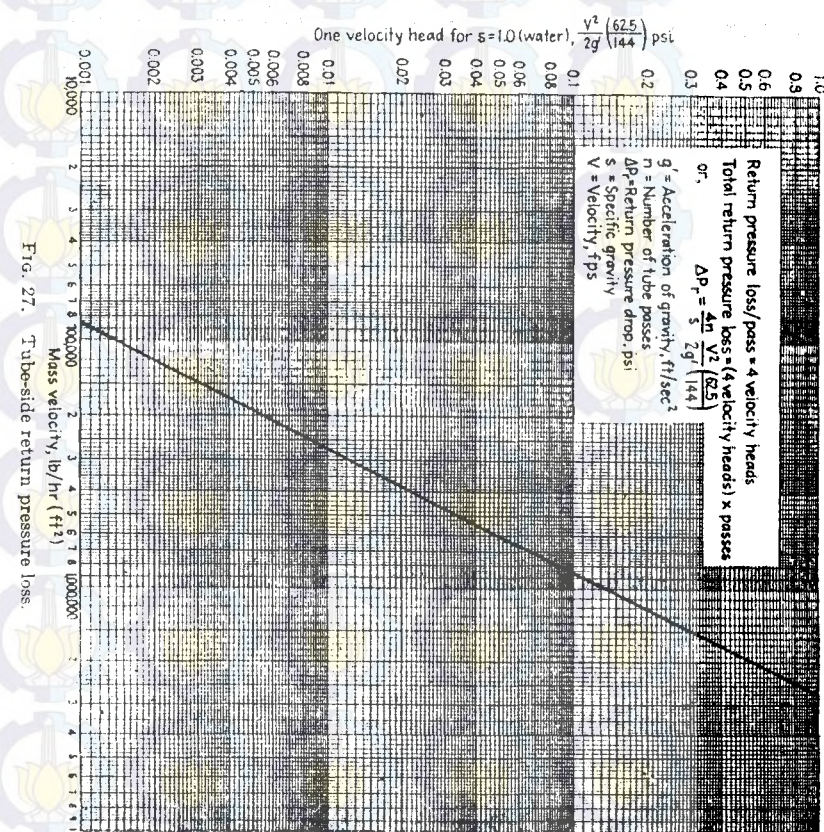


FIG. 27. Tube-side return pressure loss.

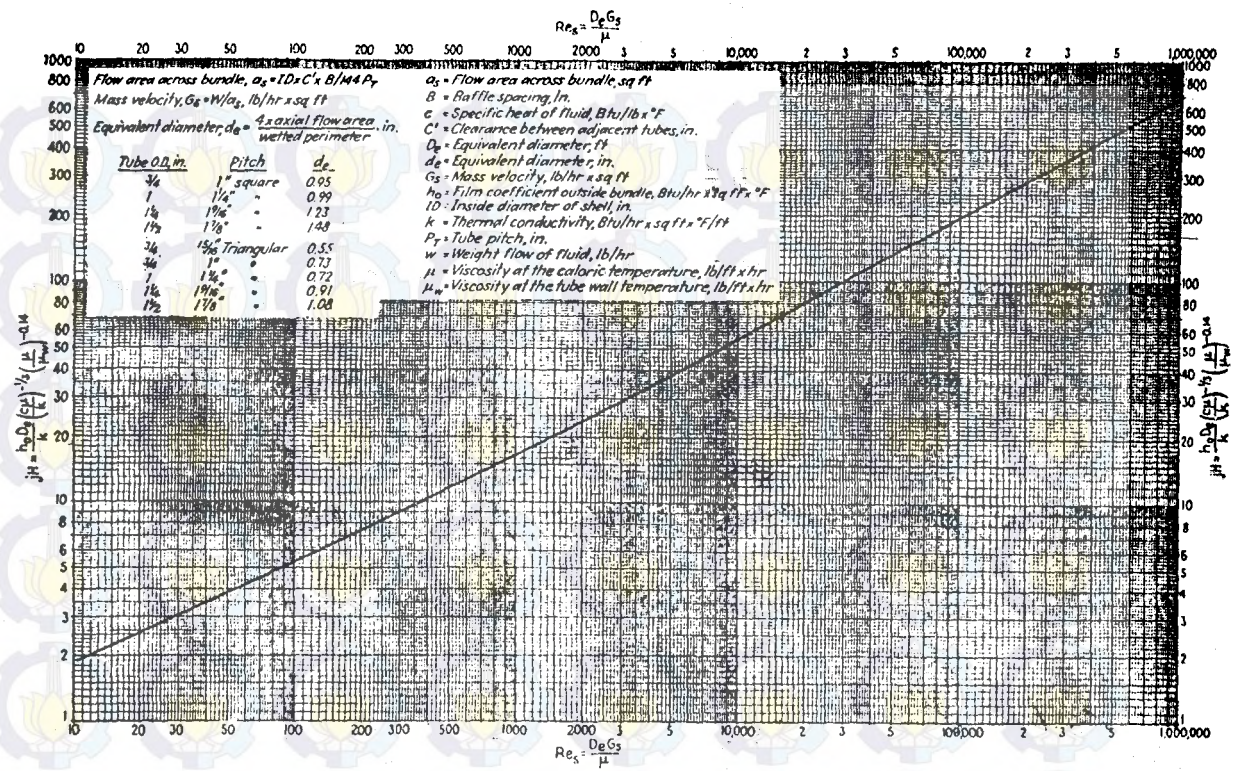


FIG. 28. Shell-side heat-transfer curve for bundles with 25% cut segmental baffles.

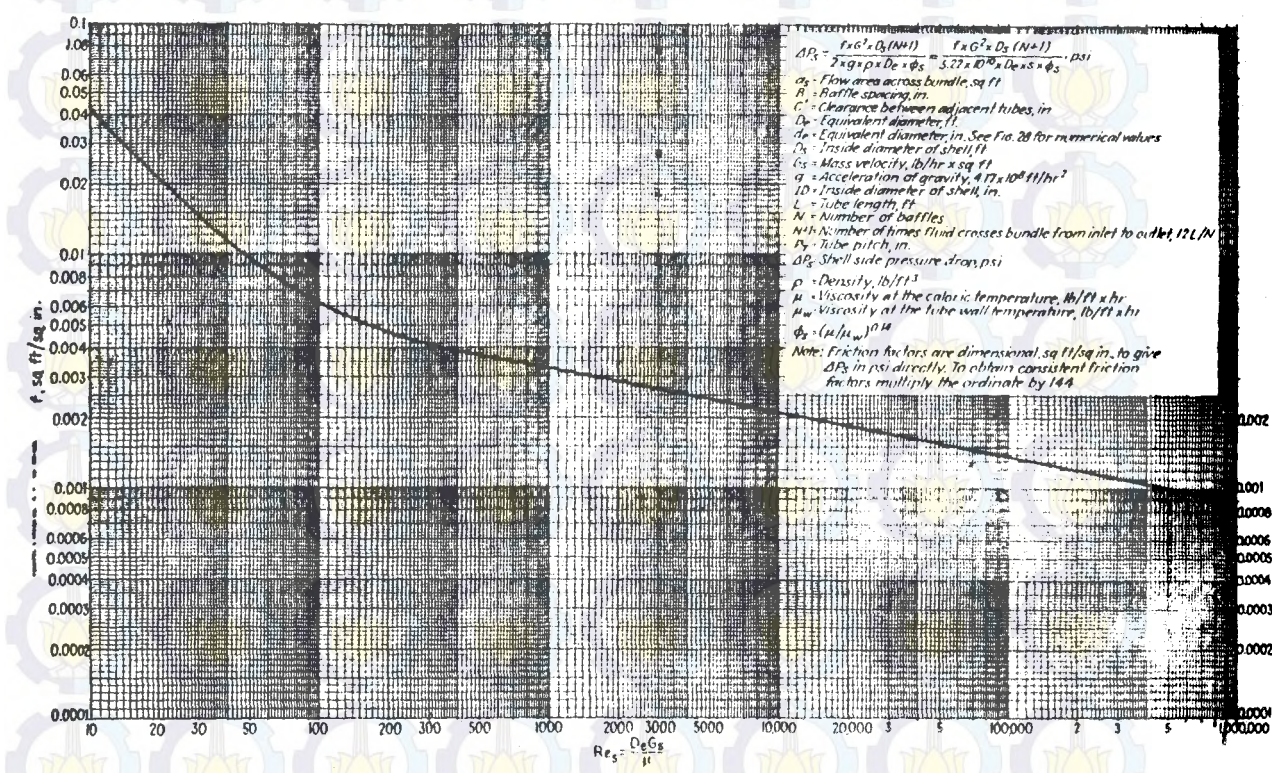


FIG. 29. Shell-side friction factors for bundles with 25% cut segmental baffles.

TABLE 8. APPROXIMATE OVERALL DESIGN COEFFICIENTS
Values include total dirt factors of 0.003 and allowable pressure drops of 5 to 10 psi on
the controlling stream

Hot fluid		Cold fluid		Overall U_D	Coolers					
Water	Water	Water	Water	250-500\$	8	32	28	20	20	8
Methanol	Water	Water	Water	250-500\$	10	63	62	40	36	10
Ammonia	Water	Water	Water	250-500\$	12	81	76	68	60	12
Aqueous solutions	Water	Water	Water	250-500\$	13 $\frac{1}{4}$	97	90	82	76	13 $\frac{1}{4}$
Light organics*	Water	Water	Water	50-125	15 $\frac{1}{4}$	157	124	116	108	15 $\frac{1}{4}$
Medium organics†	Water	Water	Water	5-75	17 $\frac{1}{4}$	177	165	158	150	17 $\frac{1}{4}$
Heavy organics‡	Water	Water	Water	2-50	19 $\frac{1}{4}$	224	220	204	192	19 $\frac{1}{4}$
Gases	Water	Brine	Brine	100-200	21 $\frac{1}{4}$	277	270	246	240	21 $\frac{1}{4}$
Water	Light organics	Brine	Brine	40-100	23 $\frac{1}{4}$	324	308	302	292	23 $\frac{1}{4}$
Heaters										
Hot fluid		Cold fluid		Overall U_D						
Steam	Water	200-700§	29	553	526	480	458	456	29	341
Steam	Methanol	200-700§	31	657	640	600	580	560	31	406
Steam	Ammonia	200-700§	33	749	718	688	676	648	33	465
Steam	Aqueous solutions:	Less than 2.0 cp	35	845	824	780	766	748	35	522
Steam	More than 2.0 cp	200-700	37	934	914	886	866	838	37	598
Steam	Light organics	100-500§	39	1049	1024	982	968	948	39	685
Steam	Medium organics	50-100								
Steam	Heavy organics	6-60								
Steam	Gases	5-50¶								
Exchangers										
Hot fluid		Cold fluid		Overall U_D						
Water	Water	10	16	12	10	16	16	16	16	21
Aqueous solutions	Water	12	80	24	22	16	16	16	16	16
Light organics	Water	13 $\frac{1}{4}$	82	30	22	22	22	22	22	21
Medium organics	Water	15 $\frac{1}{4}$	44	40	37	35	31	15 $\frac{1}{4}$	29	25
Heavy organics	Water	17 $\frac{1}{4}$	56	53	51	48	44	17 $\frac{1}{4}$	39	34
Heavy organics	Water	19 $\frac{1}{4}$	78	73	71	64	56	19 $\frac{1}{4}$	50	45
Heavy organics	Water	21 $\frac{1}{4}$	96	90	86	82	78	21 $\frac{1}{4}$	62	57
Heavy organics	Water	23 $\frac{1}{4}$	127	112	106	102	96	28 $\frac{1}{4}$	78	74
Heavy organics	Water	25	140	135	127	123	115	26	94	90
Medium organics	Water	27	166	160	151	146	140	27	112	108
Medium organics	Water	29	183	188	178	174	166	29	131	127
Heavy organics	Water	31	226	220	202	193	81	151	146	141
Heavy organics	Water	33	258	252	244	238	226	176	170	164
Light organics	Water	35	287	275	268	258	235	203	196	188
Light organics	Water	37	322	311	304	293	277	224	220	217
Light organics	Water	39	370	362	348	336	309	263	246	237

* Light organics are fluids with viscosities of less than 0.5 centipoise and include benzene, kerosene,

acetone, ethanol, methyl ethyl ketone, gasoline, light kerosene, and naptha.
† Medium organics have viscosities of 0.5 to 1.0 centipoise and include kerosene, straw oil, hot gas oil, hot absorber oil, and some crudes.

‡ Heavy organics have viscosities above 1.0 centipoise and include cold gas oil, lube oils, fuel oils, reduced crude oils, tar, and asphalt.

¶ Dirt factor 0.001.

|| Pressure drop 20 to 30 psi.

¶ These rates are greatly influenced by the operating pressure.

TABLE 9. TUBE-ASSEMBLY LAYOVERS (TUBE COURSE)
Square Pitch

1 $\frac{1}{4}$ in. OD tubes on 1 $\frac{1}{4}$ -in. square pitch						1 in. OD tubes on 1 $\frac{1}{4}$ -in. square pitch					
Shell ID, in.	1-P	2-P	4-P	6-P	8-P	Shell ID, in.	1-P	2-P	4-P	6-P	8-P
10	16	24	22	16	16	12	16	16	12	12	12
12	80	30	22	22	22	13 $\frac{1}{4}$	22	22	22	22	16
13 $\frac{1}{4}$	82	30	22	22	22	15 $\frac{1}{4}$	29	29	25	24	22
15 $\frac{1}{4}$	44	40	37	35	31	15 $\frac{1}{4}$	39	39	34	32	29
17 $\frac{1}{4}$	56	53	51	48	44	17 $\frac{1}{4}$	50	50	48	45	43
19 $\frac{1}{4}$	78	73	71	64	56	19 $\frac{1}{4}$	62	60	57	54	50
21 $\frac{1}{4}$	96	90	86	82	78	21 $\frac{1}{4}$	62	60	57	54	50
23 $\frac{1}{4}$	127	112	106	102	96	28 $\frac{1}{4}$	78	74	70	66	62
25	140	135	127	123	115	26	94	90	86	84	78
27	166	160	151	146	140	27	112	108	102	98	94
29	183	188	178	174	166	29	131	127	120	116	113
31	226	220	202	193	81	151	146	141	138	131	131
33	258	252	244	238	226	176	170	164	160	151	151
35	287	275	268	258	235	203	196	188	182	176	176
37	322	311	304	293	277	224	220	217	210	202	202
39	370	362	348	336	309	263	246	237	230	224	224

TABLE 9. EXCHANGER LAYOUTS (TUBE COURSES).—(Continued)

1/4 in. OD tubes on 1 1/16-in. triangular pitch						1/4 in. OD tubes on 1-in. triangular pitch					
Shell ID, in.	1-P	2-P	4-P	6-P	8-P	Shell ID, in.	1-P	2-P	4-P	6-P	8-P
8	36	32	26	24	18	8	37	30	24	24	26
10	62	56	47	42	36	10	61	52	40	36	36
12	109	98	86	82	78	12	92	82	76	74	70
13	127	114	96	90	86	13	109	106	86	82	74
14	170	160	140	136	128	15	151	138	122	118	110
15	229	224	194	188	178	17	203	196	178	172	166
16	301	282	252	244	234	19	262	250	226	216	210
17	342	314	306	290	211	316	302	278	272	260	260
18	420	386	378	364	233	384	376	352	342	328	328
19	442	420	406	394	25	470	452	427	394	382	382
20	506	488	446	434	27	559	534	488	474	484	484
21	602	550	536	524	29	630	604	558	538	508	508
22	692	640	620	594	31	745	728	678	668	640	640
23	847	822	786	722	32	956	830	774	760	732	732
24	974	938	878	852	33	1004	988	882	864	848	848
25	1068	1004	958	926	35	1104	1072	1074	1044	1012	986
26	1240	1200	1144	1104	37	1330	1258	1248	1212	1178	1078
27	1377	1330	1258	1248	39	1208	1176	1128	1100	1078	1078

1 in. OD tubes on 1 1/4-in. triangular pitch						1 1/4 in. OD tubes on 1 1/16-in. triangular pitch					
Tube OD, in.	BWG	Wall thick., in.	ID, in.	Flow area per in. of tube,	Surface per lin ft, ft ²	Tube OD, in.	BWG	Wall thick., in.	ID, in.	Flow area per in. of tube,	Surface per lin ft, ft ²
				in. ²	ft ²					in. ²	ft ²
1	8	0.165	0.670	0.335	0.2618	1	9	0.168	0.704	0.339	0.1843
2	10	0.134	0.732	0.421	0.1916	2	11	0.120	0.760	0.455	0.1990
3	12	0.109	0.782	0.479	0.2048	3	12	0.109	0.782	0.479	0.2121
4	13	0.085	0.810	0.518	0.1890	4	14	0.083	0.834	0.548	0.2183
5	15	0.072	0.856	0.578	0.2241	5	15	0.065	0.870	0.594	0.2277
6	17	0.058	0.884	0.618	0.2314	6	17	0.058	0.884	0.639	0.2361
7	18	0.049	0.902	0.639	0.2361	7	18	0.049	0.902	0.639	0.545
8	19	0.041	0.918	0.658	0.2371	8	19	0.041	0.918	0.658	0.2409
9	20	0.036	0.932	0.678	0.2498	9	20	0.036	0.932	0.678	0.2572
10	22	0.031	0.946	0.757	0.2572	10	23	0.031	0.946	0.757	0.2644
11	24	0.027	0.958	0.800	0.2644	11	25	0.027	0.958	0.800	0.2701
12	26	0.024	0.968	0.836	0.2701	12	27	0.024	0.968	0.836	0.2775
13	28	0.021	0.978	0.884	0.2839	13	29	0.021	0.978	0.884	0.2908
14	30	0.019	0.983	0.923	0.2896	14	31	0.019	0.983	0.923	0.2975
15	32	0.017	0.988	0.960	0.2969	15	33	0.017	0.988	0.960	0.3032
16	34	0.016	0.995	1.01	0.3032	16	35	0.016	0.995	1.01	0.3090
17	36	0.015	1.013	1.04	0.3090	17	37	0.015	1.013	1.04	0.3157
18	38	0.014	1.015	1.04	0.3157	18	39	0.014	1.015	1.04	0.3225

TABLE 10. HEAT EXCHANGER AND CONDENSER TUBE DATA

Tube OD, in.	BWG	Wall thick., in.	ID, in.	Flow area per in. of tube, in. ²	Surface per lin ft, ft ²	Weight per lin ft, lb steel
1/4	8	0.165	1.17	0.775	0.3063	2.57
9	0.148	1.20	1.14	0.3152	2.34	
10	0.134	1.23	1.19	0.3225	2.14	
11	0.120	1.26	1.25	0.3299	1.98	
12	0.109	1.28	1.29	0.3366	1.87	
13	0.095	1.31	1.35	0.3430	1.76	
14	0.083	1.33	1.40	0.3492	1.63	
15	0.072	1.36	1.44	0.3555	1.50	
16	0.065	1.37	1.47	0.3587	1.39	
17	0.058	1.40	1.60	0.3623	0.978	
18	0.049	1.40	1.34	0.3670	0.831	

TABLE 11. Dimensions of Steel Pipe (IPS)

Nominal pipe size, in.	OD, in.	Schedule No.	ID, in.	Flow area per pipe, in. ²	Surface per lin ft, ft./ft.	Weight per lin ft, lb steel	Water		
							Outside	Inside	fps
1/8	0.405	40*	0.269	0.058	0.103	0.070	0.25		
	80†	0.215	0.036	0.058	0.058	0.32			
1/4	0.540	40*	0.364	0.104	0.141	0.095	0.43		
	80†	0.302	0.072	0.079	0.079	0.54			
5/16	0.675	40*	0.493	0.192	0.177	0.129	0.57		
	80†	0.423	0.141	0.111	0.111	0.74			
3/8	0.840	40*	0.622	0.304	0.220	0.163	0.85		
	80†	0.546	0.235	0.143	0.143	1.09			
1/2	1.05	40*	0.824	0.534	0.275	0.216	1.13		
	80†	0.742	0.432	0.194	0.194	1.48			
1	1.32	40*	1.049	0.864	0.344	0.274	1.68		
	80†	0.957	0.718	0.250	0.250	2.17			
1 1/16	1.66	40*	1.380	1.50	0.435	0.362	2.28		
	80†	1.278	1.28	0.335	0.335	3.00			
1 1/4	2.00	40*	1.610	2.04	0.498	0.422	2.72		
	80†	1.500	1.76	0.393	0.393	3.64			
2	2.38	40*	2.067	3.35	0.622	0.542	3.66		
	80†	1.939	2.95	0.508	0.508	5.03			
2 1/4	2.88	40*	2.469	4.79	0.763	0.647	5.80		
	80†	2.323	4.23	0.609	0.609	7.67			
3	3.50	40*	3.068	7.38	0.917	0.804	7.58		
	80†	2.900	6.61	0.760	0.760	10.3			
4	4.50	40*	4.026	12.7	1.178	1.055	10.8		
	80†	3.828	11.5	1.002	1.002	15.0			
6	6.625	40*	6.085	28.9	1.734	1.500	19.0		
	80†	5.761	26.1	1.510	1.510	28.6			
8	8.625	40*	7.981	50.0	2.258	2.090	28.6		
	80†	7.625	45.7	2.000	2.000	43.4			
10	10.75	40*	10.02	78.8	2.814	2.62	40.5		
	80†	9.75	74.6	2.55	2.55	54.8			
12	12.75	30	12.09	115	3.388	3.17	43.8		
	14	14.0	30	13.25	188	3.665	3.47	54.6	
16	16.0	30	15.25	183	4.189	4.00	62.6		
18	18.0	20†	17.25	234	4.712	4.52	72.7		
20	20.0	20†	19.25	291	5.236	5.05	78.6		
22	22.0	20†	21.25	355	5.747	5.56	84.0		
24	24.0	20	23.25	425	6.283	6.09	94.7		

* Commercially known as standard.

† Commercially known as extra heavy.

‡ Approximately.

TABLE 12. Fouling Factors*

Temperature of heating medium.....	Up to 240°F		240-400°F	
	125°F or less	Over 125°F	125°F or less	Over 125°F
Temperature of water.....			Water velocity, fips	Water velocity, fips
Sea water.....	3 ft and less	Over 3 ft	3 ft and less	Over 3 ft
Brackish water.....	0.0005	0.0005	0.001	0.001
Cooling tower and artificial spray pond.....	0.002	0.001	0.003	0.002
Treated make-up.....	0.001	0.001	0.002	0.002
Untreated.....	0.003	0.003	0.005	0.004
City or well water (such as Great Lakes).....	0.001	0.001	0.002	0.002
Great Lakes.....	0.001	0.001	0.002	0.002
River water:				
Minimum.....	0.003	0.002	0.004	0.003
Mississippi.....	0.003	0.002	0.004	0.003
Delaware, Schuylkill.....	0.003	0.002	0.004	0.003
East River and New York Bay.....	0.003	0.002	0.004	0.003
Chicago sanitary canal.....	0.008	0.006	0.010	0.008
Muddy or silty.....	0.003	0.002	0.004	0.003
Hard (over 15 grains/gal).....	0.003	0.003	0.005	0.005
Engine jacket.....	0.001	0.001	0.001	0.001
Distilled.....	0.0005	0.0005	0.0005	0.0005
Treated boiler feedwater.....	0.001	0.0005	0.001	0.001
Boiler blowdown.....	0.002	0.002	0.002	0.002
† Ratios in the last two columns are based on a temperature of the heating medium of 240 to 400°F. If the heating medium temperature is over 400°F, and the cooling medium is known to scale them, ratios should be modified accordingly.				
Oils (industrial):				
Fuel oil.....	0.005			
Clean recirculating oil.....	0.001			
Machinery and transformer oils	0.001			
Quenching oil.....	0.004			
Vegetable oils.....	0.003			
Gases, vapors (industrial):				
Coke-oven gas, manufactured				
Gas.....	0.01			
Diesel-engine exhaust gas.....	0.01			
Organic vapors.....	0.0005			
Steam (non-oil bearing).....	0.0			
Alcohol vapors.....	0.0			
Steam, exhaust (oil bearing) from reciprocating engines	0.001			
Refrigerating vapors (condensing from reciprocating compressors).....	0.002			
Air.....	0.003			
Liquids (industrial):				
Organic.....	0.001			
Refrigerating liquids, heating, cooling, or evaporating.....	0.001			
Brine (cooling).....	0.001			
Atmospheric distillation units: Residual bottoms, less than 25°API.....	0.005			
Distillate bottoms, 25°API or above.....	0.002			
Atmospheric distillation units: Overhead untreated vapors.....	0.0013			
Overhead treated vapors.....	0.003			
Sidestream cuts.....	0.0013			
Vacuum distillation units: Overhead vapors to oil: From bubble tower (partial condenser).....	0.001			
From flash pot (no appreciable reflux).....	0.003			